(19) **日本国特許庁(JP)**

(12) 公 開 特 許 公 報(A)

(11)特許出願公開番号

特開2006-169233 (P2006-169233A)

(43) 公開日 平成18年6月29日 (2006.6.29)

(51) Int.C1.	F I (2006.01) CO7K	16/10 2	Z N A	テーマコード (参考) 2GO45
C 1 2 N 15/09	(2006.01) C 1 2 N		A	4BO24
A 6 1 K 39/00	(2006.01) A 6 1 K	39/00	Н	4CO85
A 6 1 K 39/29	(2006.01) A 6 1 K	39/29		4H045
A 6 1 P 1/16	(2006.01) A 6 1 P	1/16		
	審査請	求 有 請求」	頃の数1 OL	(全 73 頁) 最終頁に続く
(21) 出願番号	特願2005-325485 (P2005-325485)	(71) 出願人	591076811	
(22) 出願日	平成17年11月9日 (2005.11.9)		カイロン コー	-ポレイション
(62) 分割の表示	特願平10-93767の分割		アメリカ合衆国	1, カリフォルニア 946
原出願日	平成2年3月15日 (1990.3.15)		08, エミリー	・ビル, ホートン ストリー
(31) 優先権主張番号	325, 338		ኑ 4560	
(32) 優先日	平成1年3月17日(1989.3.17)	(74)代理人	100078282	
(33) 優先権主張国	米国 (US)		弁理士 山本	秀策
(31) 優先権主張番号	341, 334	(74)代理人	100062409	
(32) 優先日	平成1年4月20日(1989.4.20)		弁理士 安村	高明
(33) 優先権主張国	米国 (US)	(74) 代理人	100113413	
(31) 優先権主張番号	355, 002		弁理士 森下	夏樹
(32) 優先日	平成1年5月18日(1989.5.18)	(72) 発明者	マイケル ホー	-トン
(33) 優先権主張国	米国 (US)		アメリカ合衆国	プロフォルニア 945
			26 ダンビル	/,ローズミード コート
			53	
				最終頁に続く

(54) 【発明の名称】 NANBVの診断用薬およびワクチン

(57)【要約】 (修正有)

【課題】非A非B型肝炎ウイルス(NANBV)伝染の流行を処置するための材料および 方法の提供。

【解決手段】少なくとも8個のアミノ酸の連続する配列からなるポリペプチド中の部位に 免疫学的に結合する、抗C型肝炎ウイルス(HCV)抗体であって、ここで、上記部位は 、HCVに対する抗体によって結合され得、そして上記少なくとも8個のアミノ酸の連続 する配列が、アミノ酸配列中に1または数個の欠失、挿入、または置換を有するアミノ酸 配列から得られる、抗体の提供。

【選択図】なし

【特許請求の範囲】

【請求項1】

少なくとも 8 個のアミノ酸の連続する配列からなるポリペプチド中の部位に免疫学的に結合する、抗 C 型肝炎ウイルス (H C V) 抗体であって、

ここで、該部位は、 H C V に対する抗体によって結合され得、そして該少なくとも 8 個のアミノ酸の連続する配列は、以下のアミノ酸配列:

【化101】

441

16 1	0 1 2	
1	Arg Thr Met Ser Thr Asn Pro Lys Pro Gln Lys Lys Asn Lys Arg Asn Thr Asn Arg Arg Pro Gln	
21	Asp Val Lys Phe Pro Gly Gly Glu Ile Val Gly Gly Val Tyr Leu Leu Pro Arg Arg	1
41	Gly Pro Arg Leu Gly Val Arg Ala Thr Arg Lys Thr Ser Glu Arg Ser Gln Pro Arg Gly	
61	Arg Arg Glu Pro Ile Pro Lys Ala Arg Arg Pro Glu Gly Arg Thr Trp Ala Glu Pro Gly	
81 .		
101	Arg Gly Ser Arg Pro Ser Trp Gly Pro Thr Asp Pro Arg Arg Arg Ser Arg Asn Leu Gly	
121	Lys Val Ile Asp Thr Leu Thr Cys Gly Phe Ala Asp Leu Met Gly Tyr Ile Pro Leu Val	
141	Gly Ala Pro Leu Gly Gly Ala Ala Arg Ala Leu Ala His Gly Yal Arg Val Leu Glu Asp	
	Thr	2
161	the bed hed his man hear the dif old bet the bet the hear hear hear hear	2
181 201	Leu Leu Ser Cys Leu Thr Val Pro Ala Ser Ala Tyr Glu Val Arg Asu Ser Thr Gly Leu	
221	Tyr His Val Thr Asn Asp Cys Pro Asn Ser Ser Ile Val Tyr Glu Ala Ala Asp Ala Ile	
241	Len His Thr Pro Gly Cys Val Pro Cys Val Arg Glu Gly Asn Ala Ser Arg Cys Trp Val	
261	Ala Met Thr Pro Thr Val Ala Thr Arg Asp Gly Lys Leu Pro Ala Thr Gln Leu Arg Arg His Ile Asp Leu Leu Val Gly Ser Ala Thr Leu Cys Ser Ala Leu Tyr Val Gly Asp Leu	
281	Cys Gly Ser Val Phe Leu Val Gly Gla Leu Phe Thr Phe Ser Pro Arg Arg His Trp Thr	
301	Thr Glu Gly Cys Asn Cys Ser lie Tyr Pro Gly His 11e Thr Gly His Arg Met Ala Trp	
	Val	3
321	Asp Net Met Asm Trp Ser Pro Thr Thr Ala Leu Yal Net Ala Glm Leu Lem Arg Ile	
341	Pro Gln Ala Ile Leu Asp Met Ile Ala Gly Ala His Trp Gly Val Leu Ala Gly Ile Ala	
361	Tyr Phe Ser Met Val Gly Asn Trp Ala Lys Val Leu Val Val Leu Leu Leu Phe Ala Gly	
381	Yal Asp Ala Glu Thr His Yal Thr Gly Gly Ser Ala Gly His Thr Val Ser Gly Phe Val	
401	Ser Leu Leu Ala Pro Gly Ala Lys Gin Asn Val Glu Leu Ile Asn Thr Asn Gly Ser Trp	
421	His Leu Asn Ser Thr Ala Leu Asn Cys Asn Asp Ser Leu Asn Thr Gly Trp Leu Ala Gly	

Len Phe Tyr His His Lys Phe Asn Ser Ser Gly Cys Pro Glu Arg Len Ala ; もしくは

20

30

40

50

【化102】

2880 Pro

2881 Pro Ile Ile Glu Arg Leu His Gly Leu Ser Ala Phe Ser Leu His Ser Tyr Ser Pro Gly

2901 Glu Ile Asn Arg Val Ala Ala Cys Len Arg Lys Len Gly Val Pro Pro Len Arg Ala Trp

Gly

2921 Arg His Arg Ala Arg Ser Val Arg Ala Arg Leu Leu Ala Arg Gly Gly Arg Ala Ala Ile

2941 Cys Gly Lys Tyr Leu Phe Asn Trp Ala Val Arg Thr Lys Leu Lys

中に1または数個の欠失、挿入、または置換を有するアミノ酸配列から得られる、抗体。

【発明の詳細な説明】

【技術分野】

[00001]

本発明は,非A非B型肝炎ウイルス(NANBV)伝染の流行を処置するための材料および方法に関する。さらに詳しくは,本発明は,NANBVすなわちC型肝炎ウイルス(HCV)の病原因子のゲノム由来のポリヌクレオチドと,そこにコードされたポリペプチドと,これらポリペプチドに対する抗体とに関する。これらの試薬は,HCV およびその感染に対するスクリーニング剤として,ならびにその疾患に対する保護剤として有用である。

[0002]

本出願で引用される文献

Barr 5 (1986), Biotechniques 4:428.

Botstein (1979), Gene 8:17.

Brinton, M.A. (1986), THE VIRUSES: THE IRIDAE AND FLAVIVIRIDAE(シリーズ編集, Fraenkel-ConratおよびWagner,各巻編集,SchlesingerおよびSchle singer, Plenum Press), p. 327-374. Broach (1 981), Molecular Biology of the Yeast haro-myces, Vol. 1, p. 445, Cold Spring or Press. Broach 6 (1983), Meth. Enz. 101:307. Chang 5 (1977), Nature 198: 1056. Chirgwin 5 (1 979), Biochemistry <u>18</u>:5294. Chomczynski およ びSacchi(1987), Analytical Biochemistry : 156. Clewell 5 (1969), Proc. Natl. Acad. Sci. U <u>62</u>:1159.Clewell(1972), J. Bacteriol. <u>110</u> : 6 6 7 . Cohen (1 9 7 2) , Proc. Natl. Acad. Sci. USA 69:2110.Cousens 6(1987), gene 61:265.De Bo еr Б (1983), Proc. Natl. Acad. Sci. USA <u>292</u>: 128 .Dreesmanb(1985), J. Infect. Disease 151:76 1.Feinstone,S.M.およびHoofnagle,J.H.(1984),

New Engl. J. Med. 311:185. Fields & Knipe (1986), FUNDAMENTALVIROLOGY (Raven Press, N.Y.). Fiers 6 (1978), Nature <u>273</u>:113. Gerety, R. J. 6, VIRAL HEPATITIS AND LIVER D

Gerety, R.J.ら, VIRAL HEPATITIS AND LIVER DISEASE (Vyas, B.N., Dienstag, J.L., およびHoofnagle, J.H.編集, GruneおよびStratton, Inc., 1984) pp 23-47. Goeddelら, (1980), Nucleic Acids Res.

```
8:4057.GrahamおよびVan der Eb(1978), Virolog
y 52:546.GrunsteinおよびHogness(1975),Proc.
Natl. Acad. Sci. USA 73:3961. Grychb, (1985),
       <u> 316</u>:74.GublerおよびHoffman(1983),Gen
e 25:263.
Hahn (1988), Virology <u>162</u>: 167. Hammerling 5 (
1981), MONOCLONAL ANTIBODIES AND T-CELL H
YBRIDOMAS.Han(1987),Biochemistry 26:1617
Helfman (1983), Proc. Natl. Acad. Sci. USA
31 Hess Б (1968), J. Adv. Enzyme Reg <u>7</u>:149.
                                               10
Hinnenb(1978), Proc. Natl. Acad. Sci.
1929. Hitzemanら(1980), J. Biol. Chem. 255: 207
Holland 5(1978), Biochemistry 17:4900.
Holland (1981), J. Biol. Chem. <u>256</u>:1385.
Houghton 6 (1981), Nucleic Acids Res. 9:247
Hunyh, T. V. 5 (1985), DNA CLONING TECHNIQUES
A PRACTICAL APPROACH(D. Glover 編,IRL
                                         Pre
                                               20
ss, Oxford, U.K.) pp. 49 - 78.
Immun. Rev. (1982)62:185.
Iwarson(1987), British Medical J. <u>295</u>:946.
Kennettb (1980), MONOCLONAL ANTIBODIES.
Kyte and Doolittle (1982), J. Mol. Biol. 157:1
0 5 - 1 3 2
Laemmli (1970), Nature 227, 680.
    Б (1988), Science <u>239</u>:1288.
Maniatis, T. 5 (1982), MOLECULAR CLONING; A L
ABORATORY MANUAL (Cold Spring Harbor Pres
                                               30
s, Cold Spring Harbor N.Y.).
MayerおよびWalker編集(1987), IMMUNOCHEMICALMET
HODS IN CELL ANDMOLECULAR BIOLOGY (Academ
ic Press, London). Maxamら(1980), Methods
 Enzymology <u>65</u>:499.
MacNamara6(1984), Science 226: 1325.
Messing 6 (1981), Nucleic Acids Res. 9:309.
Messing (1983), Methods in Enzymology
20-37. METHODS INENZYMOLOZY (Academic Pres
                                               40
s ) .
Michelle6, Int. Symposium on Viral Hepatit
Monath (1986), THE VIRUSES: THE TOGAVIRADAE
 ANDFLAVIVIRIDAE (シリーズ編集, Fraenkel - Conratお
よびWagner,
各巻編集,SchlesingerおよびSchlesinger ,Plenum
ress), p. 375 - 440. Nagahuma 6 (1984), Anal. Bi
ochem. <u>141</u>:74.
Neurath 6(1984), Science 224: 392.
Nisonoff 6 (1981), Clin. Immunol. Immunopatho
                                               50
```

```
1 . 21 : 3 9 7 - 4 0 6 .
Overby, L. R. (1985), Curr. Hepatol. 5:49.
Overby, L. R. (1986), Curr. Hepatol. 6:65.
Overby, L. R. (1987), Curr. Hepatol. 7:35.
Peleg (1969), Nature 221:193.
PfefferkornおよびShapiro(1974),COMPREHENSIV
VIROLOGY, Vol. 2 (Fraenkel - ConratおよびWagner編
Plenum N.Y.) pp. 171-230.
                                                  10
Prince, A.M. (1983), Annu. Rev. Microbiol. 37:
2 1 7 .
Rice 5 (1985), Science <u>229</u>: 726
Riceら(1986), in THE VIRUSES: THE TOGAVIRID
AE AND FLAVIVIRIDAE(シリーズ編集, Fraenkel-Conr
a t およびWagner, 各巻編集, S c h l e s i n g e r およびS c h l e s i n g
er, Plenum Press), pp. 279-328.
Roehrig (1986), THE VIRUSES: THE TOGAVIRIDA
E AND FLAVIVIRIDAE (シリーズ編集, Fraenkel-Conra
tおよびWagner, 各巻編集, SchlesingerおよびSchlesinge
                                                  20
r , Plenum Press)
Sadler 5 (1980), Gene <u>8</u>, 279.
Saiki6 (1986), Nature <u>324</u>: 163.
Saiki 5 (1988), Science <u>239</u>: 487
Sanger 6 (1977), Proc. Natl. Acad. Sci. USA 74:
5 4 6 3 .
Schlesinger 5 (1986), J. Virol. 60:1153.
Schreier, M. 5 (1980), HYBRIDOMA TECHNIQUES
Scopes (1984), PROTEIN PURIFICATION, PRINCI
PLES AND PRACTICE, SECOND EDITION (Springe
                                                  30
r-Verlag, N.Y.).
Shimatake 6 (1981), Nature <u>292</u>: 128.
Sippel (1973), Eur. J. Biochem. <u>37</u>:31
Steimer 5 (1986), J. Virol. 58:9.
Stollar (1980), THE TOGAVIRUSES (R.W. Schles
inger編, Academic Press, N.Y.), pp.584-622.
Sumiyoshi 5 (1987), Virology <u>161</u>: 497
Taylor6 (1976), Biochem. Biophys. Acta 442:3
Towbin Б (1979), Proc. Natl. Acad. Sci. USA <u>76</u>,
                                                  40
4 3 5 0 .
TsuおよびHerzenberg(1980),SELECTED METHODS
INCELLULAR IMMUNOLOGY (W.H. Freeman and C
o.) pp. 373-391.
Vytdehaag5 (1985), J. Immunol. 134:1225.
Valenzuela, P. 5 (1982), Nature <u>298</u>: 344.
Valenzuela, P. 6 (1984), HEPATITIS B (Millman
, I.ら編集, Plenum Press) pp.225-236.
Warner (1984), DNA <u>3</u>:401.
WuおよびGrossman(1987), Methods in Enzymology
                                                  50
```

Vol.154, RECOMBINANT DNA, Part E.
Wu(1987), Methods in Enzymology Vol 155, R
ECOMBINANT DNA, part F.
Zoller(1982), Nucleic Acids Res. 10:6487.

引用される特許

欧州特許出願公開第 3 1 8 , 2 1 6 号 P C T 公開第 W O 8 9 / 0 4 6 6 9 号 米国特許第 4 , 3 9 9 , 1 2 1 号 米国特許第 4 , 4 2 7 , 7 8 3 号 米国特許第 4 , 4 4 4 , 8 8 7 号 米国特許第 4 , 4 6 6 , 9 1 7 号

米国特許第4,472,500号 米国特許第4,491,632号

米国特許第4,493,890号

【背景技術】

[0003]

非A非B型肝炎(NANBH)は、伝染性の疾患であるか、あるいはウイルスが誘発すると考えられている疾患群およびウイルスに関連する他の形態の肝臓疾患とは区別し得る疾患群に属する。これらの疾患には、周知の肝炎ウイルス(すなわち、A型肝炎ウイルス(HAV)、B型肝炎ウイルス(HBV)、型肝炎ウイルス(HDV)、およびサイトメガロウイルス(CMV)またはエプスタイン・バーウイルス(EBV))により引き起こされる肝炎が包含される。NANBHは輸血した個体において初めて同定された。ヒトからチンパンジーへの伝染およびチンパンジー間における一連の継代は、NANBHが1種または複数種の伝染性感染因子によるという証拠を与えた。

[0004]

疫学的証拠によると,NANBHには次の3つの型があると示唆される:つまり,飲料水媒介の流行型;血液または注射針に関連する型;および散発(集団獲得(communityacquired))型の3つの型である。しかしながら,NANBHの原因となり得る因子の数は知られていない。

[0005]

NANBHの臨床における診断および同定は,他のウイルスマーカーを排除することにより,まず行われてきた。推定されるNANBV抗原および抗体を検出するために用いられる方法には,寒天ゲル拡散法,対向免疫電気泳動法,免疫蛍光顕微鏡法,免疫電子顕微鏡法,放射性免疫検定法,および酵素結合免疫吸着検定法がある。しかしながら,これらの検定法はいずれも,NANBHに関する診断検査として用いるのに充分感度が高く,特異的であり,かつ再現性があるとは示されていない。

これまで、NANBH因子に関連する抗原抗体系の同一性または特異性に関しては、のはなく、しかも一致することはなかった。これは、その少なくとも一部との同時感染またはNANBVとの同時のおいるHBVの前感染またはNANBVとの同時のからで関連する溶解性の粒子状抗原の周知の複雑さ、および肝臓細胞の子によりの引きなり、NANBHが1種より多くの表表によりの引きなが、ANBHが1種より多くの表表により、NANBH患者の血清中に可が検出である。または、地で対したのである。を表表がは、いる内ののを表表が、は、いる内ののであるが、特異的ないのである。を表表がはは、いる内ののでは、および対向免疫電気、動法によれば、、いる内ののでは、対抗のののであるのであるのである。を発表している方式が、特異的ないるのでは、が、対対には、いる内のでは、対抗療に対して抗体を表現して、いて、いくのかは、宿主により定まる細胞質抗原に対して抗体を表現しる。

20

10

30

40

[00006]

NANBVの候補となるものが,数多く存在している。例えば,Prince(1983),FeinstoneおよびHoofnagle(1984),そしてOverby(1985,1986,1987)による総説,ならびにIwarson(1987)による論文を参照にされたい。しかしながら,これらの候補がNANBHの病原因子に相当するという証拠はない。

[0007]

NANBVのキャリア,およびNANBVで汚染された血液または血液製剤をスクリーニングしかつ同定するための感度が高く特異的な方法が非常に要求されている。輸血後肝炎(PTH)は輸血された患者の約10%において発生する。この場合,90%までがNANBHによる。この疾患における大きな問題は,しばしば慢性的な肝臓損傷へ進行することである(25~55%)。

[00008]

患者を看護し,血液および血液製剤によるNANBH感染あるいは個体が緊密に接触することにより起こるNANBH感染を予防するために,NANBVに関連する核酸,抗原,および抗体を検出する信頼性の高いスクリーニング手段,診断手段,および予診手段が必要とされている。さらに,この疾患を予防および/または処置するための効果的なワクチンおよび免疫療法剤も必要とされている。

[0009]

出願人は,新しいウイルスであるC型肝炎ウイルス(HCV)を発見したが,このウイルスは血液媒介NANBH(BB-NANBH)の主要な病原因子であることが証明されている。原形HCV単離体であるCDC/HCV1(HCV1とも呼ばれる)の部分ゲノム配列を含む,出願人の最初の研究結果は,欧州特許公開第318,216号(1989年5月31日付で公開)およびPCT公開第WO89/04669号(1989年6月1日付で公開)に記載されている。これらの特許出願およびこれに対応するすべての国内特許出願の開示内容は,本願で参考文献として採用される。これらの出願は,特に,HCV配列をクローン化して発現させる組換えDNA法,HCVポリペプチド,HCV免疫学的診断法,HCVプローブ診断法,抗HCV抗体,ならびに新しいHCV単離体の配列を含む新しいHCV配列を単離する方法について教示している。

【発明の開示】

【課題を解決するための手段】

[0 0 1 0]

(項目1)

少なくとも8個のアミノ酸の連続する配列を有するポリペプチドに免疫学的に結合し得る抗C型肝炎ウイルス(HCV)モノクローナル抗体、ここで、上記抗体は、該少なくとも8個のアミノ酸の連続する配列に結合し、そして該少なくとも8個のアミノ酸の連続する配列は、以下のアミノ酸配列から得られる:

[0011]

10

20

【化1】

t	Arg Thr MetSerThrAsnProLysProGlnLysLysAsnLysArgAsnThrAsnArgArgProGln	
ΣÌ	AspValLysPheProGlyGlyGlnIleValGlyGlyValTyrLeuLeuProArgArg	
41	GlyProArgLeuGlyValArgAlaThrArgLysThrSerGluArgSerGlnProArgGly	
61	ArgArgGlnProIleProLysAlaArgArgProGluGlyArgThrTrpAlaGlnProGly	10
81	TyrProTrpProLeuTyrGlyAsnGluGlyCysGlyTrpAlaGlyTrpLeuLeuSerPro	
101	ArgGlySenArgProSerTrpGlyProThrAspProArgArgArgSerArgAsnLeuGly	
171	LysValIleAspThrLeuThrCysGlyPheAlaAspLeuMetGlyTyrIleProLeuVal	20
141	GlyAlaProLeuGlyGlyAlaAlaArgAlaLeuAlaHisGlyValArgValLeuGluAsp	
161	Thr GlyValAsnTyrAlaThrGlyAsnLeuProGlyCysSerPheSerIlePheLeuLeuAla	
181	LeuLeuSerCysLeuThrValFroAlaSerAlaTyrGlnValArgAsnSerThrGlyLeu	
ا0∠	TyrHisValThrAsnAspCysProAsnSerSerIleValTyrGluAlaAlaAspAlaIle	30
ア기	LeuHisThrProGlyCysValProCysValArgGluGlyAsnAlaSerArgCysTrpVal	
[0 0	1 2]	

	(9) JP 2006-169233 A 2006.6.29	
【化 2	1	
144	AlaMetThrProThrValAlaThrArgAspGlyLysLeuProAlaThrGlnLeuArgArg	
161	HisIleAspLeuLeuValGlySerAlaThrLeuCysSerAlaLeuTyrValGlyAspLeu	
281	CysGlySerValPheLeuValGlyGlnLeuPheThrPheSerProArgArgHisTrpThr	
301	ThrGlnGlyCysAsnCysSerIleTyrProGlyHisIleThrGlyHisArgMetAlaTrp	10
321	Val AspMetMetAsnTrpSerProThrThrAlaLeuValHetAlaGlnLeuLeuArgIle	
341	ProGlnAlaIleLeuAspMetIleAlaGlyAlaHisTrpGlyValLeuAlaGlyIleAla	
361	TyrPheSerMetValGlyAsnTrpAlaLysValLeuValValLeuLeuLeuPheAlaGly	20
381	ValAspAlaGluThrHisValThrGlyGlySerAlaGlyHisThrValSerGlyPheVal	
401	SerleuLeuAlaProGlyAlaLysGlnAsnValGlnLeuIleAsnThrAsnGlySerTrp	
421	HisLeuAsnSerThrAlaLeuAsnCysAsnAspSerLeuAsnThrGlyTrpLeuAlaGly	
·	LeuPheTyrHisHisLysPheAsnSerSerGlyCysProGluArgLeuAla; & L(()	30
[0 0		
【化3 2880	Pro	
1880		
2881	ProllelleGlnArgLeuHisGlyLeuSerAlaPheSerLeuHisSerTyrSerProGly	40
2901	GluIleAsnArgValAlaAlaCysLeuArgLysLeuGlyValProProLeuArgAlaTrp	
2921	Gly ArgHisArgAlaArgSerValArqAlaArgLeuLeuAlaArgGlyGlyArgAlaAlaIle	
2941	CysGlyLysTyrLeuPheAsnTrpAlaValArgThrLysLeuLyso	

[0 0 1 4]

(項目2)

薬学的に受容可能な賦型剤中に、少なくとも8個のアミノ酸の連続する配列を含む配列を有するポリペプチドを含有するワクチン組成物、ここで、上記少なくとも8個のアミノ酸の連続する配列は、HCVに対する抗体によって結合され得る少なくとも1つの部位を有し、そして上記少なくとも8個のアミノ酸の連続する配列は、以下のアミノ酸配列から得られる:

[0015]

【化4】

【化4	1	
l	Arg Thr MetSerThrAsnProLysProGlnLysLysAsnLysArgAsnThrAsnArgArgProGln	10
Σl	AspValLysPheProGlyGlyGlnIleValGlyGlyValTyrLeuLeuProArgArg	
4!	GlyProArgLeuGlyValArgAlaThrArgLysThrSerGluArgSerGlnProArgGly	
61	ArgArgGlnProIleProLysAlaArgArgProGluGlyArgThrTrpAlaGlnProGly	
81	TyrProTrpProLeuTyrGlyAsnGluGlyCysGlyTrpAlaGlyTrpLeuLeuSerPro	20
101	ArgGlySerArgProSerTrpGlyProThrAspProArgArgArgAerArgAspLeuGly	
121	LysValIleAspThrLeuThrCysGlyPheAlaAspLeuHetGlyTyrIleProLeuVal	
141	GlyAlaProLeuGlyGlyAlaAlaArgAlaLeuAlaHisGlyValArgValLeuGluAsp	30
161	Thr GlyValAsnTyrAlaThrGlyAsnLeuProGlyCysSerPheSerIlePheLeuLeuAla	30
181	LeuLeuSerCysLeuThrValProAlaSerAlaTyrGlnValArgAsnSerThrGlyLeu	
201	TyrHisValThrAsnAspCysProAsnSerSerIleValTyrGluAlaAlaAspAlaIle	
77	LeuHisThrProGlyCysValProCysValArgGluGlyAsnAlaSerArgCysTrpVal	40
(0 0	1 6]	

7	11	_	٦,
L	11	2	1

【化 5	1	
14لا	AlaMetThrProThrValAlaThrArgAspGlyLysLeuProAlaThrGlnLeuArgArg	
161	HislleAspleuLeuValGlySerAlaThrLeuCysSerAlaLeuTyrValGlyAspLeu	
181	CysGlySerValPheLeuValGlyGlnLeuPheThrPheSerProArgArqHisTrpThr	
301	ThrGlnGlyCysAsnCysSerIleTyrProGlyHisIleThrGlyHisArgMetAlaTrp	10
321	Val AspMetMetMetAsnTrpSerProThrThrAlaLeuValHetAlaGlnLeuLeuArgIle	
341	ProGlnAlaIleLeuAspMetIleAlaGlyAlaHisTrpGlyValLeuAlaGlyIleAla	
361	TyrPheSerMetValGlyAsnTrpAlaLysValLeuValValLeuLeuPheAlaGly	20
186	ValAspAlaGluThrHisValThrGlyGlySerAlaGlyHisThrValSerGlyPheVal	
401	SemiculeuklaPmoGlyAlaLysGlnAsnValGlnLeulleAsnThrAsnGlySemTrp	
42-1	HisLeuAsnSerThrAlaLeuAsnCysAsnAspSerLeuAsnThrGlyTrpLeuAlaGly	
441	LeuPheTyrHisHisLysPheAsnSerSerGlyCysProGluArgLeuAlz; & L(()	30
【 0 0 【 化 6	1 7]	
1880	Pro	
2881	ProllelleGlnArgLeuHisGlyLeuSerAlaPheSerLeuHisSerTyrSerProGly	40
2901	GlulleAsnArgValAlaAlaCysLeuArgLysLeuGlyValProProLeuArgAlaTrp	
2921	Gly ArgHisArgAlaArgSerValArqAlaArgLeuLeuAlaArgGlyGlyArgAlaAlaIle	
2941	CysGlyLysTyrLeuPheAsnTrpAlaValArgThrLysLeuLyso	50

30

40

50

[0018]

(発明の要旨)

本発明は,部分的に,欧州特許出願公開第318,216号またはPCT公開第WO89/04669号に開示されていない新しいHCV配列およびポリペプチドに基づいている。本発明に包含されるのは,特に,免疫学的診断法,プローブ診断法,抗HCV抗体の生産,PCR法,および組換えDNA法におけるこれらの新しい配列およびポリペプチドの応用である。さらに,本発明には,本願で開示されるHCVポリペプチドの免疫原性に基づく新しい免疫学的検定法が含まれる。本願で請求される新規事項は,例えば欧州特許出願公開第318,216号に記載の手法を使用して開発されたが,その公開またはいかなる対応特許にも先行する優先日を有する。従って,本発明は,HCV抗原および抗体について試料をスクリーニングするのに有用な,ならびにHCV感染の処置に有用な,新規な組成物および方法を提供する。

[0019]

[0020]

[0021]

本発明のさらに他の局面は、HCV CDNAに由来するDNAのORFを有する組換え発現ベクターで形質転換させた細胞により生産された免疫原性ポリペプチドであって、該HCV CDNAは、クローンCA279a、またはクローンCA74a、またはクローン13i、またはクローンCA290a、またはクローン33C、またはクローン40b、またはクローン33b、またはクローン25c、またはクローン14c、またはクローン8f、またはクローン33f、またはクローン33g、またはクローン39c、またはクローン15eの中のHCV CDNA配列に由来する配列を有し、該ORFは所望の宿主と適合し得る制御配列に対して作動可能なように連結されている。

[0022]

本発明の他の局面は,HCVエピトープを有するペプチドであって,該ペプチドは次式で表される。

AAx - AAy

ここで, x および y は図 2 7 ~ 図 3 6 に示されているアミノ酸番号を表し, 該ペプチドは, A A 1 - A A 2 5 , A A 1 - A A 5 0 , A A 1 - A A 8 4 , A A 9 - A A 1 7 7 , A A 1 - A A 1 0 , A A 5 - A A 2 0 ,

A A 2 O - A A 2 5 , A A 3 5 - A A 4 5 , A A 5 O - A A 1 O O , A A 4 O - A A 9 O , A A 4 5 - A A 6 5 , A A 6 5 - A A 7 5 ,

A A 8 0 - A A 9 0 , A A 9 9 - A A 1 2 0 , A A 9 5 - A A 1 1 0 , A A 1 0 5 - A A 1 2 0 , A A 1 0 0 - A A 1 5 0 ,

A A 1 5 0 - A A 2 0 0 , A A 1 5 5 - A A 1 7 0 , A A 1 9 0 - A A 2 1 0 , A A 2 0 0 - A A 2 5 0 , A A 2 2 0 - A A 2 4 0 ,

A A 2 4 5 - A A 2 6 5 , A A 2 5 0 - A A 3 0 0 , A A 2 9 0 - A A 3 3 0 , A A 2 9 0 - A A 3 3 0 , A A 2 9

A A 3 1 0 - A A 3 3 0 , A A 3 5 0 - A A 4 0 0 , A A 3 8 0 - A A 3 9 5 , A A 4 0

```
5 - A A 4 9 5 , A A 4 0 0 - A A 4 5 0 ,
A A 4 0 5 - A A 4 1 5 , A A 4 1 5 - A A 4 2 5 , A A 4 2 5 - A A 4 3 5 , A A 4 3
7 - A A 5 8 2 , A A 4 5 0 - A A 5 0 0 ,
A A 4 4 0 - A A 4 6 0 , A A 4 6 0 - A A 4 7 0 , A A 4 7 5 - A A 4 9 5 , A A 5 0
0 - A A 5 5 0 , A A 5 1 1 - A A 6 9 0 ,
A A 5 1 5 - A A 5 5 0 , A A 5 5 0 - A A 6 0 0 , A A 5 5 0 - A A 6 2 5 , A A 5 7
5 - A A 6 0 5 , A A 5 8 5 - A A 6 0 0 ,
A A 6 O O - A A 6 5 O , A A 6 O O - A A 6 2 5 , A A 6 3 5 - A A 6 6 5 , A A 6 5
0 - A A 7 0 0 , A A 6 4 5 - A A 6 8 0 ,
A A 7 O O - A A 7 5 O , A A 7 O O - A A 7 2 5 , A A 7 O O - A A 7 5 O , A A 7 2
                                                                                   10
5 - A A 7 7 5 , A A 7 7 0 - A A 7 9 0 ,
A A 7 5 0 - A A 8 0 0 , A A 8 0 0 - A A 8 1 5 , A A 8 2 5 - A A 8 5 0 , A A 8 5
0 - A A 8 7 5 , A A 8 0 0 - A A 8 5 0 ,
A A 9 2 0 - A A 9 9 0 , A A 8 5 0 - A A 9 0 0 , A A 9 2 0 - A A 9 4 5 , A A 9 4
0 - A A 9 6 5 , A A 9 7 0 - A A 9 9 0 ,
A A 9 5 0 - A A 1 0 0 0 , A A 1 0 0 0 - A A 1 0 6 0 , A A 1 0 0 0 - A A 1 0 2 5
, A A 1 0 0 0 - A A 1 0 5 0 ,
A A 1 0 2 5 - A A 1 0 4 0 , A A 1 0 4 0 - A A 1 0 5 5 , A A 1 0 7 5 - A A 1 1 7
5 , A A 1 0 5 0 - A A 1 2 0 0 ,
A A 1 O 7 O - A A 1 1 O O , A A 1 1 O O - A A 1 1 3 O , A A 1 1 4 O - A A 1 1 6
                                                                                   20
5 , A A 1 1 9 2 - A A 1 4 5 7 ,
A A 1 1 9 5 - A A 1 2 5 0 , A A 1 2 0 0 - A A 1 2 2 5 , A A 1 2 2 5 - A A 1 2 5
0 , A A 1 2 5 0 - A A 1 3 0 0 ,
A A 1 2 6 0 - A A 1 3 1 0 , A A 1 2 6 0 - A A 1 2 8 0 , A A 1 2 6 6 - A A 1 4 2
8 , A A 1 3 0 0 - A A 1 3 5 0 ,
A A 1 2 9 0 - A A 1 3 1 0 , A A 1 3 1 0 - A A 1 3 4 0 , A A 1 3 4 5 - A A 1 4 0
5 , A A 1 3 4 5 - A A 1 3 6 5 ,
A A 1 3 5 0 - A A 1 4 0 0 , A A 1 3 6 5 - A A 1 3 8 0 , A A 1 3 8 0 - A A 1 4 0
5 , A A 1 4 0 0 - A A 1 4 5 0 ,
A A 1 4 5 0 - A A 1 5 0 0 , A A 1 4 6 0 - A A 1 4 7 5 , A A 1 4 7 5 - A A 1 5 1
                                                                                   30
5 , A A 1 4 7 5 - A A 1 5 0 0 ,
A A 1 5 0 0 - A A 1 5 5 0 , A A 1 5 0 0 - A A 1 5 1 5 , A A 1 5 1 5 - A A 1 5 5
0 , A A 1 5 5 0 - A A 1 6 0 0 ,
A A 1 5 4 5 - A A 1 5 6 0 , A A 1 5 6 9 - A A 1 9 3 1 , A A 1 5 7 0 - A A 1 5 9
0 , A A 1 5 9 5 - A A 1 6 1 0 ,
A A 1 5 9 0 - A A 1 6 5 0 , A A 1 6 1 0 - A A 1 6 4 5 , A A 1 6 5 0 - A A 1 6 9
0 , A A 1 6 8 5 - A A 1 7 7 0 ,
A A 1 6 8 9 - A A 1 8 0 5 , A A 1 6 9 0 - A A 1 7 2 0 , A A 1 6 9 4 - A A 1 7 3
5 , A A 1 7 2 0 - A A 1 7 4 5 ,
A A 1 7 4 5 - A A 1 7 7 0 , A A 1 7 5 0 - A A 1 8 0 0 , A A 1 7 7 5 - A A 1 8 1
0 , A A 1 7 9 5 - A A 1 8 5 0 ,
A A 1 8 5 0 - A A 1 9 0 0 , A A 1 9 0 0 - A A 1 9 5 0 , A A 1 9 0 0 - A A 1 9 2
0 , A A 1 9 1 6 - A A 2 0 2 1 ,
A A 1 9 2 0 - A A 1 9 4 0 , A A 1 9 4 9 - A A 2 1 2 4 , A A 1 9 5 0 - A A 2 0 0
0 , A A 1 9 5 0 - A A 1 9 8 5 ,
A A 1 9 8 0 - A A 2 0 0 0 , A A 2 0 0 0 - A A 2 0 5 0 , A A 2 0 0 5 - A A 2 0 2
5 , A A 2 O 2 O - A A 2 O 4 5 ,
A A 2 O 4 5 - A A 2 1 O O , A A 2 O 4 5 - A A 2 O 7 O , A A 2 O 5 4 - A A 2 2 2
3 , A A 2 O 7 O - A A 2 1 O O ,
```

A A 2 1 0 0 - A A 2 1 5 0 , A A 2 1 5 0 - A A 2 2 0 0 , A A 2 2 0 0 - A A 2 2 5

30

50

0 , A A 2 2 0 0 - A A 2 3 2 5 ,

A A 2 2 5 0 - A A 2 3 3 0 , A A 2 2 5 5 - A A 2 2 7 0 , A A 2 2 6 5 - A A 2 2 8

0 , A A 2 2 8 0 - A A 2 2 9 0 ,

A A 2 2 8 7 - A A 2 3 8 5 , A A 2 3 0 0 - A A 2 3 5 0 , A A 2 2 9 0 - A A 2 3 1

0 , A A 2 3 1 0 - A A 2 3 3 0 ,

A A 2 3 3 0 - A A 2 3 5 0 , A A 2 3 5 0 - A A 2 4 0 0 , A A 2 3 4 8 - A A 2 4 6

4 , A A 2 3 4 5 - A A 2 4 1 5 ,

A A 2 3 4 5 - A A 2 3 7 5 , A A 2 3 7 0 - A A 2 4 1 0 , A A 2 3 7 1 - A A 2 5 0

2 , A A 2 4 0 0 - A A 2 4 5 0 ,

A A 2 4 0 0 - A A 2 4 2 5 , A A 2 4 1 5 - A A 2 4 5 0 , A A 2 4 4 5 - A A 2 5 0

0 , A A 2 4 4 5 - A A 2 4 7 5 ,

A A 2 4 7 0 - A A 2 4 9 0 , A A 2 5 0 0 - A A 2 5 5 0 , A A 2 5 0 5 - A A 2 5 4

0 , A A 2 5 3 5 - A A 2 5 6 0 ,

A A 2 5 5 0 - A A 2 6 0 0 , A A 2 5 6 0 - A A 2 5 8 0 , A A 2 6 0 0 - A A 2 6 5

0 , A A 2 6 0 5 - A A 2 6 2 0 ,

A A 2 6 2 0 - A A 2 6 5 0 , A A 2 6 4 0 - A A 2 6 6 0 , A A 2 6 5 0 - A A 2 7 0

0 , A A 2 6 5 5 - A A 2 6 7 0 ,

A A 2 6 7 0 - A A 2 7 0 0 , A A 2 7 0 0 - A A 2 7 5 0 , A A 2 7 4 0 - A A 2 7 6

0 , A A 2 7 5 0 - A A 2 8 0 0 ,

A A 2 7 5 5 - A A 2 7 8 0 , A A 2 7 8 0 - A A 2 8 3 0 , A A 2 7 8 5 - A A 2 8 1

0 , A A 2 7 9 6 - A A 2 8 8 6 ,

A A 2 8 1 0 - A A 2 8 2 5 , A A 2 8 0 0 - A A 2 8 5 0 , A A 2 8 5 0 - A A 2 9 0

0 , A A 2 8 5 0 - A A 2 8 6 5 ,

A A 2 8 8 5 - A A 2 9 0 5 , A A 2 9 0 0 - A A 2 9 5 0 , A A 2 9 1 0 - A A 2 9 3

0 , A A 2 9 2 5 - A A 2 9 5 0 ,

A A 2 9 4 5 - 末端 (C ' 末端) からなる群から選択される。

[0023]

本発明のさらに他の局面は,HCV cDNA内にコードされたエピトープに対するモ ノクローナル抗体であって,該HCV cDNAは図27~図28または図36のヌクレ オチド番号 - 3 1 9 ~ 1 3 4 8 または 8 6 5 9 ~ 8 8 6 6 によって示される配列を有する か , あるいはクローン 1 3 i , またはクローン 2 6 j , またはクローン 5 9 a , またはク ローン 8 4 a , またはクローン C A 1 5 6 e , またはクローン 1 6 7 b , またはクローン p i 1 4 a , またはクローン C A 2 1 6 a , またはクローン C A 2 9 0 a , またはクロー ン a g 3 0 a , またはクローン 2 0 5 a , またはクローン 1 8 g , またはクローン 1 6 j hの中に存在する配列である。本発明のさらに他の局面は,HCV cDNA内にコード されたエピトープを有するポリペプチドに対する精製ポリクローナル抗体の調製物であっ 3 4 8 または 8 6 5 9 ~ 8 8 6 6 によって示される配列を有するか, あるいはクローン 1 3 i , またはクローン 2 6 j , またはクローン 5 9 a , またはクローン 8 4 a , またはク ローン C A 1 5 6 e , またはクローン 1 6 7 b , またはクローン p i 1 4 a , またはクロ 一ン C A 2 1 6 a , またはクローン C A 2 9 0 a , またはクローン a g 3 0 a , またはク ローン 2 0 5 a , またはクローン 1 8 g , またはクローン 1 6 j h の中に存在する配列で ある。

[0024]

[0025]

本発明のさらに他の局面は、HCVに由来するポリヌクレオチドの存在について試料を

30

40

50

分析するためのキットであって,該キットは約8個またはそれ以上のヌクレオチドからなるヌクレオチド配列を含むポリヌクレオチド番号・319~1348または8659~8866によって示される配列を有するHCV cDNAに由来し,該ポリヌクレオチド分析であってがは適当な容器内にある。本発明の他の局面は,HCV抗原の存在について試料を分析を有るためのキットであって,該キットはHCV抗原と免疫学的に反応する抗体を有しするためのキットであって,該キットはHCV抗原と免疫学的に反応する抗体を有は図28または図36のヌクレオチド番号・319~1348または8659~8866によって示される配列を有するか,あるいは該HCV cDNAは、クローン131、ことはクローン26j,またはクローン59a,またはクローン84a,またはクローン6161616a,またはクローン18g,またはクローン16jhの中にある。

[0026]

本発明のさらに他の局面は、HCV抗体の存在について試料を分析するキットであって、該キットはHCV cDNA内にコードされたHCVエピトープを含む抗原性ポリペプチドを有し、該HCV cDNAは、図27~図28または図36のヌクレオチド番号・319~1348または8659~8866によって示される配列を有するか、あるいはクローン13i、またはクローン26j、またはクローン59a、またはクローン84a、またはクローンCA156e、またはクローン167b、またはクローンpi14a、またはクローンCA216a、またはクローンCA216jhの中にある、またはクローン205a、またはクローン16jhの中にある

[0 0 2 7]

[0028]

本発明のさらに他の局面は,試料中のHCV核酸を検出する方法であって,該検出方法は,(a)該試料の核酸を,HCVに対するポリヌクレオチドプローブと反応させること;ここで,該プローブはHCV cDNA配列由来のHCV配列を有し,該HCV cDNA配列は図27~図28または図36のヌクレオチド番号-319~1348または8659~8866によって示される配列を有し,かつ該反応は該プローブと該試料由来のHCV核酸との間にポリヌクレオチドニ本鎖(duplex)を形成させ得る条件下で行われる;および(b)工程(a)で形成された,該プローブを含むポリヌクレオチドニ本鎖を検出すること,を包含する。

[0029]

本発明のさらに他の局面は、HCV抗原を検出するための免疫学的検定法であって、該免疫学的検定法は、(a)HCV抗原を含んでいる疑いのある試料を、HCVcDNA内にコードされたHCVエピトープに対する抗体と共にインキュベートすること;ここで、該HCV cDNAは図27~図28または図36のヌクレオチド番号・319~1348または8659~88866によって示される配列を有するか、あるいはクローン131、またはクローン26j、またはクローン59a、またはクローン84a、またはクローンCA156e、またはクローン167b、またはクローンag30a、またはクローンCA216a、またはクローン18g、またはクローン16jhの中に存在する配列であり

30

40

50

,かつ該インキュベーションは抗原・抗体複合体を形成させ得る条件下で行われる;および(b)工程(a)で形成された,該抗体を含む抗体・抗原複合体を検出すること,を包含する。

[0030]

本発明のさらに他の局面は,HCV抗原に対する抗体を検出するための免疫学的検定法であって,該免疫学的検定法は,(a)抗HCV抗体を含んでいる疑いのある試料を,HCVcDNA内にコードされたエピトープを含む抗原ポリペプチドと共にインキュベートすること;ここで,該HCV cDNAは図27~図28または図36のヌクレオチド番号・319~1348または8659~8866によって示される配列を有するか,あるいはクローン13i,またはクローン26j,またはクローン59a,またはクローン84a,またはクローンCA26g,またはクローンpi14a,またはクローンCA216a,またはクローンCA290a,またはクローンag30a,またはクローン205a,またはクローン18g,またはクローン16jhの中に存在する配列であり,かつ該インキュベーションは抗原・抗体複合体を形成させ得る条件下で行われる;および工程(a)で形成された,該抗原ポリペプチドを含む抗体・抗原複合体を検出すること,

を包含する。

[0031]

[0032]

[0033]

[0 0 3 4]

本発明のさらに他の局面は,精製された融合ポリペプチド C 1 0 0 - 3 を調製する方法であって,該調製方法は,(a)ポリペプチド C 1 0 0 - 3 を含む粗製の細胞溶解産物を用意すること,(b)該ポリペプチドを沈澱させる量のアセトンで,該粗製の細胞溶解産物を処理すること,(c)沈澱物を単離して可溶化すること,

(d) アニオン交換クロマトグラフィーによって,該 C 1 0 0 - 3 ポリペプチドを単離すること,および(e) ゲル濾過法によって,工程(d) の C 1 0 0 - 3 ポリペプチドをさらに単離すること,を包含する。

30

50

[0 0 3 5]

(発明の実施の形態)

I . 定義

「C型肝炎ウイルス(hepatitis Cvirus)」という用語は,非A非B型肝炎(NANBH)の従来知られていなかった病原因子に対して,この分野の研究者が保留していた用語である。従って,本願で用いる場合,「C型肝炎ウイルス」(HCV)という用語はNANBHの病原因子を意味し,またこのNANBHは,以前にはNANBVおよび/またはBB-NANBVと呼ばれていたものである。本願では,HCV,NANBV,およびBB-NANBVという用語を互換性のある語として使用する。この用語法を拡張して,以前はNANBH炎(NANBH)と呼んでいたHCVによって発病する疾患をC型肝炎と呼ぶ。本願では,NANBHとC型肝炎という用語を互換性のある語として使用してもよい。

[0036]

「HCV」という用語は、本願で用いる場合、その病原株がNANBHを発病させるウイルス種、および弱毒化されたウイルス株または後者由来の欠損干渉粒子を意味する。後に述べるように、HCVゲノムは、RNAで構成されている。RNAを含有するウイルスの偶発変異率が比較的高いということが知られており、すなわち組込まれたヌクレオチドあたり10-3~10-4のオーダーであると報告されている〔フィールズとナイプ(Fields& Knipe)1986年〕。それ故、後に述べるHCV種の中には、毒性または無毒性であり得る多くのウイルス株がある。本願記載の組成物と方法とによって、種々のHCV株または単離体の増殖、同定、検出、および単離を行うことができる。さらに本開示内容によれば、各種ウイルス株に対する診断薬およびワクチンを調製することができ、またHCVの複製を阻害する薬剤のような薬理学的用途の抗ウイルス剤をスクリーニングする手法に有用な組成物および方法が得られる。

[0037]

本願が提供する情報は,HCVの原形株またはHCV単離体〔以後,CDC/HCV1(HCV1とも呼ばれる)と呼ぶ〕に由来するものであり,ウイルス分離学者がこの種に属する他のウイルス株を同定するのに充分なものである。本願が提供する情報によれば,HCVがフラビ様ウイルス(Flavi‐likevirus)であることが確認できる。フラビウイルス粒子の形態および組成は公知であり,ブリントン(Brinton,1986年)が考察している。形態については,一般に,フラビウイルス類は,脂質二重層で覆われた中心ヌクレオカプシドを有している。ビリオンは球形であり,その直径は約40~50nmである。そのコアは直径が約25~30nmである。ビリオンのエンベロープの外面には,直径が約2nmの末端ノブ(terminal knob)を有する約5~10nm長の突起を有する。

[0038]

HCVの異なるウイスル株または単離体は、原形単離体HCV1と比較すると、アミノ酸および核酸の変異を含むことが予想される。多くの単離体は、HCV1と比較すると、全アミノ酸配列において高い(すなわち、約40%より高い)相同性を示すことが予想される。しかし、相同性の少ない他のHCV単離体も発見され得る。これらは、サイズがHCV1と類似するポリタンパクをコードする約9、000個のヌクレオチドから約12、000個のヌクレオチドからなるORF、HCV1と類似する疎水性および抗原性を有するコードされたポリタンパク、およびHCV1で保存されている共直線ペプチド配列の存在などの様々な基準に従って、HCV株として同定される。さらに、ゲノムは正鎖(positive-stranded)RNAであろう。

[0039]

HCVは,本願に記載のcDNAが誘導されるHCVゲノム内のエピトープとして免疫学的に同定可能な少なくとも1つのエピトープをコードするが,このエピトープは本願に記載のアミノ酸配列に含まれることが好ましい。このエピトープは,他の公知のフラビウイルス類と比較した場合,HCVに特有のものである。このエピトープの独自性は,抗H

20

30

40

50

C V 抗体との免疫学的反応性と,他のフラビウイルス種に対する抗体との免疫学的反応性の欠如とによって決定することができる。免疫学的反応性を決定する方法は当該技術分野では公知であり,例えば,放射性免疫検定法, E L I S A 法,血球凝集反応法などがあり,分析技術の適切ないくつかの例を本願に示す。

[0040]

[0041]

HCVのウイスル株または単離体には進化的類縁関係があるので,推定上のHCV株または単離体は,ポリペプチドレベルにおける,その相同性によって同定可能である。一般に,HCV株または単離体は,ポリペプチドレベルで,約40%を越える相同性を,おそらくは約70%を越える相同性を,さらにおそらくは80%を越える相同性を,さらによっては約90%を越える相同性を有すると考えられる。アミノ酸配列の相同性を決定する技術は,当該技術分野で公知である。例えば,アミノ酸配列を直接決定して,本願に示した配列と比較することができる。あるいは,推定上のHCVのゲノム物質のヌクレオチド配列を(通常,CDNA中間体を介して)決定してもよく,これにコードされているアミノ酸配列は決定可能であり,そして対応する領域を比較することができる。

[0042]

本願で使用される場合,指定された配列「由来」のポリヌクレオチドとは,指定された ヌクレオチド配列の領域に対応する少なくとも約6個のヌクレオチド,好ましくは少なく とも約8個のヌクレオチド,さらに好ましくは少なくとも約10~12個のヌクレオチド , さらに好ましくは少なくとも約 1 5 ~ 2 0 個のヌクレオチドの配列からなるポリヌクレ オチド配列を意味する。「対応する」とは,指定された配列に相同的または相補的である ことを意味する。上記ポリヌクレオチドが誘導される領域の配列は,HCVゲノムに特有 の配列に相同的または相補的であるのが好ましい。ある配列がHCVゲノムに特有のもの であるか否かは当業者に公知の技術で決定することができる。例えば,その配列を,デー タバンク,例えばジーンバンク(Genebank)の配列と比較して,未感染の宿主ま たは他の生物に存在するか否かを決定することができる。また,その配列は,他のウイル ス因子(肝炎,例えば,HAV,HBV,およびHDVを誘発することが知られているウ イルス因子を含む)の既知配列,ならびにフラビウイルス科のウイルス(Fravivi r i d a e)の他のメンバーと比較することもできる。また,誘導された配列が他の配列 と一致しているかまたは一致していないかは,適切な厳密条件下でハイブリダズさせるこ とによって決定することができる。核酸配列の相補性を決定するためのハイブリダイゼー ション技術は,当該技術分野で公知であり,後に検討する。例えば,マニアチスら(Ma niatiset al,1982年)の文献を参照されたい。さらに,ハイブリダイゼ ーションによって形成された二本鎖ポリヌクレオチドの不整合も,公知の方法で決定する ことができる。この方法には,例えば,S1のようなヌクレアーゼによって,二本鎖ポリ ヌクレオチドの一本鎖領域を特異的に切断する方法がある。代表的なDNA配列が「誘導 される」領域は,例えば,特異的なエピトープをコードする領域,ならびに転写されない

20

30

50

領域および/または翻訳されない領域を含むが、これに限定されるものではない。

[0043]

誘導されたポリヌクレオチドは,必らずしも,提示されたヌクレオチド配列から物理的に誘導されている必要はなく,いずれの方法により生じてもよい。例えば,化学合成法, DNA複製法,逆転写法,または転写法が挙げられる。さらに,指定された配列の領域に 対応する領域の組み合わせは,当該技術分野で公知の方法で改変され,意図する用途に合 致させることができる。

[0044]

同様に,指定された核酸の配列「から誘導された(由来の)」ポリペプチドもしくはアミノ酸配列は,上記の配列にコードされているポリペプチドのアミノ酸配列もしくはその一部分(少なくとも3~5個のアミノ酸,より好ましくは少なくとも8~10個のアミノ酸,さらに好ましくは少なくとも11~15個のアミノ酸で構成されている部分)の配列と同じアミノ酸配列を有するポリペプチド,または上記の配列にコードされているポリペプチドとして免疫学的に同定し得るポリペプチドを意味する。

[0045]

[0046]

本願で用いる「組換え体ポリヌクレオチド」という用語は、ゲノム、 c D N A 、半合成、もしくは合成起源のポリヌクレオチドを意味し、その起源もしくは操作によって、(1)このポリヌクレオチドが天然で関連しているポリヌクレオチドの全体もしくは一部分と関連していないもの、(2)このポリヌクレオチドが天然で連結しているポリヌクレオチド以外のポリヌクレオチドに連結されているもの、または(3)天然に存在しないものを意味する。

[0047]

本願で用いる「ポリヌクレオチド」という用語は、任意の長さを持ったポリマー形態のヌクレオチド(リボヌクレオチドまたはデオキシリボヌクレオチド)を意味する。この用語には、二本鎖 DNA、ならびに二本鎖 RNAが含まれる。また、この用語には、既知の改変、例えば当該技術において既知の標識、メチルは、「キャップ」、類のは、既知の改変、例えば当該技術において既知の標識、メチルオチドの置換、ヌクレオチドの置換、スカート、ホスホトリエス、類のルボスホアミデート、カルバメートなど)、および荷電結合を有するもの(例えば、メチルホスホート、ホスホトリエス、ホート、ホスホアミデート、カルバメートなど)、おいで電話合を有するもの(例えば、アクリジンなど)のようなペンターカレーター(intercal ators)(例えば、アクリシス・トキシン、抗体、シグナルペプチド、ポリ・L・リジンなど)のようなペンターカレーター(intercal ators)(例えば、アクリシ、た合むもの、インターカレーター(intercal ators)(例えば、アクリシ、大りを含むもの、アルキル化剤を含むもの、修飾された結合(例えば、アルフィー核酸など)、ならびに未修飾形態のポリヌクレオチドが含まれる。

[0048]

「精製されたウイルスポリヌクレオチド」という用語は,ウイルスのポリヌクレオチドが天然で関連するポリペプチドを実質的に含まない,すなわち約50%未満,好ましくは約70%未満,さらに好ましくは約90%未満しか含有しないようなHCVゲノムもしくはその断片を意味する。ウイルス粒子からウイルスポリヌクレオチドを精製する方法は,

30

40

50

当該技術分野で公知であり,例えば,ウイルス粒子をカオトロピック剤で破壊する方法,およびイオン交換クロマトグラフィー,アフィニティークロマトグラフィー,および密度による遠心沈降法によってポリヌクレオチドとポリペプチドを分別抽出および分離する方法がある。

[0049]

「精製されたウイルスポリペプチド」という用語は,ウイルスポリペプチドが天然で関連する細胞成分を実質的に含まない,すなわち約50%未満,好ましくは約70%未満,好ましくは約70%未満,断片を意味する。ウイルスポリペプチドを精製する方法は,当該技術分野で公知チドをあり、これらの方法の例については後に考察する。「精製されたウイルスポリヌクレオチドが天然で関連するポリペプチドを実質的に含まない,すなわち約20%未満,好ましくは約50%未満,さらに好ましくは約70%未満しか含有しないような,HCVゲノムもしくはその断片を意味する。ウイルス粒子からウイルスポリヌクレオチドを精製する方法は,当該技術分野で公知であり,例えば,ウイルスポリヌクレオチドを精製する方法は,およびイオン交換クロマトグラフィー,アフィニティークロマトグラフィー,および密度による遠心沈降法によってポリヌクレオチドとポリペプチドを分離する方法がある。

[0050]

単細胞因子として培養される微生物もしくは高等真核細胞系を示す「組換え体宿主細胞」,「宿主細胞」,「細胞」,「細胞系」,「細胞培養物」などの用語は,組換え体ベクターもしくは他の転移DNAの受容体として使用可能か,または使用されてきた細胞を意味し,トランスフェクトされた元の細胞の後代が含まれる。単一の親細胞の後代は,天然の,偶発的または計画的な変異によって,形態,またはゲノムもしくは全DNAの相補性が元の親細胞と,必らずしも完全に同一でなくてもよい。

[0051]

「レプリコン」には,例えばプラスミド,染色体,ウイルス,コスミッドなどの遺伝子構成成分などが含まれ,細胞内でポリヌクレオチドの複製の自律的な単位として挙動する,すなわち自ら制御しながら複製を行うことができる,あらゆる遺伝要素である。

[0052]

「ベクター」は,他のポリヌクレオチドのセグメントが結合しているレプリコンであって,複製を行い,および / または結合しているセグメントを発現する。「制御配列」は,ある種のポリヌクレオチド配列を意味し,この配列が連結しているコード配列を発現させるのに必要なものである。このような制御配列の性質は,宿主の生物によって異なる。このような制御配列としては,原核細胞内では,一般に,プロモーター,リボソーム結合部位,およびターミネーターが含まれ,真核細胞内では,一般に,プロモーター,ターミネーター,および場合によってはエンハンサーが含まれる。「制御配列」という用語は,最小限発現に必要なすべての要素を包含し,さらに発現に有利な追加の要素,例えばリーダー配列を包含し得る。

[0 0 5 3]

「作動可能に連結された」という用語は,上記のような要素が,意図した方式で機能し得るような関係に並置されていることを意味する。コード配列に「作動可能に連結された」制御配列は,制御配列に適合した条件下でこのコード配列の発現が達成されるように,連結される。

[0054]

「オープンリーディングフレーム」(ORF)は,ポリペプチドをコードするポリヌクレオチド配列の領域であり,この領域は,コード配列の一部またはコード配列全体を意味する。

[0055]

「コード配列」は,適切な調節配列の制御下に置かれた場合に,mRNAに転写され, および / またはポリペプチドに翻訳されるポリヌクレオチド配列である。コード配列の境 界は,5 ⁷ 末端の翻訳開始コドンと,3 ⁷ 末端の翻訳停止コドンとによって決定される。 コード配列は,mRNA,cDNA,および組換え体ポリヌクレオチド配列を包含し得る が,これらに限定されるものではない。

[0056]

「免疫学的に…として同定可能な」という用語は,指定されたポリペプチド,通常はHCVタンパク内に存在するエピトープおよびポリペプチドが存在することを意味する。免疫学的な同一性は,抗体の結合および/または競合的結合によって決定され得るが,これらの方法は当業者には公知であり,後述する。

[0057]

本願で用いる「エピトープ」という用語は、ポリペプチドの抗原決定基を意味する。エピトープは、このエピトープに特有の立体配座で3個のアミノ酸を有し得るが、エピトープは、一般に少なくとも5個のこのようなアミノ酸で構成され、より一般的には少なくとも8~10個のこのようなアミノ酸で構成されている。アミノ酸の立体配座の決定法は、当該技術分野では公知であり、例えば、X線結晶構造解析および二次元核磁気共鳴法がある。

[0058]

ポリペプチドは,このポリペプチドに含まれている特異的なエピトープが抗体を認識することによって,この抗体と結合する場合に,抗体と「免疫学的に反応性がある」という。免疫学的反応性は,抗体結合反応,特に抗体結合反応の速度論,および/または抗体に対するエピトープを含む公知のポリペプチドを,競合物として用いる競合的結合法によって決定される。ポリペプチドが抗体と免疫学的に反応性であるか否かを決定する方法は,当該技術分野で公知である。

[0059]

本願で用いる,「免疫原性を有するポリペプチド」という用語には,アジュバンドの存在下または不存在下で,単独でまたは担体に連結して細胞性応答および / または体液性応答を誘導するポリペプチドが包含される。

[0060]

「ポリペプチド」という用語は,アミノ酸の重合体を意味し,特定の長さの生産物を意味しない。したがって,ポリペプチドの定義には,ペプチド,オリゴペプチド,およびタンパクが包含される。また,この用語は,ポリペプチドの発現後修飾物,例えば,グリコシル化物,アセチル化物,リン酸化物などを意味しないか,あるいは除外する。この定義に包含されるものは,例えば,アミノ酸(例えば,非天然のアミノ酸などを含む)の1つかまたはそれ以上の類似体を含むポリペプチド,置換された結合ならびに当該技術分野で公知の天然に存在するおよび天然に存在しない他の改変を有するポリペプチドである。

[0061]

本願で用いる「形質転換」という用語は、外因性ポリヌクレオチドを宿主細胞に挿入することを意味する。なお、挿入法は、どんな方法でもよく、例えば、直接取込み法、形質導入法、f - 交配法、またはエレクトロポレーション法がある。外因性ポリヌクレオチドは、組込まれていないベクター、例えば、プラスミドとして保持されていても、あるいは宿主ゲノムに組込まれていてもよい。

[0062]

本願で用いる「処置」という用語は,予防および/または治療を意味する。

[0063]

本願で用いる「個体」という用語は,脊椎動物,特に哺乳動物種のメンバーを意味し,家畜,競技用動物,およびヒトを含む霊長動物を包含するが,これに限定されるものではない。

[0064]

本願で用いる,核酸の「センス鎖」は,mRNAに相同的な配列を有する配列を含む。「アンチセンス鎖」は,「センス鎖」と相補的な配列を含む。

[0065]

50

20

30

30

40

50

本願で用いる,ウイルスの「正鎖ゲノム」は,RNAまたはDNAにかかわらず,一本鎖のゲノムであり,ウイルスのポリペプチドをコードする。正鎖RNAウイルスの例としては,トガウイルス科ウイルス(Togaviridae),コロナウイルス科ウイルス(Coronaviridae),レトロウイルス科ウイルス (Retroviridae),ピコルナウイルス科ウイルス(Picorna・viridae),およびカリチウイルス科ウイルス(Caliciviridae)がある。また,フラビウイルス科ウイルス(Flaviviridae)も含まれるが,これは以前にはトガウイルス科に分類されていた〔フィールドとナイプの文献(1986年)を参照されたい〕。

[0066]

本願で用いる「抗体を含有する身体成分」は、問題の抗体の起源である個体の身体の成分を意味する。抗体を含有する身体成分は、当該技術分野で公知であり、例えば、血漿、血清、脊髄液、リンパ液、呼吸器官と腸管と尿生殖器管の外側部分、淚、唾液、乳、白血球、および骨髄腫細胞が含まれるが、これに限定されるものではない。

[0067]

本願で用いる「精製されたHCV」は,ウイルスが通常関連する細胞構成要素から単離された,および感染組織中に存在する他の種のウイルスから単離されたHCV調製物を意味する。ウイルスを単離する技術は,当業者には公知であり,例えば,遠心分離法およびアフィニティークロマトグラフィーが含まれるが,精製HCVの調製方法については後述する。

[0068]

本願で用いる「HCV粒子」という用語には,全ビリオンおよびビリオン形成時に中間体となる粒子が包含される。HCV粒子は,一般に,HCV核酸に関連する1つまたはそれ以上のHCVタンパクを有する。

[0069]

本願で用いる「プローブ」という用語は、このプローブにおける少なくとも 1 つの配列が標的領域の配列に対して相補性を有するので、この標的領域の配列とハイブリッド構築物を形成するポリヌクレオチドを意味する。しかし、このプローブは、ポリメラーゼ鎖反応のプライマーとして使用される配列に相補的な配列を含まない。

[0070]

本願で用いる「標的領域」という用語は、増幅および / または検出されるべき核酸の領域を意味する。

[0071]

本願で用いる,HCV RNAを含む「ウイルスRNA」という用語は,ウイルスゲノム,その断片,その転写物,およびそれに由来する変異配列由来のRNAを意味する。本願で用いる「生物学的試料」は,個体から単離された組織または体液の試料を意味し,それには,例えば血漿,血清,脊髄液,リンパ液,皮膚と呼吸器官と腸管と尿生殖器官の外側部分,淚,唾液,乳,血液細胞,腫瘍,器官,およびインビトロでの細胞培養構成物(細胞培養培地で細胞を増殖させて得られる馴化培地,ウイルス感染したと推定される細胞,組換え細胞,および細胞成分を包含するが,それに限定されない。

[0 0 7 2]

II.発明の構成

本発明の実施においては、特に指示されない限り、当該分野の技術範囲内にある分子生物学、微生物学、組換えDNA、および免疫学における従来の手法が採用される。このような手法は、文献中に詳しく説明されている。例えば、次の文献を参照されたい:Maniatis、FitschおよびSambrook、MOLECULAR CLONING;A LABORATORY MANUAL(1982);DNA CLONING 「巻およびII巻(D.N Glover編集、1985);OLIGONUCLEOTIDESYNTHESIS(M.J.Gait 編集、1984);NUCLEIC A

30

50

n s 編集 , 1 9 8 4) ; T R A N S C R I P T I O N A N D T R A N S L A T I O N (B . D . H a m e s および S . J . H i g g i n s 編集 , 1 9 8 4) ; A N I M A L C E L L C U L T U R E (R . I . F r e s h n e y 編集 , 1 9 8 6) ; I M M O B I L I Z E D C E L L S A N D E N Z Y M E S (I R L P r e s s , 1 9 8 6) ; B . P e r b a 1 , A P R A C T I C A L G U I D E T O M O L E C U L A R C L O N I N G (1 9 8 4) ; M E T H O D S I N E N Z Y M O L O G Y の シ リ ー ズ (A c a d e m i c P r e s s , I n c .) ; G E N E T R A N S F E R V E C T O R S F O R M A M M A L I A N C E L L S (J . H . M i l l e r および M . P . C a l o s 編集 , 1 9 8 7 , C o l d S p r i n g H a r b o r L a b o r a t o r y) ; M e t h o d s i n E n z y m o l o g y V o l . 1 5 4 および V o l . 1 5 5 (それぞれ W u および G r o s s m a n ; W u 編集) , M a y e r および W a l k e r 編集 (1 9 8 7) ; I M M U N O C H E M I C A L M E T H O D S I N C E L L A N D M O L E C U L A R B I O L O G Y (A c a d e m i c P r e s s , L o n d o n) , S c o p e s , (1 9 8 7) ;

PROTEINPURIFICATION: PRINCIPLES AND PRACTICE, Second Edition(Springer-Verlag, N.Y.), およびHANDBOOKOF EXPERIMENTAL IMMUNOLOGY, I~IV巻(D.M.WeirおよびC.C.Blackwell編, 1986)。ここで述べられる前出および後述の全ての特許,特許出願および刊行物は参考文献としてここに取り入れられている。

[0073]

[0074]

[0075]

さらに,ここに記載された新しいcDNA配列は,HCVゲノムをより特徴づけること

20

30

40

50

を可能にする。これらの配列から得られたポリヌクレオチドプローブおよびプライマーは, c D N A ライブラリーに存在する配列を増幅するのに,および / または重複している付加的な c D N A 配列について c D N A ライブラリーをスクリーニングするために用いられ得る。この c D N A 配列はさらに重複している別の配列を得るためにも用いられ得る。以下に述べるように,および欧州特許出願公開第318,216号において述べられているように,H C V ゲノムは,大きいポリタンパクをコードする大きいオープンリーディングフレーム(O R F)から主としてなる R N A であるようである。

[0076]

[0077]

上記のことに加えて,以下に与えられている情報により,付加的なHCV株あるいは単離体の同定が行われる。付加的なHCV株あるいは単離体の単離および特徴付けは,ウイルス分子および/またはウイルスRNAを含む身体成分から核酸を単離し,後述のHCV CDNAプローブに基づくポリヌクレオチドプローブを使用してCDNAライブラリーを作成し,後述のHCV CDNA配列を含むクローンについてライブラリーをスクリーニングし,そして新しい単離体からのHCV CDNAを後述のCDNAと比較することがしより,達成され得る。そこにあるいはウイルスゲノム内にコードされたポリペプチドは、上記したポリペプチドおよび抗体を使用して,免疫学的交差反応についてモニターされ得る。HCVのパラメーターに適合する株および単離体は,上記の定義部分に記載されているように,容易に同定することができる。ここに与えられている情報に基づき,HCV株を同定する他の方法は,当業者に明らかである。

[0 0 7 8]

H C V c D N A 配列の単離

[0079]

30

40

50

分野で公知であり,これらの方法のいくつかは以下の実施例に記載されている。配列の単離は合成ポリヌクレオチドプローブを使用してライブラリーをスクリーニングすることによって行われた。その配列は既知のHCV_cDNA配列の5,領域および3,領域から誘導された。cDNA配列を得るための方法の記述は,歴史的に最も興味深い。得られた配列(およびその相補配列)は,ここに与えられており,その配列あるいはその部分的な配列は,合成法を用いて,あるいは合成法とここに記載したのと同様の方法を用いた部分配列を得る方法とを組み合わせて調製され得る。

[0080]

ウイルス性ポリペプチドおよび断片の調製

HCV cDNA配列あるいはそれらに由来するヌクレオチド配列(この配列のセグメ ントおよび修飾配列を含む)を利用することにより、いずれかの鎖にコードされているポ リペプチドの抗原的に活性な領域をコードする発現ベクターの構築が可能となる。これら の抗原的に活性な領域は,コートまたはエンベロープ(外被)抗原,あるいはコア抗原, または非構造的な抗原由来であり得、それには例えば、ポリヌクレオチド結合タンパク、 ポリヌクレオチドポリメラーゼ,およびウイルス粒子の複製および / または構築 (a s s e m b l y) に必要とされる他のウイルス性タンパクが包含される。所望のポリペプチド をコードする断片は,従来の制限消化法を用いて,あるいは合成法により,cDNAクロ ーンから誘導され,例えば - ガラクトシダーゼあるいはスーパーオキサイドジスムター ゼ(SOD)(好ましくは,SOD)のような融合配列の一部を有するベクター中に連結 される。SODの融合配列を有するポリペプチドの生産に有用な方法およびベクターは, 1986年10月1日付でに公開された欧州特許出願公開番号第0196056号に記載 されている。多くのHCVクローンにコードされているSODおよびHCVポリペプチド からなる融合ポリペプチドを発現させるためのベクターは以下の実施例に記載されている 。 どちらのセンス鎖においても,オープンリーディングフレームを有するHCVcDNA の 所 望 部 分 は , 成 熟 タン パ ク あ る い は 融 合 タン パ ク の よ う な 組 換 え ポ リ ペ プ チ ド と し て 得 られる。あるいは,このcDNAにコードされているポリペプチドは,化学合成により与 えられ得る。

[0081]

[0082]

抗原性ポリペプチドの調製および担体との結合

ポリペプチドの抗原性領域は,通常は比較的小さく,代表的には8~10個あるいはそれを下まわる長さのアミノ酸である。5個程度のアミノ酸からなる断片が抗原性領域を特徴付けている。これらのセグメントは,HCV抗原領域に対応している。従って,このHCVのcDNAを基礎として用いると,HCVポリペプチドの短いセグメントをコードするDNAを,融合タンパクとして,あるいは単離ポリペプチドとして,組換え手法により発現させることができる。さらに,短いアミノ酸配列は,化学合成によって都合よく得ることができる。合成ポリペプチドが正しいエピトープを与えるように正しく形成されてい

30

40

50

るが,小さすぎて免疫原性がない場合には,このポリペプチドを,適当な担体に結合させればよい。

[0083]

このような結合を得るための多くの方法が当該分野で公知であり,それには,Pier ceCompany,Rockford,Illinoisから入手されるN - スクシン イミジル・3.(2.ピリジルチオ)プロピオネート(SPDP)およびスクシンイミジ ル 4 - (N - マレイミドメチル)シクロヘキサン - 1 - カルボキシレート(S M C C)を 用いてジスルフィド結合を形成する方法が包含される(このペプチドがスルフヒドリル基 を欠いていれば,システイン残基を付加することにより,この基が与えられ得る)。これ らの試薬は,その試薬自身と,一方のタンパクのペプチドシステイン残基との間のジスル フィド結合を形成し,かつリジンの ・アミノあるいは他方の他の遊離アミノ基によるア ミド結合を形成する。このような様々なジスルフィド/アミド形成試薬は公知である。例 えば , I m m u n . R e v . (1 9 8 2) 6 2 : 1 8 5 を参照されたい。他の二官能性カ ップリング試薬は,ジスルフィド結合よりむしろチオエーテルを形成する。これらのチオ エーテル形成試薬の多くは市販されており,それには6-マレイミドカプロン酸,2-ブ ロモ酢酸, 2 - ヨード酢酸, 4 - (N - マレイミドメチル)シクロヘキサン - 1 - カルボ ン酸などの反応性エステルが包含される。これらのカルボキシル基は,そのカルボキシル 基とコハク酸イミドとを,あるいは1-ヒドロキシル-2-二トロ-4-スルホン酸ナト リウム塩とを組み合わせることによって活性化され得る。抗原を結合する付加的な方法は 欧州特許出願公開第259,149号に記載されたロタウイルス/「結合ペプチド」シス テムを使用しており,その開示内容は参照としてここに記載されている。上に列挙したも のは、それが全てであることを意味せず、列挙した化合物の修飾物もまた明らかに用いら れ得る。

[0084]

担体としては、それ自身が宿主に対して有害な抗体の生産を誘導しないものであれば、いずれの担体も用いられ得る。適当な担体は、典型的には、大きく、ゆっくり代謝される高分子物質であり、それには例えば、タンパク;ラテックス機能付与セファロース、アガロース、セルロース・セルロースビーズなどの多糖体;ポリグルタミン酸、ポリリジンなどのような重合アミノ酸;アミノ酸共重合体;および不活性ウイルス粒子がある。特に有用なタンパク基質には、血清アルブミン、キーホールリンペットへモシアニン、免疫グロブリン分子、チログロブリン、卵アルブミン、テタヌス毒素、および当業者に公知の他のタンパクがある。

[0085]

[0086]

切形のHCV配列を有するポリペプチドのサイズは,非常に様々であり,最大サイズは 重要ではないが,最小サイズはHCVエピトープを与えるのに充分なサイズの配列である

。便宜的には,最大サイズは,通常,所望のHCVエピトープと,もしあるなら異種配列 の機能とを与えるのに必要とされるサイズを実質的に越えることはない。典型的には,切 形のHCVアミノ酸配列は約5~約100の範囲内のアミノ酸長になる。しかし,さらに 典型的には,HCV配列は,最大約50のアミノ酸長になり,最大約30のアミノ酸長が 好ましい。通常,少なくとも約10,12,あるいは15個のアミノ酸,最大約20~2 5個のアミノ酸からなる H C V 配列を選択するのが望ましい。

[0 0 8 7] エピトープを有する切形のHCVアミノ酸配列は多くの方法で同定され得る。例えば, 全ウイルスタンパク配列は全タンパク配列を互いに補完する一連の短かいペプチドを調製 することによってスクリーニングされ得る。 HCVポリタンパク領域を抗原性によってス クリーニングする例が後に示されている。さらに,例えば100merのポリペプチドか ら始めることにより、所望の反応性を示すエピトープの存在について各ポリペプチドを調 ベ,次いで,問題のエピトープの位置を決定するために,同定された100mer由来の 次第に小さくなり重複している断片を調べることは通常の操作である。免疫学的検定法に おいて,このようなペプチドをスクリーニングすることは,当該分野の技術範囲内である 。タンパク配列のコンピュータ分析を行って,可能性のあるエピトープを同定し,次いで スクリーニング用の同定領域を含むオリゴヌクレオチドを調製することも知られている。 このようなHCVアミノ酸配列のコンピュータ分析は図43~図48に示されている。こ の図において,親水性/疎水性は,抗原指数の上部に示されている。アミノ酸は,図27 ~図36に示すように,開始MET(1位)から番号付けされている。このような抗原性 のコンピューター分析により,必ずしも実際に存在しているエピトープを同定することは できず,エピトープを有しているものとしてタンパク領域を間違って同定することも有り 得ることは、当業者により認められている。

[0088]

有用で有り得るHCVアミノ酸配列の例は,クローン5-1-1,81,CA74a, 35f, 279a, C36, C33b, CA290a, C8f, C12f, 14c, 15 e, C 2 5 c, C 3 3 c, C 3 3 f, 3 3 g, C 3 9 c, C 4 0 b, C A 1 6 7 b からな る発現ベクターから発現されるものであり,以下に説明されている。ここに記載されてい るように、有用で有り得るHCVアミノ酸配列の他の例については、以下で説明する。こ れらのペプチドは、1つのエピトープを必ずしも正確に位置づけるとは限らないし、免疫 原性ではないHCV配列を含有し得ると理解されるべきである。この配列の免疫原性を有 さないこれらの部分は,上記のように従来の方法を使用して特定され,記載した配列から 削除され得る。さらに,エピトープを含むかあるいは免疫原性を有する付加的な切形のH CVアミノ酸配列は,上記のように同定され得る。以下の配列はアミノ酸番号(すなわち 「 AAn」)によって与えられる。ここで,図27~図36に示すように,nはアミノ 酸番号である:

AA1-AA25; AA1-AA50; AA1-AA84; AA9-AA177;

A A 1 - A A 1 0 ; A A 5 - A A 2 0 ; A A 2 0 - A A 2 5 ;

A A 3 5 - A A 4 5 ; A A 5 0 - A A 1 0 0 ; A A 4 0 - A A 9 0 ; A A 4 5 - A A

65; AA65-AA75; AA80-AA90;

AA99-AA120; AA95-AA110; AA105-AA120; AA10

0 - A A 1 5 0 ; A A 1 5 0 - A A 2 0 0 ;

AA155-AA170; AA190-AA210; A A 2 O O - A A 2 5 O ;

2 2 0 - A A 2 4 0 ; A A 2 4 5 - A A 2 6 5 ;

A A 2 5 0 - A A 3 0 0 ; A A 2 9 0 - A A 3 3 0 ; AA290-305; AA30

0 - A A 3 5 0 ; A A 3 1 0 - A A 3 3 0 ;

A A 3 5 0 - A A 4 0 0 ; A A 3 8 0 - A A 3 9 5 ; A A 4 0 5 - A A 4 9 5 ;

400-AA450; AA405-AA415;

A A 4 1 5 - A A 4 2 5 ; A A 4 2 5 - A A 4 3 5 ; A A 4 3 7 - A A 5 8 2 ; A A

450-AA500; AA440-AA460;

10

20

30

40

```
A A 4 6 0 - A A 4 7 0 ; A A 4 7 5 - A A 4 9 5 ;
                                           A A 5 0 0 - A A 5 5 0 ;
                                                                  A A
511-AA690; AA515-AA550;
A A 5 5 0 - A A 6 0 0 ; A A 5 5 0 - A A 6 2 5 ;
                                           A A 5 7 5 - A A 6 0 5 ;
                                                                  A A
585-AA600; AA600-AA650;
AA600-AA625; AA635-AA665;
                                           A A 6 5 0 - A A 7 0 0 ;
                                                                  A A
645-AA680;
                  AA700-AA750;
A A 7 0 0 - A A 7 2 5 ; A A 7 0 0 - A A 7 5 0 ;
                                           A A 7 2 5 - A A 7 7 5 ;
                                                                  A A
770-AA790;
                  A A 7 5 0 - A A 8 0 0 ;
A A 8 O O - A A 8 1 5 ; A A 8 2 5 - A A 8 5 O ;
                                           AA850-AA875;
                                                                  A A
800-AA850; AA920-AA990;
                                                                        10
AA850-AA900; AA920-AA945;
                                           AA940-AA965;
                                                                  A
970-AA990; AA950-AA1000;
A A 1 0 0 0 - A A 1 0 6 0 ; A A 1 0 0 0 - A A 1 0 2 5 ; A A 1 0 0 0 - A A 1 0
      A A 1 0 2 5 - A A 1 0 4 0 ;
A A 1 0 4 0 - A A 1 0 5 5 ; A A 1 0 7 5 - A A 1 1 7 5 ;
                                                  A A 1 0 5 0 - A A 1 2
      AA1070-AA1100;
A A 1 1 0 0 - A A 1 1 3 0 ; A A 1 1 4 0 - A A 1 1 6 5 ;
                                                  A A 1 1 9 2 - A A 1 4
      A A 1 1 9 5 - A A 1 2 5 0 ;
57;
A A 1 2 0 0 - A A 1 2 2 5 ; A A 1 2 2 5 - A A 1 2 5 0 ;
                                                  A A 1 2 5 0 - A A 1 3
      A A 1 2 6 0 - A A 1 3 1 0 ;
                                                                        20
A A 1 2 6 0 - A A 1 2 8 0 ; A A 1 2 6 6 - A A 1 4 2 8 ;
                                                  A A 1 3 0 0 - A A 1 3
      A A 1 2 9 0 - A A 1 3 1 0 ;
A A 1 3 1 0 - A A 1 3 4 0 ; A A 1 3 4 5 - A A 1 4 0 5 ;
                                                  A A 1 3 4 5 - A A 1 3
      AA1350-AA1400;
A A 1 3 6 5 - A A 1 3 8 0 ; A A 1 3 8 0 - A A 1 4 0 5 ;
                                                  A A 1 4 0 0 - A A 1 4
      AA1450 - AA1500;
AA1460 - AA1475; AA1475 - AA1515;
                                                 A A 1 4 7 5 - A A 1 5
      AA1500-AA1550;
A A 1 5 0 0 - A A 1 5 1 5 ; A A 1 5 1 5 - A A 1 5 5 0 ;
                                                  A A 1 5 5 0 - A A 1 6
      AA1545-AA1560;
                                                                        30
AA1569-AA1931; AA1570-AA1590;
                                                  A A 1 5 9 5 - A A 1 6
     AA1590-AA1650;
A A 1 6 1 0 - A A 1 6 4 5 ; A A 1 6 5 0 - A A 1 6 9 0 ;
                                                  A A 1 6 8 5 - A A 1 7
      AA1689 - AA1805;
A A 1 6 9 0 - A A 1 7 2 0 ; A A 1 6 9 4 - A A 1 7 3 5 ; A A 1 7 2 0 - A A 1 7
      AA1745 - AA1770;
A A 1 7 5 0 - A A 1 8 0 0 ; A A 1 7 7 5 - A A 1 8 1 0 ;
                                                  A A 1 7 9 5 - A A 1 8
      AA1850-AA1900;
A A 1 9 0 0 - A A 1 9 5 0 ; A A 1 9 0 0 - A A 1 9 2 0 ;
                                                  A A 1 9 1 6 - A A 2 0
      A A 1 9 2 0 - A A 1 9 4 0 ;
                                                                        40
A A 1 9 4 9 - A A 2 1 2 4 ; A A 1 9 5 0 - A A 2 0 0 0 ;
                                                 A A 1 9 5 0 - A A 1 9
      A A 1 9 8 0 - A A 2 0 0 0;
A A 2 0 0 0 - A A 2 0 5 0 ; A A 2 0 0 5 - A A 2 0 2 5 ;
                                                  A A 2 0 2 0 - A A 2 0
4 5 ;
      A A 2 0 4 5 - A A 2 1 0 0 ;
A A 2 O 4 5 - A A 2 O 7 O ; A A 2 O 5 4 - A A 2 2 2 3 ;
                                                  A A 2 0 7 0 - A A 2 1
      A A 2 1 0 0 - A A 2 1 5 0 ;
A A 2 1 5 0 - A A 2 2 0 0 ; A A 2 2 0 0 - A A 2 2 5 0 ; A A 2 2 0 0 - A A 2 3
      A A 2 2 5 0 - A A 2 3 3 0 ;
A A 2 2 5 5 - A A 2 2 7 0 ; A A 2 2 6 5 - A A 2 2 8 0 ; A A 2 2 8 0 - A A 2 2
90; AA2287-AA2385;
                                                                        50
```

40

50

A A 2 3 0 0 - A A 2 3 5 0 ; A A 2 2 9 0 - A A 2 3 1 0 ; A A 2 3 1 0 - A A 2 3 3 0 ; A A 2 3 3 0 - A A 2 3 5 0 ; A A 2 3 5 0 - A A 2 4 0 0 ; A A 2 3 4 8 - A A 2 4 6 4 ; A A 2 3 4 5 - A A 2 4 15; AA2345-AA2375; A A 2 3 7 0 - A A 2 4 1 0 ; A A 2 3 7 1 - A A 2 5 0 2 ; A A 2 4 0 0 - A A 2 4 50; AA2400-AA2425; A A 2 4 1 5 - A A 2 4 5 0 ; A A 2 4 4 5 - A A 2 5 0 0 ; A A 2 4 4 5 - A A 2 4 75; AA2470-AA2490; A A 2 5 0 0 - A A 2 5 5 0 ; A A 2 5 0 5 - A A 2 5 4 0 ; A A 2 5 3 5 - A A 2 5 60; AA2550-AA2600; 10 A A 2 5 6 0 - A A 2 5 8 0 ; A A 2 6 0 0 - A A 2 6 5 0 ; A A 2 6 0 5 - A A 2 6 20; AA2620-AA2650; A A 2 6 4 0 - A A 2 6 6 0 ; A A 2 6 5 0 - A A 2 7 0 0 ; A A 2 6 5 5 - A A 2 6 70; AA2670-AA2700; A A 2 7 0 0 - A A 2 7 5 0 ; A A 2 7 4 0 - A A 2 7 6 0 ; A A 2 7 5 0 - A A 2 8 00; AA2755-AA2780; A A 2 7 8 0 - A A 2 8 3 0 ; A A 2 7 8 5 - A A 2 8 1 0 ; A A 2 7 9 6 - A A 2 8 86; AA2810-AA2825; A A 2 8 0 0 - A A 2 8 5 0 ; A A 2 8 5 0 - A A 2 9 0 0 ; A A 2 8 5 0 - A A 2 8 65; AA2885-AA2905; 20 A A 2 9 0 0 - A A 2 9 5 0 ; A A 2 9 1 0 - A A 2 9 3 0 ; A A 2 9 2 5 - A A 2 9 50; AA2945-末端(C'末端) 上記HCVアミノ酸配列は,別々のペプチドとして調製されるが,あるいはより大きなペ プチドに合体させ得る。そして,これらのHCVアミノ酸配列については,ここに記載し たような用途が見い出される。切形のHCV配列を有する付加的なポリペプチドは,実施 例に記載されている。

[0089]

HCVの推定ポリタンパクおよびフラビウイルスとの間に見られる関係により,HCV「非構造」(NS)タンパクの推定領域にについて,ある示唆が与えられる。推定フられている。ならにかけったはまた,ポリタンパクの疎水性プロファイルにおいて観察された全体の変動と一致する。フラビウイルスのNS5が,ビリオンポリメラーゼをコードでとかまなびNS1が,動物の効果的なワクチンであると示されている補体結合抗原と3とは確立されている。最近,フラビウイルスとの間には,以下に述べるように,類似性が認められるので,HCVとフラビウイルスとの間には,以下に述べるように,類似性が認められるので,HCVポリタンパクにおいて,対応するタンパク領域の大体の位置および機能を推理することが可能である。例えば,細菌,酵母,昆虫,および脊椎動物のおよび機能を推理することが可能である。例えば,細菌,酵母,昆虫,および脊椎動物の治よび機能を推理することが可能である。例えば,細菌,酵母,昆虫,および脊椎動物の治よび機能をする様々な組換え宿主細胞において,このような領域を有するポリペプチドを発現させることにより,診断,検出,およびワクチンに使用され得る重要な免疫学的試薬が得られるはずである。

[0 0 9 0]

ここに記載されたHCV単離体およびフラビウイルスの推定ポリタンパクの非構造タンパク領域には,ある程度の類似性が見られるが、N末端に向かう推定の構造領域間には,類似性が少ない。この領域では,配列により多くの相違が存在し,さらに,これら2つの領域の疎水性プロファイルには類似性が少ない。このような「相違」は,HCVにおける推定NS1領域のN末端領域に始まり,推定N末端まで延びている。それにもかかわらず,HCVポリタンパク内の推定ヌクレオカプシド(N末端基本領域)およびE(一般的に疎水性の)領域の大体の位置を予想することができる。実施例では,これらの予想は,HCVポリタンパクの疎水性プロファイルに見られる変化と,フラビウイルスタンパクの位置および特性に関する知識とに基づいている。このような予想から,有用な免疫学的試薬

20

30

40

50

となり得るHCVポリタンパクの大体の領域を同定し得る。例えば,フラビノウイルスのEおよびNS1タンパクが保護ワクチンとして効力があることが知られている。ここに記載されたHCV単離体において抗原性を有することが示されている領域,例えば推定NS3,C,およびNS5などの領域だけでなく,これらの領域も,診断試薬を与えるはずである。さらに,ウイルスにコードされた酵素の位置付けおよび発現により,抗ウイルス酵素阻害剤,すなわち,例えば,酵素自体との相互作用により酵素活性を妨げる阻害剤,あるいは酵素の発現を妨げ得る物質(例えば,アンチセンスRNA,または発現を妨げ得る他の薬剤)を評価し得る。

[0091]

HCVエピトープを有するハイブリッド粒子免疫原の調製

HCVのエピトープの免疫原性は,また,これらのエピトープを,粒子形成タンパク(例えば,B型肝炎の表面抗原に関連するタンパク)と融合もしくは結合させるように,哺乳動物系あるいは酵母系で調製することによって増強される。NANBVエピトープが粒子形成タンパクのコード配列に直接結合している構築物は,HCVエピトープに関して免疫原性のハイブリッドを産生する。さらに,調製したすべてのベクターは,HBVに特異的なエピトープを有し,例えばプレSペプチドのように様々な度合の免疫原性を有するエピトープを含む。このように,粒子形成タンパクから構築され,HCV配列を有する粒子は,HCVおよびHBVに関して免疫原性である。

[0092]

肝炎の表面抗原(HBSAg)は、<u>S.cerevisiae</u>(Valenzuelaら(1982)),および例えば哺乳動物細胞(Valenzuela,P.ら(1984))において形成され,結合して粒子となることが示されている。このような粒子の形成は,単量体のサブユニットの免疫原性を増強することが示されている。これらの構築物は,また,HBSAgの免疫的に優性なエピトープを有し,それはプレ表面(プレS)領域の55アミノ酸を含有する。Neurathら(1984)。酵母中で発現され得るプレS・HBSAg粒子の構築物は,欧州特許出願公開第174,444号(1986年3月19日付で公開)に開示されている。酵母での発現のための異種ウイルス配列を有するハイブリッドは,欧州特許出願公開第175,261号(1966年3月26日付で公開)に開示されている。これらの構築物もまた,SV40のジヒドロ葉酸還元酵素ベクターを用いてチャイニーズハムスター卵巣(CHO)細胞のような哺乳動物細胞中で発現させることができる(Michelles(1984))。

[0093]

さらに、粒子形成タンパクをコードする配列の一部は、HCVエピトープをコードするコドンで置き換えられ得る。このような置換えよって、酵母あるいは哺乳動物中で免疫原性粒子を形成する単位の集合を媒介するのに必要とされない領域を削除することができる。このようにして、HCVエピトープと競合する部分から付加的なHBV抗原性部位が除去される。

[0094]

ワクチンの調製

ワクチンは,実施例に記載されている c D N A 配列を含む,H C V c D N A 由来の免疫原性ポリペプチドの 1 種あるいはそれ以上から調製され得る。 H C V とフラビウイルスとの間に見られる相同性は,ワクチンとして最も有効であり得るポリペプチドと,それらがコードされているゲノム領域とに関する情報を提供する。フラビウイルスゲノムの一般的な構造は,Riceら(1986)により考察されている。フラビウイルスのゲノムR N A は,唯一のウイルス特異的m R N A 種であると考えられ,これは,3 つのウイルス構造タンパク(つまり,C,M,およびE),2 つの大きい非構造タンパク(N S 4 および N S 5),およびより小さい非構造タンパクの複合対に翻訳される。フラビウイルスの主要な中和エピトープがE(外被)タンパクに属することは公知である(R o e h r i g (1986))。このように,ワクチンは,H C V E のエピトープを有する組換えポリペプチドを含有し得る。これらのポリペプチドは,細菌,酵母,または哺乳動物細胞におい

て発現されるか,あるいはウイルス調製物から単離され得る。他の構造タンパクが,保護抗HCV抗体を生じるエピトープを有し得ることも予期される。このように,E,C,およびMのエピトープを有するポリペプチドもまた,単独で,あるいは組み合わせて,HCVワクチンに用いられ得る。

[0095]

上記に加えて,NS1(非構造タンパク1)で免疫すると黄熱病から保護されることが示されている(Schlesingerら(1986))。たとえ,その免疫により中和抗体が生じないとしても,このことは正しい。このように,特に,このタンパクはフラビウイルスの間で高い割合で保存されるようなので,HCV NS1もまた,HCVの感染に対して保護作用を有するようである。さらに,たとえ非構造タンパクが中和抗体の産生を行わないとしても,非構造タンパクがウイルスの病原性に対して保護作用を与え得ることもまた示される。

[0096]

HCV ORFの様々な領域に及ぶクローン化されたHCVcDNAから発現されたポリペプチドの免疫原性に関して実施例で与えられた情報により,ワクチンへの用途に関して予想することもできる。

[0097]

上記のことから,HCVに対する多価ワクチンは,1あるいはそれ以上の構造タンパクに由来する1あるいはそれ以上のエピトープ,および/または1あるいはそれ以上の非構造タンパクに由来する1あるいはそれ以上のエピトープを含有し得る。これらのワクチンは,例えば,組換えHCVポリペプチド,および/またはビリオンから単離されたポリペプチドを含有し得る。特に,ワクチンは,1つあるいはそれ以上の次のタンパク:E,NS1,C,NS2,NS3,NS4およびNS5,あるいはそれから誘導されたサブユニット抗原を含有すると考えられる。特に好ましいのは,Eおよび/またはNS1,あるいはそのサブユニットを含有するワクチンである。

[0098]

活性成分として免疫原性のポリペプチドを含有するワクチンの調製は,当業者に公知で ある。代表的には,このようなワクチンは,液体溶液あるいは懸濁液のいずれかとして, 注射可能なように調製される。注射前に液体に溶解あるいは懸濁させるのに適当な固形物 の形態としても調製され得る。この調製物はまた,乳化することもでき,あるいは,リポ ソームにカプセル化されたタンパクであってもよい。この活性免疫原性成分は,薬学的に 受容され得る賦形剤であって,この活性成分と適合し得る賦形剤と混合されることが多い 。適当な賦形剤としては,例えば,水,生理食塩水,デキストロース,グリセロール,エ タノールなど,およびこれらの組み合わせがある。さらに必要に応じて,このワクチンに は,少量の補助物質が含有され得る。このような補助物質としては,補湿剤あるいは乳化 剤 , p H 緩 衝 剤 , お よ び / ま た は ワ ク チ ン の 効 果 を 増 強 す る ア ジ ュ バ ン ト が あ る 。 効 果 的 なアジュバントの例としては,以下の物質が挙げられるが,これらには限定されない:水 酸化アルミニウム,N-アセチル-ムラミル-L-スレオニル-D-イソグルタミン(t h r - M D P) , N - アセチル - ノル - ムラミル - L - アラニル - D - イソグルタミン(C G P 1 1 6 3 7 , n o r - M D P と呼ばれる),N - アセチルムラミル - L - アラニル - D - イソグルタミニル - L - アラニン - 2 - (1 ' - 2 ' - ジパルミトイル - s n - グ TP-PEと呼ばれる),およびRIBI。ここで,RIBIは,細菌から抽出された3 つ の 成 分 , す な わ ち モ ノ ホ ス ホ リ ル 脂 質 A , ト レ ハ ロ ー ス ジ ミ コ ー ル 酸 , お よ び 細 胞 壁 の 骨格成分(MPL+TDM+CWS)を,2%スクアレン/トゥイーン(Tween)8 0 エマルジョン中に含んでいる。アジュバントの効力は、HCV抗原配列を有する免疫原 性ポリペプチドに対する抗体の量を測定することによって決定され得る。なお,この抗体 は,種々のアジュバントを含有する,ワクチン中に存在するこのポリペプチドを投与する ことにより生じる。

[0099]

50

40

10

20

20

30

40

50

このワクチンは,通常,非経口的に注射で投与され,その形態は,例えば,皮下注射であっても筋肉注射であってもよい。他の投与形態に適当な処方物には座薬があり,場合によっては経口処方物もある。座薬に用いられる従来のバインダーおよび担体には,例えばポリアルキレングリコールあるいはトリグリセリドがある。このような座薬は,活性成分を 0 . 5 % ~ 1 0 % ,好ましくは 1 % ~ 2 % の範囲で含有する混合物から形成される。経口処方物には,通常使用される賦形剤が含有される。このような賦形剤には,例えば,製剤グレードのマンニトール,ラクトース,デンプン,ステアリン酸マグネシウム,サッカリンナトリウム,セルロース,炭酸マグネシウムなどがある。これらの組成物は,溶液,懸濁液,錠剤,丸剤,カプセル剤,放出を維持するような処方物,あるいは粉剤の形態を有し,活性成分を 1 0 % ~ 9 5 % ,好ましくは 2 5 % ~ 7 0 % の割合で含有する。

[0100]

このタンパクは,そのままで,あるいは塩の形で,ワクチンに処方され得る。薬学的に受容され得る塩には,酸付加塩(ペプチドの遊離のアミノ基により形成される)が包含され,この塩は,無機酸(例えば,塩酸あるいはリン酸)あるいは有機酸(例えば酢酸,シュウ酸,酒石酸,マレイン酸など)を用いて形成される。遊離のカルボキシル基により形成される塩は,無機塩基(例えば,水酸化ナトリウム,水酸化カリウム,アンモニア,水酸化カルシウム,あるいは水酸化第二鉄)および有機塩基(例えば,イソプロピルアミン,トリメチルアミン,2・エチルアミノエタノール,ヒスチジン,プロカインなど)からも誘導され得る。

[0101]

ワクチンの用量および投与

ワクチンは,投薬処方に適合する様式で,そして予防効果および/または治療効果が得られる量で,投与される。投与される量は,一般に1回の投与あたり抗原が5μg ~ 250μgの範囲内であり,この投与量は処置される個体,この個体の免疫系が抗体を合成する能力,および所望する保護の程度に依存する。投与に必要とされる活性成分の正確な量は,医師の判断によるものであり,各個体に特有であり得る。

[0102]

ワクチンは,1回の投与形式で与えられるか,あるいは好ましくは複数回の投与形式で与えられ得る。複数回の投与形式では,最初のワクチン投与は1~10回に分けて行なわれ,以後の投与は引き続き免疫応答を維持もしくは強化するのに必要な時間間隔で,例えば第2回目の投与では1~4ヶ月で行われ,そして必要であれば数ヶ月後に引き続き投与が行われる。この投与形態はまた,少なくとも部分的には,個人の必要量によって決定され,医師の判断による。

[0 1 0 3]

さらに,免疫原性のHCV抗原を有するワクチンは,他の免疫調節因子,例えば免疫グロブリンと組み合わせて投与され得る。

[0104]

H C V エピトープに対する抗体の調製

上述のようにして調製される免疫原性ポリペプチドは、ポリクローナルおよびモノクローナルの両抗体を生産するのに用いられる。ポリクローナル抗体が所望であれば、HCVエピトープを有する免疫原性ポリペプチドを用いて、選択された哺乳動物(例えば、マウス、ウサギ、ウマなど)を免疫する。免疫された動物から得られた血清を回収する。知の方法によって処理する。HCVエピトープに対するポリクローナル抗体は免疫有する血清が他の抗原に対する抗体を含んでいる場合には、このポリクローナル抗体は免疫を高には、加工処理する方法は、当該分野では公知であり、例えばMayerおよびWalker(1987)を参照されたい。あるいは、ポリクローナル抗体は、あらかじめHCVに感染させておいた哺乳動物から単離され得る。感染個体の血清から得られるHCVエピトープに対する抗体を精製する方法の例は、欧州特許出願公開第318、216号に述べられている、これは、アフィニティークロマトグラフィーに基づき、SODとcDNAク

20

30

40

50

(33)

ローン 5 - 1 - 1 内にコードされたポリペプチドとの融合ポリペプチドを利用する方法である。

[0105]

HCVエピトープに対するモノクローナル抗体もまた,当業者により容易に生産され得る。ハイブリドーマによってモノクローナル抗体を調製する一般的な方法は公知である。永久増殖性の抗体産生細胞系は細胞融合によって調製することができ,さらに,腫瘍原性DNAを用いたBリンパ球の直接形質転換,あるいはEpstein-Barrウイルスを用いたトランスフェクションのような他の方法によってもまた調製することができる。例えば,M.Schreierら(1980);Hammerlingら(1981);Kennettら(1980)の文献を参照されたい。さらに,米国特許第4,341,761号;第4,339,121号;第4,427,783号;第4,4441,887号;第4,466,917号;第4,472,500号;第4,491,632号および第4,493,890号もまた,参照されたい。HCVエピトープに対して調製されたモノクローナル抗体のパネルは,種々の目的(例えば,アイソタイプ,エピトープ親和性などりに応じてスクリーニングされ得る。

[0106]

HCVエピトープに対して形成されたモノクローナル抗体およびポリクローナル抗体は 、いずれも特に診断において有用であり、中和抗体は受動免疫治療に有用である。特にモ ノクローナル抗体は抗イディオタイプの抗体を生じさせるために用いられ得る。

[0107]

抗イディオタイプ抗体は、それに対して保護が望まれる感染因子の抗原の「内的イメージ(internal image)」を伴う免疫グロブリンである。例えば、Nisonoff,A.ら(1981)およびDreesmanら(1985)を参照されたい。【0108】

抗イディオタイプの抗体を生じさせるための方法は,当該分野で公知である。例えば,Grzych(1985),MacNamaraら(1984),およびUytdehaagら(1985)を参照されたい。これらの抗イディオタイプ抗体は,NANBHの処置および/または診断に有用であり,またHCV抗原の免疫原性領域を解明するのにも有用である。

[0109]

HCVエピトープに対する様々なタイプの抗体を調製し得ることも,当業者によって認められる。本願で用いる「抗体」という用語は,ポリペプチド,あるいは少なくとも1つの抗体結合部位を有するポリペプチド群を意味する。「抗体結合部位」あるいは「抗体結合領域」は,抗原のエピトープの特徴を相補する内部表面形状および電荷分布を有する3次元結合空間を形成するために,抗体分子の可変領域の折りたたみから形成され,抗原との免疫学的な反応を可能にする。抗体結合部位は,抗体結合に寄与する超可変ループを形成する,重鎖領域および/または軽鎖領域(それぞれ,VHおよびVL)から形成され得る。「抗体」という用語には,例えば脊椎動物抗体,ハイブリッド抗体,キメラ抗体,変容抗体,一価抗体,Fabタンパク,および単一領域抗体が含まれる。

[0110]

「単一領域抗体」(dAb)はVH領域を有する抗体であって,指定の抗原と免疫学的に反応する。dABはVL領域を含有していないが,抗体に存在していることが知られている他の抗原結合領域,例えば 領域および 領域を有し得る。dABを調製する方法は当技術分野で公知である。例えば,Wardら(1989)を参照されたい。

[0111]

抗体は、また、他の既知の抗体結合領域だけでなく、VH領域およびVL領域を有し得る。これらのタイプの抗体およびそれらを調製する方法の例は当技術分野で公知(例えば、米国特許第4,816,467号を参照されたい。この米国特許は、参考文献として、ここに採用される。)であり、以下のものを包含する。例えば、「脊椎動物の抗体」とは、四量体あるいはその集合体である抗体を意味し、通常「Y」字形に集合し、必ずしも鎖

間に共有結合を有さない軽鎖および重鎖を有する。脊椎動物の抗体では,特定の抗体のあらゆる鎖のアミノ酸配列は,その場で,あるいはインビトロ(例えば,ハイブリドーマにおいて)抗体を産生するリンパ球によって産生されるある抗体に見られる鎖と相同である。脊椎動物の抗体は,典型的には,天然の抗体,例えば精製されたポリクローナル抗体およびモノクローナル抗体を含む。このような抗体を調製する方法の例は以下に述べられている。

[0112]

「ハイブリッド抗体」は,一方の対の重鎖および軽鎖が最初の抗体におけるそれと相同であり,他方の対の重鎖および軽鎖が異なる第 2 の抗体におけるそれと相同であるような抗体である。典型的には,これら二対の各々は,特に,異なる抗原上の異なるエピトープに結合する。これにより,「二価」の性質,すなわち同時に 2 つの抗原を結合する能力が得られる。このようなハイブリッドは,以下に述べるように,キメラ鎖を用いても形成され得る。

[0113]

「キメラ抗体」は、重鎖および/または軽鎖が融合タンパクであるような抗体である。 典型的には,これらの鎖の不変領域はある特定の種および/またはクラスに由来し,可変領域は異なる種および/またはクラスに由来する。源が異なるクラスであろうと,起源の異なる種であろうと,また融合点が可変/不変領域の境界にあろうとなかろうと,重鎖または軽鎖のいずれか,あるいは両方が,異なる源の抗体における配列を凝似した配列の組み合せから構成されるような,いかなる抗体も含まれる。従って,不変領域あるいは可変領域のいずれもが既知の抗体配列を凝似していない抗体を調製することもできる。そのため,例えば,可変領域が特定の抗原に対してさらに高い特異的親和性を有する抗体,あるいは不変領域が増強された補体結合を引き出し得る抗体を構築するか,あるいは特定の不変領域が有する性質を改善することが可能になる。

[0114]

他の例は「変容抗体」であり,これは天然に存在する脊椎動物抗体のアミノ酸配列が変化しているような抗体を意味する。組換えDNA技術を利用すれば,所望の特性が得られるように抗体を再設計し得る。可能な変化は多く,1つまたはそれ以上のアミノ酸を変化させることから,1つの領域(例えば,不変領域)を完全に再設計するに至るまで様々である。一般に所望の細胞過程特性を得るための不変領域における変化は,例えば,補体結合,膜との相互作用,および他のエフェクター機能である。可変領域における変化は,抗原結合特性を変化させるようになされ得る。抗体はまた,特定の細胞あるいは組織部位への分子あるいは物質の特異的な供給を助けるように設計され得る。所望の変化は,分子生物学で公知の方法,例えば組換え技術,部位特異的変異処理などによって起こし得る。

[0115]

さらに他の例は,「一価抗体」であり,これは第2の重鎖のFc領域(すなわち,不変領域)に結合した重鎖/軽鎖二量体を含む集合体である。このタイプの抗体は抗原変質を免れる。例えば,Glennieら(1982)を参照されたい。

[0116]

抗体の定義内には,抗体の「Fab」フラグメントも含まれる。「Fab」領域は,重鎖および軽鎖の枝部分を含む配列と大体等価あるいは類似しており,特定の抗原に対する免疫学的な結合を示すとされているが,エフェクターFc部分を欠いているような,重鎖および軽鎖の部分を意味する。「Fab」には,2H鎖および2L鎖を有する四量体(F(ab)2と呼ばれる)だけでなく,1本の重鎖と1本の軽鎖との集合体(通常,Fab」として知られている)が包含され,それらは指定された抗原あるいは抗原群と選択的に反応し得る。「Fab」抗体は,上記のものに類似したサブセット,すなわち「脊椎動物Fab」,「ハイブリッドFab」,「キメラFab」,および「変容Fab」に分類され得る。抗体の「Fab」フラグメントを調製する方法は,当該技術分野の範囲内で公知であり,例えばタンパク分解,および組換え技術による合成が含まれる。

[0117]

50

20

30

30

50

II.H.診断用オリゴヌクレオチドプローブおよびキット

[0118]

診断用薬としてこのようなプローブを使用するには、血液あるいは血清のような分析されるべき生物学的試料は、必要であれば、そこに含有されている核酸を抽出するために処理される。この試料から得られた核酸は、ゲル電気泳動あるいは他のサイズ分離手段にかけられ得る。あるいは、この核酸試料は、サイズ分離を行うことなくドットブロットされ得る。次に、このプローブは標識化される。プローブを標識するための適当な標識物および方法は、当該技術分野では公知であり、それには例えば、ニックトランスレーションあるいはキナーゼ処理で取り込まれた放射性標識物、ビオチン、螢光プローブ、および化学発光プローブが含まれる。試料から抽出された核酸は、次に、適当な厳密さのハイブリダイゼーション条件下で、標識されたプローブと共に処理され、そして、プローブを有するポリヌクレオチドニ本鎖(duplex)が検出される。

[0119]

このプローブは、HCVゲノムに完全に相補的に作成され得る。従って,偽陽性を防ぐために,通常,厳密性の高い条件が望まれる。しかし,プローブが異種性を欠くウイルスゲノム領域と相補性を有する場合のみに,厳密性の高い条件が使用される。ハイブリダイゼーションの厳密さは,ハイブリダイゼーションおよび洗浄工程中の多くの因子(温度,イオン強度,時間の長さおよびホルムアルデヒドの濃度を含む)により決定される。これらの因子は,例えば〔マニアティス(Maniatis,T.)(1982年)〕により概説されている。

[0120]

一般に、このHCVゲノム配列は、感染個体の血清中に比較的低レベル(つまり、1m1あたり約102~103個の対チンパンジー感染用量)で、存在する。このレベルい。そのレイブリダイゼーションアッセイにおいて増幅法を用いる必要があるかもられていることがある。のは、ロージのような方法は当該技術分野では公知である。例えば、EnzomBiochemica1corporationの「Bio-Bridge」システムでは、ロハムプトレオチドレカのようでは、カレオチドレカのようでは、カレオチドレカのようでは、カーブのカーが記述されている。ポリムエテールを付加したプローブは標的となるズクレオチドにカイブリダイズされ、次のような方法のロNAハイブリダイゼーションアッセイが記述されている:1)被分析物を、財子に相補的な単鎖ロNA プローブにアニールする、および2)得られたテール付けオチドに相補的な単鎖ロNA プローブにアニールする、まとのような方法のロNAハイブリダイズでせる。EPA 204510に法では、次のような方法のロNAハイブリダイゼーションアッセイが記述されている。

30

40

50

するポリA配列のような配列を有し、標識された複数の鎖を結合することが可能である。特に望ましい方法では、まず血清中の標的HCV配列が約10,000倍,つまり約106配列/m1となるように、標的HCV配列の増幅が行われる。これは、例えば、サイキ(Saiki)ら(1986)、マリス(Mu11is)、米国特許第4,683,195分の米国特許第4,683,202号により記載によポリメラーゼ鎖反応(PCR)法によって行なわれ得る。この増幅された配列は、ハイブリダイゼーションアッセイ法を用いて検出され得る。このハイブリダイゼーションアッセイ法を用いて発行された欧州特許第317,077号中に記載されている。106/m1のレベルで配列を検出するこのハイブリダイゼーションアは記載されている。106/m1のレベルで配列を検出するこのハイブリダイゼーションで記載されている。標識されたポリヌクレオチドプローブを用いる、適当な溶液相のサンドイッチアッセイ、およびプローブの調製法は、1987年6月16日付で発行された欧州特許出願公開第225,807号に記載されている。

[0121]

このプローブは診断用キット中に組み入れることができる。診断用キットは,プローブ DNAを有し,このプローブDNAは標識されているか,あるいはこのプローブDNAは 標識されておらず,標識用の成分がこのキットの別の容器中に入っている。このキットに はまた,特定のハイブリダイゼーションのプロトコルに必要な他の試薬および材料(例え ば,標準品,およびこのテストを行なうための指示書)が適当に包装されて含まれる。

[0122]

イムノアッセイおよび診断用キット

HCV抗体を含有する血清と免疫的に反応するポリペプチド,およびこれらのポリペプ チドのHCV特異的エピトープに対して生じる抗体は、イムノアッセイにおいて、生物学 的試料におけるHCV抗体の存在,あるいはウイルスおよび/またはウイルス抗原の存在 を検出するために有用である。上記HCV抗体は,例えば,後述の実施例に記載された抗 原スクリーニング法により検出される抗体であり,そして,実施例に記載の単離されたク ローンに由来するか,あるいはこのクローン内にコードされた抗体であり,そしてそれら の複合体である。このイムノアッセイの設計は多くの変更を行うことが可能であり,これ らアッセイの多様性については当該技術分野では既知である。例えば、このイムノアッセ イでは,1種のウイルスエピトープが利用され得る。あるいは,このイムノアッセイには ,これらの源由来のウイルスエピトープの組合せが用いられ得る。これらのエピトープは ,同一のもしくは異なったウイルスポリペプチド由来であり得,そして,それは異なった 組み換えあるいは天然ポリペプチド内に存在し得,もしくはいずれも同一の組換え体ポリ ペプチド内に存在し得る。例えば,ウイルスのエピトープに対する1種のモノクローナル 抗体,あるウイルス抗原のエピトープに対するモノクローナル抗体の組み合わせ,異なる ウイルス抗原に対する複数のモノクローナル抗体,同一のウイルス抗原のエピトープに対 す る ポ リ ク ロ ー ナ ル 抗 体 , あ る い は 異 な る ウ イ ル ス 抗 原 に 対 す る ポ リ ク ロ ー ナ ル 抗 体 が 使 用され得る。プロトコルは,例えば,競合分析法,直接反応タイプ分析法,あるいはサン ドイッチタイプ分析法を基本とすることができる。このプロトコルではまた,例えば,固 体支持体を用いるか,あるいはこのプロトコルは,免疫沈澱法であり得る。ほとんどのア ッセイは標識化抗体あるいはポリペプチドの使用を含む。この標識物には,例えば,螢光 分子,化学発光分子,放射性分子,あるいは色素分子がある。このプローブからのシグナ ルを増幅するアッセイもまた公知である。その例としては,ビオチンおよびアビジンを利 用するアッセイ,および酵素標識および酵素媒介イムノアッセイ(例えば,ELISA アッセイ)がある。

[0123]

30

40

50

c D N A のこれらの部分を発現させることにより検出され得る。さらに,抗原指数および疎水性 / 親水性プロファイルが得られるような研究により,ある領域が抗原性を有する可能性に関する情報が得られる。

[0124]

[0125]

免疫診断に適し,適切に標識された試薬を有するキットは,適切な材料を適当な容器中に包装することによって得られる。この適切な材料には,HCVエピトープを有する本発明のポリペプチド,あるいはHCVエピトープに対する抗体が含まれる。このキットは,アッセイを実施するのに必要な残りの試薬および材料と,さらにアッセイの指示書の適当なセットとを含む。

[0126]

<u>ウイルスゲノムに対する c D N A 由来のプローブを用いた , H C V ゲノム , ビリオンおよびウイルス抗原の他の特性決定</u>

[0127]

[0 1 2 8]

c D N A ライブラリーを構築する方法は、当該技術分野では公知であり、すでに記載し、あるいは後で述べられる。 g t 1 1 内にH C V c D N A ライブラリーを構築する方法は、欧州特許出願公開第 3 1 8 、 2 1 6 号に述べられている。しかし、核酸プローブでスクリーニングするのに有用な c D N A ライブラリーもまた、当該技術分野で公知の他のベクター内、例えば g t 1 0 [ヒューンら(H u y n h e t a l)、1 9 8 5 年

〕内で構築することができる。

[0129]

HCVに対する抗ウイルス剤のスクリーニング

HCVの細胞培養物と動物モデル系とを利用することによって、HCVの複製を阻害する抗ウイルス剤、特に優先的に細胞を生育・増殖させる一方でウイルスの複製を阻害する抗ウイルス剤をスクリーニングすることができる。これらのスクリーニング法は、当業者には知られている。一般に、抗ウイルス剤は、ウイルスの複製を維持する細胞培養系でウイルスの複製を阻害する効果と、動物モデル系での感染性もしくはウイルス病原性を阻害する効果(および低レベルの毒性)について種々の濃度で試験される。

[0130]

[0131]

これらの方法により有効性を試験し得る抗ウイルス剤は,当該技術分野では公知であり,例えば,ウイルスの結合および / または複製に必要なビリオン成分および / または細胞成分と相互作用する物質を含む。典型的な抗ウイルス剤は,例えば,前駆体ポリペプチドの切断に必要なビリオンポリメラーゼおよび / またはプロテアーゼの阻害剤を含み得る。他の抗ウイルス剤は,例えば,抗感受性ポリヌクレオチドなどの,核酸と反応してウイルス複製を妨げる物質を含み得る。

[0132]

アンチセンスポリヌクレオチド分子は、ゲノムまたはRNAの設計された領域に該ポリヌクレオチド分子を特異的にハイズでさせ得る、相補的ヌクレオチド配列を翻訳子でしたよりな合か得、あるいは、「MRNAに結合することにより面翻訳子では、「MRNAに結合することによりを含むらいは、「MRNA内の切断を阻害する分であり得る。さらにそれらは、ウイルスRNAの引き起こている慢性化のよび、大きなのでは複製にしているでである。ならにそれらは、ウイルスの感染性または複製能力あるいは慢性化化の子を含み得る。さらにそれらに必要とされる細胞ポリヌクレオチドに結合しているを増強よび、またはそれらに必要アンチセンスポリヌクレオチに低さいて、日、Aの配列情報に基づいて設計され得る。HCVのアンチセンスポリヌクレオチに低より、NAの配列情報に基づいて設計され得る。サービを対象をであるように設計され得る。このように、それらは、特殊な系、例えばリポソームにより、もしくは遺伝子治療により、送達され得る。さらに、それらは、アナログ、結合タンパク、塩基間の置換もしくは変化した結合を包含し得る。

[0133]

他のタイプの薬剤は,HCVゲノムの重要な制御領域に類似したポリヌクレオチド,およびウイルスの感染性または複製の原因となる系の主要成分との相互作用により治療がな

10

20

30

40

20

30

50

され得るようなポリヌクレオチドに基づいたものであり得る。

[0 1 3 4]

一般的方法

ウイルスからのゲノムの抽出, c D N A ライブラリーの調製とプロービング,クローンの配列決定,発現ベクターの構築,細胞の形質転換,ラジオイムノアッセイおよび E L I S A 測定法のような免疫測定の実施,培地での細胞の培養などに用いられる一般的な方法は,当該技術分野で公知であり,これらの方法を記載した実験室のマニュアルを入手することができる。しかし,一般的な指針として,上記の方法およびこれを実施するのに有用な材料を現在入手できるいくつかの出所を以下に述べる。

[0 1 3 5]

原核および真核の宿主細胞が,指定された宿主に適合する適切な制御配列が用いられた 場合に,所望のコード配列の発現に用いることができる。原核細胞宿主のうち,大腸菌(E.coli)が最も汎用される。原核細胞の発現制御配列には,必要に応じてオペレー ター部分を有するプロモーター,およびリボソーム結合部位が含まれている。原核細胞の 宿主に適合するトランスファーベクターは,通常,例えば次のようなものに由来する。つ まり,アンピシリンおよびテトラサイクリンに対する耐性を与えるオペロンを有するプラ スミドであるpBR322および抗生物質耐性のマーカーを与える配列を有する種々のp UCベクター由来である。これらのマーカーは,適宜選択することによって,好適な形質 転換 細胞 を 得 る の に 利 用 で き る 。 通 常 用 い ら れ る 原 核 細 胞 の 制 御 配 列 に は , ・ ラ ク タ マ ーゼ(ペニシリナーゼ)およびラクトースプロモーター系〔チャンら(C h a n g) , 1 9 7 7 年 〕 ,トリプトファン(trp)プロモーター系〔ゴーデルら(G oeddelet al),1980年〕および 由来PlプロモーターおよびN遺伝子 リボソーム結合部位〔シマタケら(Shimatake et al),1981年〕, およびtrp およびlac UV5プロモーターの配列由来のハイブリッドtacプ ロモーター〔ド ボールら(De Boeret al),1983年〕がある。上記の 系は、特にEcoliに適合する。必要であれば、バシラスもしくはシュードモナス属 の菌株のような他の原核宿主を,対応する制御配列とともに用いてもよい。

[0136]

真核宿主としては,酵母および培養系内の哺乳動物の細胞がある。サッカロミセスセレ ビシエ(Saccharomyces cerevisiae)およびサッカロミセスカ ールスベルゲンシス(<u>Saccharomyces carlsbergensis</u>)が 最も普通に用いられる酵母宿主であり,便利な真菌宿主である。酵母に適合するベクター は,栄養要求突然変異体に原栄養性を与えるかまたは野生型菌株に重金属に対する耐性を 与えることによって成功裏に形質転換された形質転換体を選択することができるようにす るマーカーを保有する。酵母に適合するベクターとしては,2ミクロンの複製起源〔ブロ ーチら(Broach et al),1983年],CEN3およびARS1の組み合 わせ,または確実に複製を行わせる他の手段(例えば,適切なフラグメントを宿主細胞の ゲノムに組込ませるような配列)を採用することができる。酵母ベクターの制御配列は, 当該技術分野で公知であり,解糖酵素合成のプロモーター〔へスら(Hess et 1),1968年;ホーランドら(Holland et al),1978年〕を含み , このようなプロモーターには, 3 - ホスホグリセリン酸キナーゼ〔ハイツマン(Hit zeman),1980年〕に対するプロモーターが含まれる。ターミネーターには,例 えばエノラーゼ遺伝子由来のターミネーター〔ホーランド(Holland),1981 年 〕 が 含 ま れ 得 る 。 特 に 有 用 な 制 御 系 は , グ リ セ ル ア ル デ ヒ ド 3 - リ ン 酸 脱 水 素 酵 素 (G APDH)プロモーターもしくはアルコール脱水素酵素(ADH)調節性プロモーター, GAPDH由来のターミネーター,および分泌が所望の場合には,酵母 因子由来のリー ダー配列を含む系である。さらに,作動可能に連結されている転写調節領域および転写開 始領域は,野生型生物に本来関係しないものであってもよい。これらの系については,欧 州 特 許 出 願 公 開 第 1 2 0 , 5 5 1 号 (1 9 8 4 年 1 0 月 3 日 付 で 公 開) ; 同 第 1 1 6 , 2 0 1 号 (1 9 8 4 年 8 月 2 2 日付で公開) ; および同第 1 6 4 , 5 5 6 号) (1 9 8 5 年

30

40

50

12月18日付で公開)に詳細に記載されており、これらはすべて本発明の出願人によるものであり、本願に引用文献として記載する。

[0137]

[0138]

形質転換は、ポリヌクレオチドを宿主細胞に導入する公知のいずれの方法によっても行なわれ得る。それには例えば、ポリヌクレオチドをウイルスにパッケージングし、次いでそのウイルスを宿主細胞に形質導入する方法およびポリヌクレオチドを直接取込む方法がある。使用される形質転換法は、形質転換すべき宿主に依存する。例えば、E.coli宿主細胞を、BB-NANBV配列を有する gt11で形質転換することが後述の実施例の項で述べられている。直接取込み法による細菌の形質転換には、一般に、塩化カルシウムまたは塩化ルビジウムによる処理が用いられる〔コーヘン(Cohen)、1972年;マニアティス、1982年〕。直接取込み法による酵母の形質転換は、ヒネンら(Hinnen et al)、1978年、の方法を用いて行われ得る。直接取込み法による哺乳類の形質転換は、グラハム(Graham)およびファンデルエプ(Van der Eb)1978年、のリン酸カルシウム沈澱法またはこの方法の種々の公知の改変法を用いて行われ得る。

[0 1 3 9]

ベクターの構築には、当該技術分野で公知の技術が用いられる。部位特異的なDNAの切断が、適切な制御酵素を用い、これら市販の酵素のメーカーによって一般に規定されている条件下で処理することによって、実施される。一般に、約1μgのプラスミドもしくはDNA配列は、約20μ1緩衝溶液中で1単位の酵素を用いて37 の条件下で1~2時間インキュベートすることにより切断される。制限酵素とともにインキュベートした後、タンパクを、フェノール/クロロホルムによって抽出して除去し、エタノールで沈澱させてDNA が回収される。切断断片は、Methods in Enzymology,65巻,499~560頁,1980年、に記載された一般的な方法に従って、ポリアクリルアミドもしくはアガロースゲルを用いた電気泳動法により分離することができる

[0140]

粘着末端を有する切断断片は,混合物に存在する適当なデオキシヌクレオチドトリホスフェート(dNTP)の存在下で,<u>E.coli</u> DNAポリメラーゼI(クレノー)を用いて平滑末端とされ得る。S1ヌクレアーゼによる処理も行なわれ得,一本鎖DNA部分の加水分解が行われる。

[0141]

T4 DNAリガーゼとATPとを用いて標準の緩衝液および温度条件下で連結反応が行われる。粘着末端の連結には,平滑末端の連結よりも,ATPおよびリガーゼの必要量が少い。ベクター断片が連結混合物の一部として用いられる場合には,ベクター断片は,細菌アルカリホスファターゼ(BAP)または子ウシ腸アルカリホスファターゼで処理さ

20

30

50

れ, 5 ⁷ 末端のリン酸を除去して,ベクターの再連結を防止することが多い。あるいは, 不必要な断片の制限酵素による切断を利用して連結を防止するのに利用することができる

[0142]

連結混合物は,<u>E.coli</u>のような適切なクローニング宿主に形質転換され,次いで,例えば,抗生物質耐性によって成功裏に形質転換された形質転換体が選択され,そして正しい構築物がスクリーニングされる。

[0143]

合成オリゴヌクレオチドは,ワーナー(Warner)(1984年)が発表した自動オリゴヌクレオチド合成装置を用いて調製され得る。必要に応じて,合成DNA鎖は,反応の標準条件を用いて,32P-ATPの存在下,ポリヌクレオチドキナーゼで処理することによって32P で標識化され得る。

[0144]

DNA配列は、CDNAライブラリーから単離されたものも含めて、公知の方法で修飾することができる。そのような方法としては、例えば、ゾラー(Zoller)(AをDNAを強配列とした部位特異的変異誘発法がある。概略を述べると、修飾すべきDNAをDNAにプライマーとして、修飾すべきDNAをDNAに所望の修飾が含まれている合成オリゴラスクレオチドを用いて、DNAポリメラーゼで二本鎖DNAに変換する。得られた二本鎖DNAに変換する。の名鎖の複製物を含む)は、寒天にプレートされてプラークのおれた細菌の培育のの名鎖の複製物を含む)は、寒天にプレートされてプラークが得られる。理論にいいプラークの多が、変異した配列を有するファージを含有し、残りのには、新しいプラークのり、が、変異した配列を有するファージを含有し、残りのには、新しいプラークのレプリカは、正しいストランドとハイブリダイゼーションを行わない温度およい可能であり、かつ未修飾の配列とはハイブリダイゼーションを行わない温度がイゼーションにより同定された配列は、回収されクローン化される。

[0145]

DNAライブラリーは , グリンスタイン (Grunstein) およびホッグネス (H ogness)(1975年)の方法を用いてプローブ化され得る。簡単にのべれば,こ の方法においては,プローブ化されるべきDNAは,ニトロセルロースフィルタ上に固定 され,変性され,そして,0~50%ホルムアミド,0.75M N a C l , 7 5 m M クエン 酸ナトリウム ,各々0.02%(wt/V)のウシ血清アルブミン,ポリビニルピ ロリドンおよびフィコール , 5 0 m M リン酸ナトリウム (p H 6 . 5) , 0 . 1 % S , そ し て 1 0 0 μ g / m l キャ リ ヤ ー の 変 性 D N A を 含 有 す る 緩 衝 液 で , プ レ ハ イ ブ リ ダイゼーションが行われる。緩衝液中のホルムアミドの濃度(%),およびプレハイブリ ダイゼーションおよびこれに続くハイブリダイゼーション工程の時間と温度条件は,必要 とされる厳密さに依存する。厳密さがそれほど必要ではない条件下でのオリゴマーのプロ ーブは,一般に,ホルムアミドが低い濃度であり,低温および長いハイブリダイゼーショ ンの時間で用いられる。cDNAもしくはゲノムの配列由来のような30もしくは40を 越えるヌクレオチドを有するプローブを用いるときには,一般に,例えば,約40~42 のような高温,および50%ホルムアミドのような高濃度が採用される。プレハイブリ ダ イ ゼ ー シ ョ ン に 続 い て , 5 ' 末 端 3 2 P で 標 識 し た オ リ ゴ ヌ ク レ オ チ ド プ ロ ー ブ を 緩 衝 液に添加し,この混合物中で,ハイブリダイゼーションの条件下にて,上記フィルターを インキュベートする。洗浄後,処理されたフィルターをオートラジオグラフィーに付すと ハイブリダイズしたプローブの位置が示される。もとの寒天プレート上の,対応する位置 のDNAを所望のDNAの起源として利用する。

[0146]

常套手段により,ベクターを構築する際には,連結混合物を用いて<u>E.coli</u> HB101株もしくは他の適当な宿主を形質転換し,成功裏に形質転換された形質転換体は,抗生物質耐性もしくは他のマーカーによって選択される。次に,得られた形質転換体から

,プラスミドが,クレウェルら(Clewell et al.)(1969年)の方法により調製され,通常,さらに,クロラムフェニコールによる増幅(クレウェル,1972年)が行なわれる。そのDNAは,単離され,通常,制限酵素分析法および/または配列決定法により分析される。配列決定は,サンガー(Sanger)ら(1977)の,そしてさらにメシング(Messing)ら(1981年)により述べられたジデオキシ法,あるいはマキシムら(1980年)の方法により実施され得る。GCに富んだ領域において時おり観察される,バンドが接近しすぎているという問題は,バールら(Barret al)(1986年)の方法に従って,T・デアゾグアノシン(deazo-guanosine)を用いることによって克服された。

[0147]

ELISA法は,抗原もしくは抗体のいずれかの濃度を測定するのに利用され得る。この方法は,酵素と,抗原もしくは抗体との結合に依存し,定量の標識として,結合した酵素の活性を用いる。抗体を測定するには,既知の抗原を固相(例えば,マイクロプレートまたはプラスチック製カップ)に固定し,被検血清の希釈物とともにインキュベートし,再び洗浄する。標識化するために好適な酵素は,当該技術分野で公知であり,例えば,西洋ワサビペルオキシダーゼがある。固相に結合した酵素活性は,特異的な基質を添加し,そして生成物の生成または基質の利用率を比色法で測定することによって測定される。結合した酵素の活性は,結合した抗体の量の一次関数である。

[0148]

抗原を測定するには,既知の特異的抗体を固相に固定し,抗原を含む被検物質を添加し,インキュベートした後,固相を洗浄し,第2の酵素で標識した抗体を添加する。洗浄後,基質を添加し,次いで酵素活性を比色法で測定し,抗原濃度に換算する。

【実施例】

[0149]

次に本発明の実施例を示す。この実施例は例示の目的のために記載されるものであり,本発明の範囲を限定するものではない。この記載にもとづき,請求の範囲に包含される種々の態様が当業者に明らかとなる。

[0150]

<u>重複 H C V c D N A クローン 1 3 i , 2 6 j , C A 5 9 a , C A 8 4 a , C A 1 5 6 e</u> および C A 1 6 7 b の 単離 および配列 決定

[0151]

クローン 1 3 i の単離は,クローン 1 2 f a 配列に由来する合成プローブを用いて達成された。このプローブの配列は次のとおりである(配列番号 1)。

5' GAA CGT TGC GAT CTG GAA GAC AGG GAC A GG 3'

クローン 2 6 j の単離は , クローン K 9 - 1 の 5 ' 領域に由来するプローブを用いて達成された。このプローブの配列は次のとおりである(配列番号 2)。

5' TAT CAG TTA TGC CAA CGG AAG CGG CCC CGA 3'

クローン 1 2 f およびクローン K 9 - 1 (K 9 - 1 とも呼ばれる)の単離方法は,欧州特許出願公開第 3 1 8 , 2 1 6 号に記載されており,それらの配列をそれぞれ図 1 および図 2 ~ 図 3 に示す。クローン 1 3 i および 2 6 j の H C V c D N A 配列も,ぞれぞれ図 5

10

20

30

40

および図6に示す。さらにそこにコードされたアミノ酸,およびクローン13iとクロー ン 1 2 f の重複およびクローン 2 6 j とクローン 1 3 i の重複が示される。これらのクロ ーンの配列により,クローンK9-1の配列が確認された。クローンK9-1は,異なる c DNAライブラリーから既に単離されている(欧州特許第218,316号を 参照されたい)。

[0152]

クローン C A 5 9 a は , クローン 2 6 j の 5 ' 領域の配列に基づいたプローブを利用し て単離された。このプローブの配列は次のとおりである(配列番号3)。

5' CTG GTT AGC AGG GCT TTT CTA TCA CCA 3 ' A A

クローンCA59aの配列に由来するプローブは、クローンCA84aの単離に用いられ た。この単離に用いたプローブの配列は次のとおりである(配列番号4)。

5 ' AAG GTC CTG GTA GTG CTG CTA TTT 3 ' $\mathsf{C} \mathsf{C}$

クローンCA156eは,クローンCA84aの配列に由来するプローブを用いて単離さ れた。このプローブの配列は次のとおりである(配列番号5)。

ACT GGA CGA CGC AAG GTT GCA ATT GCT ΤА

クローンCA167bは,クローン156eの配列に由来するプローブを用いて単離され た。このプローブの配列は次のとおりである(配列番号6)。

TTC GAC GTC ACA TCG ATC TGC TTG TCG GΑ

クローン C A 5 9 a , C A 8 4 a , C A 1 5 6 e および C A 1 6 7 b の H C V c D N A のヌクレオチド配列を,それぞれ図7,図8,図9および図10に示す。そこにコードさ れるアミノ酸,および対応するクローンの配列の重複もまた,図に示す。

[0153]

「Pi」HCV cDNAライブラリーの創製

HCV cDNAのライブラリーである「pi」ライブラリーは,欧州特許出願公開第 3 1 8 , 2 1 6 号に記載されている - g t 1 1 H C V c D N A ライブラリー (A T C C N o . 4 0 3 9 4) の構築に用いられた,感染したチンパンジーの血漿の同一バッ チから,実質的に同一の手法を用いて,構築された。しかし,piライブラリーの構築に は,プライマー延長法を利用し,該方法において,逆転写酵素のプライマーはクローンC A59Aの配列に基づいたプライマーを使用した。このプライマーの配列は次のとおりで ある(配列番号7)。

5 ' GGT GAC GTG GGT TTC 3'

クローンpi14aの単離および配列決定

クローンCA167bの単離に用いたプローブ(前出参照)を用いた,前述の「pi」 c D N A ライブラリーのスクリーニングにより,クローン p i 1 4 a が得られた 。このクローンは, gt-11 HCV cDNAライブラリー(ATCC No.4 0 3 9 4) から単離されたクローン C A 1 6 7 b , C A 1 5 6 e , C A 8 4 a および C A 5 9 a と重複する,約800塩基対のDNAを含む。さらに,pi14aもまた,クロー ン C A 1 6 7 b 中 の H C V c D N A の 上流 に あ る D N A 約 2 5 0 塩 基 対 を 含 む 。

[0154]

クローン C A 2 1 6 a , C A 2 9 0 a および a g 3 0 a の単離および配列決定

クローンCA167bの配列に基づいて,次の配列を有する合成プローブが調製された (配列番号8):

5' GGC TTT ACC ACG TCA CCA ATG ATT GCC ΤA

上記プローブは,スクリーニングの目的のために使用され,クローンCA216aが得ら れた。そのHCV配列を図11に示す。

10

20

30

40

30

40

50

[0155]

クローン C A 2 1 6 a の配列に基づいて,次の配列を有する別のプローブが調製された (配列番号 9):

5' TTT GGG TAA GGT CAT CGA TAC CCT TAC G TG 3'

- g t 1 1 ライブラリー(ATCC No . 4 0 3 9 4)をこのプローブでスクリーニングすることにより,クローンCA290aが得られた。そのHCV配列を図12に示す

[0156]

これと平行して,上記最初の g t - 1 1 c D N A ライブラリーにおいて使用したのと同じ感染血漿から抽出した核酸を用いて,プライマー伸張 c D N A ライブラリーを調製した。使用したプライマーは,クローン C A 2 1 6 a および C A 2 9 0 a の配列に基づいている(配列番号 1 0):

5' GAA GCC GCA CGT AAG 3'

この c D N A ライブラリーは,クローン p i 1 4 a および k 9 - 1 の単離において使用したライブラリーについて使用したのと同様の前述の方法を用いて調製した。このライブラリーのスクリーニングに使用したプローブは,クローン C A 2 9 0 a の配列に基づいている(配列番号 1 1)。

5' CCG GCG TAG GTC GCG CAA TTT GGG TAA 3

クローンag30aは,上記プローブを用いて新しいライブラリーから単離され,これは,HCV配列の約670塩基対を含んでいた。図13~図14を参照されたい。この配列の一部は,クローン216aおよびCA290aのHCV配列と重複している。しかし,ag30aの配列の約300塩基対は,クローン290a由来の配列の上流にある。非重複配列では,HCV ORFの開始を示し得る開始コドン(*),および終止コドンが示されている。図13~図14には,さらに,翻訳の調節にある役割を果たし得る,コードされている小さい推定ペプチド(#),および推定ポリペプチド(/)の推定第1アミノ酸,そして,そこにコードされる下流アミノ酸が示されている。

[0157]

クローンCA205aの単離および配列決定

 クローン C A 2 0 5 a は , もとの g t - 1 1 ライブラリー (A T C C No . 4 0 3 9 4) から , クローン C A 2 9 0 a (図 1 2) の中の H C V 配列に由来する合成プローブを用いて単離された。このプローブの配列は次のとおりである (配列番号 1 2)。

 5 ' T C A G A T C G T T G G T G G A G T T T A C T T G T T G C G 3 '

CA205aの中のHCV CDNAの配列を図15に示す。この配列は,クローンag30aおよびCA290aの両者のcDNA配列と重複する。CA290aとの配列の重複を,配列上の点線で示す(この図には,この断片中にコードされる推定のアミノ酸もまた,示されている)。

[0158]

[0159]

クローン 1 8 g の単離および配列決定

クローン a g 3 0 a (図 1 3 ~ 図 1 4 参照)の配列およびもとの g t - 1 1 ライブラリー(A T C C N o . 4 0 3 9 4)由来の重複するクローン C A 2 3 0 a の配列に基づ

20

30

40

50

いて,次の配列を有する合成プローブを調製した(配列番号13):

5' CCA TAG TGG TCT GCG GAA CCG GTG AGT A CA 3'

[0160]

クローン 1 8g(C18gまたは 1 8g)中の c D N A は , 前述のクローン a g 3 0 a および C A 2 0 5 a の配列とも重複している。 C 1 8 g の配列はまた , クローン a g 3 0 aに認められる二重の終止コドン領域を含んでいる。これらの終止コドンの上流のポリヌ クレオチド領域は,おそらく,HCVゲノムの5[°]領域の一部を示していると考えられる 。このポリヌクレオチドは,短NORFを有し得る。このことは,精製HCVゲノムを直 接配列決定することにより確認することができる。これらのコードされた推定小ペプチド は,翻訳調節の役目を果たし得る。C18gで示されるHCVゲノムの上流領域は,実質 的に,クローン12fにおいてHCV cDNA配列の上流のcDNA配列を単離するた めに用いた,欧州特許出願公開第318,216号に記載された手法を用いて単離され, 配列分析に用いられ得る。本質的には,C18gの配列に基づいた逆転写酵素の小さな合 成オリゴヌクレオチドプライマーを合成し,HCVゲノムRNAの対応配列と結合させて 用いた。このプライマー配列は,C18gの既知の5′末端の近位に存在するが,このプ ライマー配列の上流のプローブ配列を設計するためには,十分下流に存在する。プライミ ン グ お よ び ク ロ ー ニ ン グ の 既 知 の 標 準 的 な 方 法 が 用 い ら れ る 。 得 ら れ た c D N A ラ イ ブ ラ リーは、プライミング部位の上流の配列を用いてスクリーニングされる(C18gの解明 された配列から推定)。HCVゲノムRNAは,NANBHを用いて個体の血漿または肝 試 料 の い ず れ か か ら 得 ら れ る 。 H C V が フ ラ ビ 様 ウ イ ル ス で あ る と 考 え ら れ る た め , ゲ ノ ムの5′末端は,「キャップ」構造により修飾されている可能性がある。フラビウイルス ゲノムが5、末端に「キャップ」構造を含むことは公知である(黄熱ウイルス,ライス(Rice)ら,(1988年);デングウイルス,ハーン(Hahn)ら,(1988年);日本脳炎ウイルス(1987年))。

[0161]

- HCV cDNAライブラリーからのクローンの単離および配列決定

HCVゲノムの3、末端領域を示す c D N A を含むクローンは,欧州特許出願公開第318,216号に記載された,HCV c D N A g t 1 1 ライブラリー(ATCC N o . 40394)の調製に用いられた感染チンパンジーのもとの血漿プールから構築された c D N A ライブラリーから単離された。 D N A ライブラリーを調製するために,血漿から抽出された R N A に,ポリ(r A)ポリメラーゼを用いてポリ r A を「付加」し,そして c D N A を,逆転写酵素のプライマーとしてオリゴ(dT)12-18を用いて,合成した。 得られた R N A:c D N A ハイブリッドは,R N A a s e H により分解され,二本鎖 H C V c D N A に変換された。 得られた H C V c D N A は,実質的にヒューン(H u y n h)(1985年)が記載した方法を用いて, g t 1 0 a の中へクローン化され, (または b) H C V c D N A ライブラリーが得られた。使用した方法は次に示す通りである。

[0162]

血漿の一部(12ml)をプロテイナーゼドで処理し、0.05M Tris-C1, pH7.5,0.05%(v / v) - メルカプトエタノール、0.1%(W / V) ヒドロキシキノロン、1mM EDTAで飽和させたフェノール(等量)により抽出した。得られた水層を、このフェノール混合液で再度抽出し、その後、フェノールと、クロロホルム:イソアミルアルコール(24:1)との1:1混合液で3回,次いで、クロロホルムとイソアミルアルコールとの混合液(1:1)で2回抽出した。この水層のNaClが20mMとなるよう調整した後、2.5倍量の冷無水エタノールにより水層相の核酸を・

30

40

50

20 で一晩沈澱させた。この沈澱物を , 10 , 000RPMにて40分間の遠心分離にかけて集め , 20 m M NaCl含有70%エタノールおよび100%冷エタノールで洗浄後 , デシケーター内で5分間乾燥させ , そして , 水に溶解させた。

[0163]

感染したチンパンジーの血漿プールから単離された核酸に,ヒト胎盤リボヌクレアーゼインヒビター(HPRI)(アメルシャム社から購入)の存在下で,キャリアーとしてMS2 RNAを利用して,ポリAポリメラーゼを用いてポリrAを付加した。血漿2m1中の核酸と等量の単離された核酸を,TMN(50mM Tris HC1,pH7.9,10mM MgC12,250mM NaC1,2.5mM MnC12,2mMジチオスレイトール(DTT))と,40μM - 〔32P〕ATP,HPRI(アメルシャム社)20単位と,ポリAポリメラーゼ(BRL)を含まないRNaseの約9~10単位とを含有する溶液中でインキュベートした。インキュベーションは10分間,37にて行い,反応は,EDTA(最終濃度約250mM)で停止させた。この溶液を,等量のフェノール・クロロホルム液,および等量のクロロホルムにより抽出し,核酸を,20mM NaC1の存在下で,2.5倍容量のエタノールにより,・20 にて一晩沈澱させた。

[0164]

クローン b 5 a の単離

5' ATT GCG AGA TCT ACG GGG CCT GCT ACT CCA 3'

[0165]

b5aの配列は,クーロン16jhにおけるHCV cDNAの配列内に含まれている (後述する)。さらに,この配列は,もとの gt11ライブラリー(ATCC No. 40394)から単離されたCC34aにも存在する(もとの gt11ライブラリーを ,以下,「C」ライブラリーと呼ぶ)。

[0166]

日CV ゲノムの3′領域のPCR増幅により生じたクローンの単離および配列決定 日CVゲノムの3′領域由来のヌクレオチド配列を含む複数のcDNAクローンが調製されている。これは,サイキ(Saiki)ら(1986年)およびサイキ(Saiki)ら(1986年)およびサイキ(Saiki)ら(1988年)に記載されたポリメラーゼ鎖反応法によってゲノムの目標領域を増いることにより達成され,そしてこれは次のように修飾された。増幅されたHCV RNA タ ま 1 日 ス フ フ リー(ATCC No.40394)の調製に用いられた,もととの感染されたた。単離されたRNAには,チンパンジーの血漿プールから得られた。HCV RNAの単離は上述のとおりであった。単離されたRNAには,チンパンジー血清から単離された核酸が核酸基質により,を付加した。付加されたRNAは,次に,実質的にハン(日an)(1987年)が記載した方法により,オリゴdTプライマーアダプターを用いて,逆転写酵素によりであった(S こ これた。ただし,プライマー・アダプターの成分および配列は次のとおりであった(S

30

40

50

P 6 プロモーター: 配列番号 1 5)。

[0167]

スタッファー

<u>(Stuffer)</u> AATTC

Not I G C G G C C G C

<u>SP6 プロモーター</u> CATACGATTTAGGTGACACTATAGAA プライマー T 15

得られたcDNAは,次の2種のプライマーを用いて,PCRによる増幅を行った:

<u>プライマー</u> 配列

J H 3 2 (3 0 m e r) A T A G C G G C C C C C C C G A T T G C G A G A T C T A C (配列番号 1 6)

JH11(20mer) AATTCGGGCGGCCGCCATACGA (配列番号 17)

JH32プライマーは, c DNA中の目標領域の 5 ′ 末端にハイブリダイズ可能な 2 0 個のヌクレオチオドを有する配列を含んでおり,推定Tmは 6 6 ′ であった。JH11は,オリゴ d Tプライマーアダプターの一部に由来する。つまり, c DNAの 3 ′ 末端に特異的であり,Tmが 6 4 ′ である。両プライマーは,増幅されたHCV ′ c DNAのその後のクローニングに使用するために,その 5 ′ 末端に,制限酵素NotIの認識部位を有するように設計された。

[0168]

この P C R 反応は,次の反応混合液 1 0 0 μ 1 中に, c D N A とプライマーとを懸濁することにより行われた。この反応混合液は, 4 種のデオキシヌクレオシド三リン酸,バッファーの塩および金属イオンと,サーマスアクアティカス(<u>T h e r m u s a q u a t i c u s</u>) より単離された熱安定性 D N A ポリメラーゼ(T a q ポリメラーゼ)とを含む。これらの混合液中の各成分は,パーキンエルマーのシータス P C R キット(C e t u s P C R K i t)(N 8 0 1 - 0 0 4 3 または N 8 0 1 - 0 0 5 5)に入っている。 P C R 反応は,パーキンエルマーのシータス D N A サーマルサイクラー中で 3 5 サイクルにわたり行った。各サイクルは, 9 4 における 1 . 5 分間の変性工程と, 6 0 における 2 分間のアニーリング工程と, 7 2 における 3 分間のプライマー延伸工程とからなる。この P C R 産物について,クローン 1 5 e の 3 ' 末端領域の配列に基づく配列の 3 0 ヌクレオチドのプローブ J H 3 4 を用いて,サザンブロット分析を行なった。 J H 3 4 の配列は次のとおりである(配列番号 1 8):

5' CTT GAT CTA CCT CCA ATC ATT CAA AGA C TC3'

H C V c D N A により検出された P C R 産物のサイズ範囲は , 約 5 0 から約 4 0 0 塩基対であった。

[0169]

増幅されたHCV cDNAをクローン化するために,PCR産物をNotIで切断し,ポリアクリルアミドゲル電気泳動法によりサイズ選択した。300塩基対を上まわる長さのDNAは,pUC18SのNotI部位にクローン化された。このベクターpUC18Sは,pUC18のEcoRI部位とSa1I部位との間にクローン化されたNotIポリリンカーを含めるようにして構築された。このクローンは,JH34プローブを用いて,HCV cDNAについてスクリーニングされた。多数の陽性クローンが得られ,配列決定された。これらのクローンのうちの1つでにある16jh中のHCV cDNA挿入物のヌクレオチド配列と,そこにコードされたアミノ酸とを,図17に示す。クローン16jh中のHCV cDNAの配列を,他のクローンと,この領域について比較することにより見い出されたヌクレオチド異質性もまた,この図に示す。

[0170]

集積 H C V <u>c D N A の配列</u>

HCV cDNA配列は,上で述べた種々のHCV cDNAライブラリーに由来する

20

30

40

50

一連の重複したクローンから集積されている。この配列において,クローン b 1 1 4 a , 1 8 g , a g 3 0 a , C A 2 0 5 a , C A 2 9 0 a , C A 2 1 6 a , p i 1 4 a , C A 1 6 7 b , C A 1 5 6 e , C A 8 4 a ,および C A 5 9 a から得られた集積 H C V c D N A 配列は,欧州特許出願公開第 3 1 8 , 2 1 6 号に開示されている集積 H C V c D N A 配列の上流にあり,これは図 1 8 ~ 図 2 6 に示されている。クローン b 5 a および 1 6 j h 由来の集積 H C V c D N A 配列は,欧州特許出願公開第 3 1 8 , 2 1 6 号に開示されている集積 H C V c D N A 配列の下流にある。

[0171]

[0172]

クローン b 1 1 4 a は,前述のクローン b 5 a について記載されたクローニング法を用いて得られた。ただし,プローブは,前出のクローン 1 8 g を検出するために使用された合成プローブであった。クローン b 1 1 4 a は,クローン 1 8 g 中に存在する配列(つまり,5 '- C A)の上流にさらに 2 つのヌクレオチドを含んでいること以外は,クローン 1 8 g , a g 3 0 a ,および C A 2 0 5 a と重複している。これらのさらに 2 つのヌクレオチドは,図 2 7 ~ 図 3 6 に示す H C V ゲノム配列に含まれている。

[0173]

[0174]

<u>融合ポリペプチドC100-3の精製(別法)</u>

[0175]

融合ポリペプチド C 1 0 0 - 3 (H C V c 1 0 0 - 3) は , p A B 2 4 C 1 0 0 - 3 (A T C C N o . 6 7 9 7 6) により形質転換された酵母 J S C 3 0 8 株 (A T C C N o . 2 0 8 7 9) で発現する。この形質転換された酵母を , 発現可能な条件下で増殖させる (つまり , 1 % のグルコースを含有する Y E P 中で増殖させる ; 欧州特許出願公開第 3 1 8 , 2 1 6 号参照)。細胞溶解産物は , この細胞を緩衝液 A (2 0 m M T r i s H C 1 , p H 8 . 0 , 1 m M E D T A , 1 m M P M S F) に懸濁することにより調製される。この細胞は , ダイノミル (D y n o m i 1 1) 型ホモジナイザーもしくはそれと同様

30

50

のホモジナイザーのガラスビーズで粉砕されることにより破壊される。細胞破壊の度合は ,位相差顕微鏡により細胞を計数することによりモニターする。破壊された細胞は暗く見 え,生存細胞は,明るい色に見える。破壊された細胞の割合(%)を算出する。

[0176]

[0177]

イオン交換クロマトグラフィーにかける前に,アセトン沈澱物は遠心分離により回収され,そして窒素下で乾燥され得る。この沈澱物は,緩衝液 D (50 m M グリシン, p H 10.0,1 m M D T T , 7 M 尿素)中に懸濁され,そして,不溶性物質をペレット化するため遠心分離が行われる。上清物質は,あらかじめ緩衝液 D で平衡化した陰イオン交換カラムにかけられる。画分を採取し,紫外吸収あるいは S D S ポリアクリルアミドゲルによるゲル電気泳動により分析する。 H C V c 100-3ポリペプチドを含む画分をプールする。

[0178]

HCV c100-3ポリペプチドをゲル濾過により精製する目的で,イオン交換カラムからのプール画分を, - メルカプトエタノールおよびSDSの存在下で加熱し,溶出液を限外濾過により濃縮する。濃縮物は,あらかじめ緩衝液 E(20mM Tris HC1,pH7.0,1mMDTT,0.1% SDS)で平衡化したゲル濾過カラムにかけられる。溶出画分中のHCV c100-3および不純物の存在は,SDS存在下におけるポリアクリルアミドゲルによるゲル電気泳動,およびポリペプチドの視覚化により測定される。精製HCV c100-3を含む画分をプールする。HCV c100-3含量の高い画分は,ゲル濾過工程を繰り返すことによりさらに精製され得る。微粒子物質を取り除きたい場合には,HCV c100-3を含む物質は,0.22μのフィルターで濾過され得る。

[0179]

HCV cDNAをコードするポリペプチドの発現および抗原性

エセリヒア・コリー(E.coli)で発現するポリペプチド

名称 DNA配列 (5~から3~へ)

A GATC CTG AAT TCC TGA TAA (配列番号19)

30

40

50

B GAC TTA AGG ACT ATT TTA A (配列番号20)

C GATC CGA ATT CTG TGA TAA (配列番号21)

D GCT TAA GAC ACT ATT TTA A (配列番号22)

E GATC CTG GAA TTC TGA TAA (配列番号23)

F GAC CTT AAG ACT ATT TTA A (配列番号24)

3種のリンカーにおいては,それぞれもとのEcoRI部位がなくなり,リンカー内ではあるが異なるリーディングフレーム内に新しいEcoRI 部位が形成されている。従って,これらのクローンから単離されたHCV cDNA EcoRI断片は,発現ベクター内に挿入されたときには,3つの異なるリーディングフレーム内にあった。指定されたgt11クローン中のHCV cDNA断片は,EcoRI で切断することにより切り出され,各断片はpcf1AB,pcf1CD,およびpcf1EFに挿入された。次に,これらの発現構築物は,D1210 <u>E.coli</u>細胞内に導入され,その形質転換物をクローン化し,各クローン由来の組換え細菌は,IPTG存在下で増殖させることにより融合ポリペプチドを発現するように誘導された。

[0180]

前述のHCV cDNAの発現産物は,ヘルフマン(Helfman)ら(1983年)に記載された方法の変法を用いて、コロニーを直接、免疫学的にスクリーニングするこ とにより,抗原性について試験された。簡単に言えば,図37に示すように,アンピシリ ンプレート上にのせられたニトロセルロースフィルター上に細菌をプレートし,フィルタ ーあたり約1,000個のコロニーを形成させる。コロニーを,ニトロセルロースフィル ター上にレプリカし,このレプリカを, 2 mM IPTGおよびアンピシリンの存在下で 一晩再増殖させた。細菌コロニーは,ニトロセルロースフィルターを飽和CHC13蒸気 中に約15~20分間つり下げることにより溶菌した。次に,各フィルターを,50mM Tris HCl, pH7.5, 150mM NaCl, 5mMMgCl23% (w/v) B S A , 4 O μ g / m l リゾチーム , および O . 1 μ g / m l D N a s e を 1 O m l 含む直径100mmのペトリ皿にそれぞれ載置した。これらのペトリ皿は,室温で少なく とも8時間,静かに振とうした。このフィルターを,TBST(50mM Cl, pH8.0, 150mMNaCl, 0.005% Tween20) 中ですすい だ。インキュベーションの後,細胞残渣をすすぎ,10%ヒツジ血清を含むTBS(Tw e e n を除いたTBST)中で1時間インキュベートした。次に,このフィルターをNA NBHの個体由来でありTBS中で前処理した血清とともにインキュベートした。そのN ANBHの個体とは次の個体を含む:チンパンジー3個体;HCV c 1 0 0 - 3 ポリペ プチド (欧州 特許 出 願 公開 第 3 1 8 , 2 1 6 号 に 記 載 お よ び 前 出) (C 1 0 0 と も 呼 ば れ る)に対する抗体について血清が陽性である慢性NANBH患者8個体;抗С100抗体 について血清が陰性である慢性 N A N B H 患者 8 個体; 抗 C 1 0 0 抗体について血清が陰 性である回復期の患者1個体;および集団獲得型NANBH患者6個体(抗C100抗体 について血清が強陽性である患者1個体および抗C100抗体について血清がかすかに陽 性である1個体を含む)。TBS中に希釈した血清は,hSODをあらかじめ吸収させる ことにより,前処理が行われた。フィルターを血清とともにインキュベートするのは,少 なくとも 2 時間行われた。インキュベーション後,フィルターをTBSTで30分間にわ たり2回洗浄した。発現タンパク(これに,血清中の抗体が結合する)の標識化は,12 5I-標識ヒツジ抗ヒト抗体と2時間インキュベートすることにより達成された。洗浄後 ,フィルターをTBSTで30分間にわたり2回洗浄し,乾燥し,そしてオートラジオグ ラフィーにかけた。

[0181]

多くのクローン(後述する)が、NANBH個体の血清と免疫学的に反応するHCV

20

30

40

50

エピトープを含むポリペプチドを発現した。これらのポリペプチドのうちの5つは,これらのポリペプチド中のHCVエピトープに対する抗体が多くの異なる患者の血清において検出されたという点で,非常に免疫原性であった。これらのポリペプチドをコードするクローン,および推定HCVポリタンパク中のこのポリペプチドの位置(アミノ酸番号は,推定開始コドンから数える)は次のとおりである:クローン5・1・1,アミノ酸1694・1735;クローンC100,アミノ酸1569・1931;クローン33c,アミノ酸1192・1457;クローンCA279a,アミノ酸1-84;およびクローンCA290a,アミノ酸9・177。推定HCVポリタンパク中の免疫原性ポリペプチドの位置は,すぐ後で示す。

<u>NANBH</u> 患者の血清との反応性が確認されたポリペプチドをコードするクローン

クローン HCV ポリタンパク中の位置

C A 2 7 9 a 1 - 8 4 C A 7 4 a 4 3 7 - 5 8 2 1 3 i 5 1 1 - 6 9 0 9 - 1 7 7 C A 2 9 0 a 3 3 c 1 1 9 2 - 1 4 5 7 4 0 b 1 2 6 6 - 1 4 2 8 5 - 1 - 1 1 6 9 4 - 1 7 3 5 8 1 1 6 8 9 - 1 8 0 5 3 3 b 1 9 1 6 - 2 0 2 1 2 5 c 1 9 4 9 - 2 1 2 4 1 4 c 2 0 5 4 - 2 2 2 3 8 f 2 2 0 0 - 3 3 2 5 3 3 f 2 2 8 7 - 2 3 8 5 3 3 g 2 3 4 8 - 2 4 6 4 3 9 c 2 3 7 1 - 2 5 0 2

試験した種々のクローン内に,コードされたポリペプチドの抗原性についての結果から, 有効な検出および免疫化系は,HCVポリペプチド/エピトープのパネルを含み得ること が示唆される。

2 7 9 6 - 2 8 8 6 1 5 6 9 - 1 9 3 1

[0182]

1 5 e

C 1 0 0

酵母でのHCV エピトープの発現

アダプター 1

ATT TTG AAT TCC TAA TGA G (配列番号 25)

AC TTA AGG ATT ACT CAG CT (配列番

号 2 6)

アダプター 2

AAT TTG GAA TTC TAA TGA G (配列番号27)

AC CTT AAG ATT ACT CAG CT (配列番

20

30

40

50

号 2 8)

[0 1 8 3]

HCVポリタンパクと西ナイルウイルス(West Nile Virus)ポリタンパクおよびデングウイルス(Dengue Virus)NS1との疎水性プロファイルについての比較

HCVポリタンパクセグメントの疎水性プロファイルを,典型的なフラビウイルスである西ナイルウイルス(West Nile Virus)のそれと比較した。西ナイルウイルスポリタンパクのポリペプチド配列は,このウイルスの非構造タンパクをコードする既知のポリヌクレオチド配列から推測された。HCVポリタンパク配列は,重複するcDNAクローン配列から推測された。Cのプロファイルは,与えられたアミノ酸残基周辺の平均的な疎水性を調べるために,7個のアミノ酸(問題のアミノ酸,およびその両側に各3残基)からなる長さのウインドーを使用する抗原プログラムを用いて決定された。各アミノ酸残基の反応疎水性(reactive hydrophobicity)を与えるパラメーターは,カイトおよびドリトル(Kyte and Doolittle)(1982年)に示されている。図38~図42は,この2つのポリタンパクの疎水性プロファイルを示す。西ナイルウイルスの非構造タンパク,ns1からns5に対応する部分をこの図に示す。この図からわかるように,HCVポリタンパクおよび西ナイルウイルスポ

[0184]

[0185]

疎水性プロファイルが類似していることと,HCVおよびデングフラビウイルスのアミノ酸配列が相同性を有することが既にわかっている(欧州特許第218,316号に開示)こととを組み合わせると,HCVがフラビウイルス科のこれらメンバーと関連性のあることが示唆される。

[0186]

HCV ORF内にコードされた推定ポリペプチドの特性決定

リタンパクのプロファイルは、全体として類似している。

[0187]

HCV cDNAセンス鎖配列から推定さた推定HCV ポリタンパクのアミノ酸配列 もまた,図27~図36に示されており,1番は推定開始メチオニンから始まる。

[0188]

コードされたHCVポリタンパクの可能なタンパク領域およびそのおよその境界は次の

とおりである(括弧内に示されたポリペプチドは,フラビウイルスの領域内にコードされているポリペプチドである):

推定ドメイン

およその境界

<u>(アミノ酸番号)</u>

「C」(ヌクレオカプシドタンパク)

1 - 1 2 0

「 E 」 (ビリオンエンベロープタンパク

1 2 0 - 4 0 0

(S)および推定のマトリックス(M)

タンパク)

「NS1」(補体結合抗原?) 400-660

「NS2」(機能不明) 660-1050

「NS3」(プロテアーゼ?) 1050-1640

「NS5」(ポリメラーゼ) 2000-?末端

しかし、この疎水性プロファイル(後述する)が、特にNS2の上流領域に関して、HCVがフラビウイルスモデルと異なることを示しているのは注目すべきである。さらに、示された境界は、推定ポリペプチド間の正確な境界を示すものではない。

[0189]

さらに、図27~図36に示す配列から大きなポリタンパクの推定開始METの上流に存在する、ATGを含む小さなORFが4つあることが、推測され得る。これらのORFのATGは、ヌクレオチド番号・310、・257、・246、および・127に存在する。

[0190]

ポリペプチドの親水性および抗原性プロファイル

[0191]

<u>HCVおよびフラビウイルスにおける共直線ペプチド(co-linear pept</u>ides)の同定

HCV CDNAセンス鎖内にコードされた推定ポリタンパクのアミノ酸配列を,フラビウイルスのいくつかのメンバーの既知のアミノ酸配列と比較した。この比較によると,相同性は少ないが,相同性が見い出された領域から判断して,おそらくこの相同性は有意である。この保持された共直線性領域を図49に示す。配列の下に記されたアミノ酸番号は,推定HCVポリタンパクの番号である(図27~図36参照)。

[0 1 9 2]

これらの保持されたモチーフの間隔は,フラビウイルスとHCVとで類似しており,HCVとこれらフラビウイルス試薬との間にもある程度の類似性のあることを意味している

[0193]

50

30

40

10

20

30

40

50

以下の表に示す物質は,アメリカンタイプカルチャーコレクション(ATCC),12 301 ParklawnDr.Rockville,Maryland 20852, にブダペスト条約に基づいて寄託され、次の受託番号が付与されている。

[0 1 9 4]

<u>gt11</u>	ATCC No.	寄託日	
HCV cDNAライブラリー	4 0 3 9 4	1 9 8 7 年 1 2 月 1 日	
クローン81	4 0 3 8 8	1 9 8 7 年 1 1 月 1 7 日	
クローン91	4 0 3 8 9	1 9 8 7 年 1 1 月 1 7 日	
クローン1-2	4 0 3 9 0	1 9 8 7 年 1 1 月 1 7 日	
クローン 5 - 1 - 1	4 0 3 9 1	1 9 8 7 年 1 1 月 1 8 日	10
クローン 1 2 f	4 0 5 1 4	1 9 8 8 年 1 1 月 1 0 日	
クローン 3 5 f	4 0 5 1 1	1 9 8 8 年 1 1 月 1 0 日	
クローン 1 5 e	4 0 5 1 3	1 9 8 8 年 1 1 月 1 0 日	
クローン K 9 - 1	4 0 5 1 2	1 9 8 8 年 1 1 月 1 0 日	
J S C 3 0 8	2 0 8 7 9	1 9 8 8 年 5 月 5 日	
p S 3 5 6	6 7 6 8 3	1 9 8 8 年 4 月 2 9 日	
ナミロ 次の実式が1000年に	1 1 D L + + + +		

さらに、次の寄託が1989年5月11日になされた。

[0195]

<u>菌 株</u>	<u>リンカー</u>	ATCC No.
D 1 2 1 0 (C f 1 / 5 - 1 - 1)	E F	6 7 9 6 7
D 1 2 1 0 (C f 1 / 8 1)	E F	6 7 9 6 8
D 1 2 1 0 (C f 1 / C A 7 4 a)	E F	6 7 9 6 9
D 1 2 1 0 (C f 1 / 3 5 f)	АВ	6 7 9 7 0
D 1 2 1 0 (C f 1 / 2 7 9 a)	E F	6 7 9 7 1
D 1 2 1 0 (C f 1 / C 3 6)	C D	6 7 9 7 2
D 1 2 1 0 (C F 1 / 1 3 i)	АВ	6 7 9 7 3
D 1 2 1 0 (C f 1 / C 3 3 b)	E F	6 7 9 7 4
D 1 2 1 0 (C f 1 / C A 2 9 0 a)	АВ	6 7 9 7 5
H B 1 0 1 (A B 2 4 / C 1 0 0 #	3 R)	6 7 9 7 6

以下のD1210株の誘導株は、1989年5月3日に寄託された。

[0196]

芸 诺 ##	۸ -	T.C.C. N
<u>誘 導 株</u>	<u> A I</u>	TCC No.
p C F 1 C S / C 8 f		6 7 9 5 6
p C F 1 A B / C 1 2		6 7 9 5 2
p C F 1 E F / 1 4 c		6 7 9 4 9
p C F 1 E F / 1 5 e		6 7 9 5 4
p C F 1 A B / C 2 5		6 7 9 5 8
p C F 1 E F / C 3 3		6 7 9 5 3
p C F 1 E F / C 3 3		6 7 9 5 0
p C F 1 C D / 3 3 g		6 7 9 5 1
p C F 1 C D / C 3 9		6 7 9 5 5
p C F 1 E F / C 4 0		6 7 9 5 7
p C F 1 E F / C A 1	7 b	6 7 9 5 9
以下の菌株は,198	年 5 月 1	12日に寄託された。
【0197】		

<u>菌 株</u>	<u>ATCC No.</u>
g t 1 1 (C 3 5)	4 0 6 0 3
g t 1 0 (- 5 a)	4 0 6 0 2

D 1 2 1 0 (C 4 0 b) 6 7 9 8 0

D 1 2 1 0 (M 1 6) 6 7 9 8 1 本出願が米国特許として許可され発行されると、これら寄託物を利用することに関する制限はすべて最終的に取り除かれる。そして上記命名された寄託物は、米国特許法施行規則 1 . 1 4 および米国特許法 1 . 2 2 により、上記出願が係属している間に特許商標庁長官によって権利を与えられた者が、入手可能である。さらに、その寄託物は、寄託日から 3 0 年間、あるいは寄託物の最終分譲請求から 5 年間; あるいは、米国特許の有効期間のいずれか長い方の期間にわたって、維持される。

[0198]

ここで述べられている寄託物は便宜のためにのみ寄託されたものであり,ここに記載された内容により本発明を実施するのに必要ではない。さらに,これらの寄託物は,参考として,ここに述べられている。

【産業上の利用可能性】

[0199]

産業上の利用可能性

本発明は,ここに開示された種々の事柄について,多くの産業上の用途があり、そのうちのいくつかは以下のとおりである。HCV cDNAは,試料中のHCV核酸を検出するためのプローブの設計に使用され得る。cDNA由来のプローブは,例えば化学的な合成反応におけるHCV核酸の検出に使用され得る。それらはまた,細胞培養系および動物モデル系におけるウイルスの複製を阻害する薬剤の効果を判定するために,抗ウイウルス剤についてのスクリーニングプログラムにも使用され得る。HCVポリヌクレオチドプローブはまた,ヒトにおけるウイルス核酸を検出するのに有用であり,従ってヒトにおけるHCV感染の診断の基準として使用され得る。

[0200]

[0201]

[0202]

アンチセンスポリヌクレオチドは,ウイルス複製の阻害剤として使用され得る。

[0203]

便宜上,抗HCV抗体およびHCVポリペプチドは,天然物であっても組換え体であっても,キットのなかへ組み込まれ得る。

20

10

30

40

```
[0204]
 [配列表]
 (配列番号1)
配列の長さ:30
配列の型:核酸
鎖の数:一本鎖
トポロジー:直鎖状
配列の種類:他の核酸 合成DNA配列
GAA CGT TGCGAT CTG GAA GAC AGG GAC AGG
                                             10
 (配列番号2)
配列の長さ: 30
配列の型:核酸
鎖の数:一本鎖
トポロジー:直鎖状
配列の種類:他の核酸 合成DNA配列
TAT CAG TTATGC CAA CGG AAG CGG CCC CGA 3
 (配列番号3)
配列の長さ: 30
                                             20
配列の型:核酸
鎖の数:一本鎖
トポロジー:直鎖状
配列の種類:他の核酸 合成DNA配列
CTG GTT AGCAGG GCT TTT CTA TCA CCA CAA
 (配列番号4)
配列の長さ: 30
配列の型:核酸
鎖の数:一本鎖
                                             30
トポロジー:直鎖状
配列の種類:他の核酸 合成DNA配列
AAG GTC CTGGTA GTG CTG CTA TTT GCC
 (配列番号5)
配列の長さ: 30
配列の型:核酸
鎖の数:一本鎖
トポロジー:直鎖状
配列の種類:他の核酸 合成DNA配列
                                             40
ACT GGA CGACGC AAG GTT GCA ATT GCT CTA
                                           3
 (配列番号6)
配列の長さ: 30
配列の型:核酸
鎖の数:一本鎖
トポロジー:直鎖状
配列の種類:他の核酸 合成DNA配列
TTC GAC GTCACA TCG ATC TGC TTG TCG
                                      GGA
0
                                             50
```

```
(配列番号7)
配列の長さ:15
配列の型:核酸
鎖の数:一本鎖
トポロジー:直鎖状
配列の種類:他の核酸 合成DNA配列
GGT GAC GTGGGT TTC 15
 (配列番号8)
配列の長さ: 30
配列の型:核酸
                                             10
鎖の数:一本鎖
トポロジー:直鎖状
配列の種類:他の核酸 合成DNA配列
GGC TTT ACCACG TCA CCA ATG ATT GCC CTA 3
 (配列番号9)
配列の長さ: 30
配列の型:核酸
鎖の数:一本鎖
トポロジー:直鎖状
                                             20
配列の種類:他の核酸 合成DNA
TTT GGG TAAGGT CAT CGA TAC CCT TAC GTG
                                           3
 (配列番号10)
配列の長さ:15
配列の型:核酸
鎖の数:一本鎖
トポロジー:直鎖状
配列の種類:他の核酸 合成DNA配列
                                             30
GAA GCC GCA CGTAAG 15
 (配列番号11)
配列の長さ: 27
配列の型:核酸
鎖の数:一本鎖
トポロジー:直鎖状
配列の種類:他の核酸 合成DNA配列
CCG GCG TAGGTC GCG CAA TTT GGG TAA 27
 (配列番号12)
配列の長さ: 30
                                             40
配列の型:核酸
鎖の数:一本鎖
トポロジー:直鎖状
配列の種類:他の核酸 合成DNA配列
TCA GAT CGTTGG TGG AGT TTA CTT GTT GCC
 (配列番号13)
配列の長さ:30
```

配列の型:核酸鎖の数:一本鎖

トポロジー:直鎖状 配列の種類:他の核酸 合成DNA配列 CCA TAG TGGTCT GCG GAA CCG GTG AGT ACA 3 (配列番号14) 配列の長さ:30 配列の型:核酸 鎖の数:一本鎖 トポロジー:直鎖状 配列の種類:他の核酸 合成DNA配列 10 ATT GCG AGATCT ACG GGG CCT GCT ACT CCA (配列番号15) 配列の長さ: 26 配列の型:核酸 鎖の数:一本鎖 トポロジー:直鎖状 配列の種類:他の核酸 合成DNA配列 CATACGATTTAGGTGACACT ATAGAA 26 (配列番号16) 20 配列の長さ:30 配列の型:核酸 鎖の数:一本鎖 トポロジー:直鎖状 配列の種類:他の核酸 合成DNA配列 ATAGCGGCCCCTCGATTG CGAGATCTAC 30 (配列番号17) 配列の長さ:22 配列の型:核酸 鎖の数:一本鎖 30 トポロジー:直鎖状 配列の種類:他の核酸 合成DNA配列 AATTCGGGCGGCCGCCATAC GA 22 (配列番号18) 配列の長さ: 30 配列の型:核酸 鎖の数:一本鎖 トポロジー:直鎖状 配列の種類:他の核酸 合成DNA配列 CTT GAT CTACCT CCA ATC ATT CAA AGA CTC 3 40 (配列番号19) 配列の長さ:19 配列の型:核酸 鎖の数:一本鎖 トポロジー:直鎖状

配列の種類:他の核酸 合成DNA配列

GATC CTG AAT TCC TGA TAA 19

(配列番号20) 配列の長さ:19

配列の型:核酸 鎖の数:一本鎖 トポロジー:直鎖状 配列の種類:他の核酸 合成DNA配列 GAC TTA AGG ACT ATT TTA A 19 (配列番号21) 配列の長さ:19 配列の型:核酸 鎖の数:一本鎖 トポロジー:直鎖状 10 配列の種類:他の核酸 合成DNA配列 GATC CGA ATT CTG TGA TAA 19 (配列番号22) 配列の長さ:19 配列の型:核酸 鎖の数:一本鎖 トポロジー:直鎖状 配列の種類:他の核酸 合成DNA配列 GCT TAA GAC ACT ATT TTA A 19 (配列番号23) 20 配列の長さ:19 配列の型:核酸 鎖の数:一本鎖 トポロジー:直鎖状 配列の種類:他の核酸 合成DNA配列 GATC CTG GAA TTC TGA TAA 19 (配列番号24) 配列の長さ:19 配列の型:核酸 鎖の数:一本鎖 30 トポロジー:直鎖状 配列の種類:他の核酸 合成DNA配列 GAC CTT AAG ACT ATT TTA A (配列番号25) 配列の長さ:19 配列の型:核酸 鎖の数:両形態 トポロジー:直鎖状 配列の種類:他の核酸 合成DNA配列 ATT TTG AATTCC TAA TGA G 19 40 (配列番号26) 配列の長さ:19 配列の型:核酸 鎖の数:両形態 トポロジー:直鎖状

(配列番号27) 配列の長さ:19 配列の型:核酸

配列の種類:他の核酸 合成DNA配列

TC GAC TCA TTAGGA ATT CA 19

鎖の数:両形態

トポロジー:直鎖状

配列の種類:他の核酸 合成DNA配列

AAT TTG GAATTC TAA TGA G 19

(配列番号 2 8) 配列の長さ: 1 9 配列の型:核酸 鎖の数:両形態

トポロジー:直鎖状

配列の種類:他の核酸 合成DNA配列

TC GAC TCA TTAGAA TTC CA 19

【図面の簡単な説明】

[0205]

【図2】図2は,クローンk9-1におけるHCV cDNA配列およびこの配列内にコードされたアミノ酸の一部を示す。

【図3】図3は,図2の続きである。

【図4】図4は,クローン15eの配列およびこの配列内にコードされたアミノ酸を示す

20 元

30

40

50

10

【図5】図5は,クローン13iにおけるHCV c D N A のヌクレオチド配列,この配列内にコードされたアミノ酸,およびクローン12 f と重複する配列を示す。

【図14】図14は,図13の続きである。

【図15】図15は,クローンCA205aにおけるHCV cDNAのヌクレオチド配列,およびクローンCA290aにおけるHCV cDNA配列と重複するものを示す。

【図18】図18は,クローンpi14a,CA167b,CA156e,CA84a,

20

30

- 【図19】図19は,図18の続きである。
- 【図20】図20は,図19の続きである。
- 【図21】図21は,図20の続きである。
- 【図22】図22は,図21の続きである。
- 【図23】図23は,図22の続きである。
- 【図24】図24は,図23の続きである。
- 【図25】図25は,図24の続きである。
- 【図26】図26は,図25の続きである。

【図27】図27は、上記クローン由来の集積HCV cDNA配列および欧州特許出願公開第318、216号において公開された集積HCV cDNAのセンス鎖の一部を示す。配列の由来となるクローンは、b114a、18g、ag30a、CA205a、CA290a、CA216a、pi14a、CA167b、CA156e、CA84a、CA59a、K9-1(k9-1とも呼ばれる)、26j、13i、12f、14i、11b、7f、7e、8h、33c、40b、37b、35、36、81、32、33b、25c、14c、8f、33f、33g、39c、35f、19g、26g、15e、b5a、および16jhである。この図において、配列の上の3つのダッシュ記号は、推定されるメチオニン開始コドンの位置を示す。また、複合HCV cDNA内にコードされた推定ポリタンパクのアミノ酸配列も、この図に示されている。

- 【図28】図28は,図27の続きである。
- 【図29】図29は,図28の続きである。
- 【図30】図30は,図29の続きである。
- 【図31】図31は,図30の続きである。
- 【図32】図32は,図31の続きである。
- 【図33】図33は,図32の続きである。
- 【図34】図34は,図33の続きである。
- 【図35】図35は,図34の続きである。
- 【図36】図36は,図35の続きである。

【 図 3 7 】 図 3 7 は , 抗 原 マッ ピン グ 研 究 に お い て 使 用 さ れ た 免 疫 学 的 コ ロ ニ ー ス ク リ ー ニン グ 法 の 図 で あ る 。

【図38】図38は,HCVおよび西ナイル(West Nile)ウイルス内にコードされたポリタンパクの疎水性プロファイルの一部を示す。

- 【図39】図39は,図38の続きである。
- 【 図 4 0 】 図 4 0 は , 図 3 9 の 続きである。
- 【図41】図41は,図40の続きである。
- 【図42】図42は,図41の続きである。

【 図 4 3 】 図 4 3 は , 推定 H C V ポリタンパクの親水性 / 疎水性プロファイルおよび抗原 40 指数の記録の一部である。

- 【図44】図44は,図43の続きである。
- 【図45】図45は,図44の続きである。
- 【図46】図46は,図45の続きである。
- 【図47】図47は,図48の続きである。
- 【図48】図48は,図47の続きである。

【 図 4 9 】 図 4 9 は , HCVおよびフラビウイルスにおいて保存されている共直線ペプチドを示す。

【図1】

DNA 12fの翻訳

- TrpThrhrgGlyGluArgCysAspLeuGluAspArgAspArgSerGluLeuSerFroLeu
 61 ACTGGACGCGGGGCGAACGTTGCGATCTGGAAGACAGGGCAGGTCCGAGCTCAGCCCGT
 TGACCTGCGCCCCGGTTGCAACGCTAGACCTTCTGTCCCTGTCCAGGCTCAGGTCGGGCA
- LeuLeuThrThrThrGlnTrpGlnValLeuProCysSerPheThrThrLeuProAlaLeu
 121 TACTGCTTACCACTACACAGTGGCAGGTCCTCCCGTGTTCCTTCACCAACCCTACCAGCCT

 ATCACCACTACCAACAGTAGCAGGGCCTCCCGTGTTCCCAACCCTTCACCAACCCTACCAGGCCTACAAGGAAGTGTTGGGATGGTCGGA
- SerthrglyleuileHisLeuHisGlnAsnileValAspValGlnTyrLeuTyrglyVal
 181 TGTCCACCGGCCTCATCCACCTCCACCACAACATTGTGGACGTGCACTACTTGTACGGGG
 ACAGGTGGCCGGAGTAGGTGGAGGTGGTCTTGTAACACCTGCACGTCATGAACATGCCCC
- GlySerSerIleAlaSerTrpAlaIleLysTrpGluTyrValValLeuLeuPheLeuLeu
 241 TGGGGTCAAGCATCGCGTCCTGGGCCATTAAGTGGGAGTACGTCGTTCTCCTGTTCCTTC
 ACCCCAGTTCGTAGGGCAGGACCCGGTAATTCACCCTCATGCAGCAAGAGGACAAGGAAG
- AlahlaLeuGluAsnLeuVallieLeuAsnAlahlaSerLeuAlaGlyThrHisGlyLeu
 361 AGGCGGCTTTTGGGAACCTCGTAATACTTAATGCAGCATCCTGGCCGGGCGTGCTG
 TCGGCCGAACCTCTTGGACATTATGAATACTCTGTATGGACGCCGGCCTGCCAG
- Val 421 TTGTATC AACATAG

【図3】

- ValCysSerCysLeuTrpMetMetLeuLeuIleSerGlnAlaGluAlaAlaLeuGluAsn 841 GCGTCTGCTCTTGTGGATGATGCTACTCATATCCCAAGCGGAACCGGCTTTGGAGA
- PhePheCysPheAlaTrpTyrLeuLysGlyLysTrpValProGlyAlaValTyrThrPhe
 961 TGTTCTTCTGCTTTGCATGGTATCTGAAGGGTAAGTGGGTCCCCGGAGCGGTCTACACCT
 ACAAGAAGACGAAACGTACCATAGACTTCCCATTCACCCACGGGCCTCGCCAGATGTGGA

- LeuSerFroTyrTyrLysArgTyrIleSerTrpCysLeuTrpTrpLeuGlnTyrFheLeu 1141 CTCTGTCACATATTACAAGGCTATATCAGCTGGTCTTGTGGTGGCTTCAGTATTTC GAGACAGTGGTTATAGTTGGGCATATAGTTGGACACCAGAACACCACGAAGTATAAAAG
- AspAlsVallleLeuLeumetCysAlsValHisProThrLeuValPheAspIleThrLys 1261 GCGGCGCTGTATCTTACTCATGTTGTGTACACCGGATGTGGTATTGAGATGACAC CGCTGGCGACGTAGAATGAGTACACGGCATGTGGGCTGAGACCATAAACTGTAGTGGT
- LeuLeuLeuAlaValPheGlyProLeuTrpIleLeuGlnAla
 1321 AATTSCTSCTSGCGGTCTTCGGACCCCTTTGGATTCTTCAAGCCAG
 TTAACGACGACCGGCAGAAGCCTGGGGAAACCTAAGAAGTTCGGTC

【図2】

DNA k9-1の翻訳

- GlyCysProGluArgLeuAlsSer(ysArgFroLeuThrAspPheAspGlnGlyTrpGly
 1 CAGGCTGTCCTGAGAGGCTAGCCAGCTGCGACCCCTTACCGATTTTGACCAGGGCTGGG
 GTCGGACAGAGATCTTGACGATGGTGAGAGGCTGGGAATGGTAAAATGGTCCAACCC
- ProllesentyralaasnGlySerGlyProAspGlnArgProTyrCysTrpHisTyrPro 61 GCCCTATCAGTATGCCAACGGAGCGCCCCGACCAGCGCCCCTACTGCTGGCACTACC CGGGATAGTCATATGCCTACTGCTGGGCGTGCTGGGGGATAGCAGCCGTGATGG

- GluAsnAspThrAspValPheValLeuAsnAsnThrArgProProLeuGlyAsnTrpPhe
 241 GTGAAAATGATACGGACGTCTTCGTCCTTAACAATACCAGCCCACCGCTGGGCAATTGGT
 CACTTTTACTATGCTGCAGAGCAGGAATTGTTATGGTCGGGGGGGACCGGTAACCA
- GlyCysThrTrpMetAsnSerThrGlyPheThrLysValCysGlyAlaProProCysVal
 TGGGTGTACCTGGATGAACTCAACTGGATCACAAGTGTGGGAGGACAC
 AGCCAACTGGACTACTGTGATTGACCTAGTGTTTCAACGCCTGGGGAGGAACA
- IleGlyGlyAlaGlyAsnAsnThrLeuHisCysProThrAspCysPheArgLysHisPro
 361 TCATCGGAGGGCGGCAACAACACCCTGCACTGCCCCACTGATTGCTTCCCCAAGCATC
 AGTAGCCTCCCGCCGCTGTTGTCGGGAGCGTACTGACGGTGACTAACGAGGCGTTCTAG
- AspalaThrTyrSerArgCysGlySerGlyProTTpIleThrProArgCysLeuValAsp CGGACGCCACATACTTTGGTGCGGCTCCGGTCCCTGGATCACACCCAGGTGCCTGGTCG GCCTGCGGGTTATGACAGCCACAGGCCAGGACTAGTGTGGGTCCAGGACTAGC

- ArgCysAspleuGluAspArgAspArgSerGluLeuSerProLeuLeuLeuTh-ThrThr
 AACGTTGCGATCTGGAAGATAGGGACAGGTCCGAGCTCAGCCCGTTACTGCTGACACACTA
 TTGCAAGCTGAAGCTTCATCCCTGTCCAGGCTGAGTCGGGCAATAGACGACTGGTGAT
- GINTIPGINVALLeuProCysSerPheThTThrLeuProAlaLeuSerThrGlyLeuIle 661 CACAGTGGCAGGTCCTCCGGTGTTCCTTCACAGCCTGCCAGCCTTGTCCACCGGCTCA GTGTACCGGTCCAGGGGCACAAGGAGTGTTGGGAGGGTGGAACAGGTGGCGGAGT
- SETTPAlaIleLysTrpGluTyxVslValLeuLeuPheLeuLeuLeuAlaAspAlaArg
 781 CGTCCT3GGCATTAGTGGGGGTAGGTGCTCTCTTCTTCTTTGTTGAGAGGGG
 GCAGGACCGGTAATTAGCCTCATGCAGCAGGAGAGAGAAGAAGAAGAAGAAGATGACTGCGGG

【図4】

- AlatrpGluthralaargHisthrProValksnSertrpLeuGlyAsnIleILeMetPhe
 1 TGCGTGGGAGACAGCAAGACACTCCAGTCAATTCCTGGCTAGGCAACATAATCATGTT
 ACGCACCCTCTGTCGTTCTGTGTGAGGTCAGTTAAGGACCGATCCGTTGTATTAGTACAA
- AlaProThrLeuTrpAlaArgMetIleLeuMetThrHisPhePheSerValLeuIleAl
 121 TGCCCCCACACTGTGGCGAGGATGATACTGATGACCCATTCTTTAGCGTCCTCTATAGC
 ACGGGGTGTGACACCCCCCCTACTACTAGCACTGCTGAAGAATGCGGGATATG
- ArgAspGinLeuGluGinAlaLeuAspCysGluIleTyrGlyAlaCysTyrSerileGlu 181 CASGGACCACCTTGAACAGGCCCTCGATTGCGAGATCTACGGGGCTTGCTACTCATAGA GTCCTGGTCGAACTTGTCCGGGAGCTAAGCCTCTAGATGCCCCGAGACGGTAGCGATAG
- ProLeuAspLeuProProIleIleGlnArgLeu
 241 ACCACTTGATCTACCTCCAATCATTCAAAGACTC
 TGGTGAACTAGATGGAGGTTAGTAAGTTTCTGAG

【図5】

DNA 13iの翻訳

- GluAsnAspThrAspVelPheValLeuAsnAsnThrArgProProLeuGlyAsnTrpPhe
 GluAsnAspAraGGACSTCTTCGTCCTTAACATACCAGCCACCGCTGGGCATTGGT
 CACTTTACTATGCTGCAGAGAGGAATTGGTTAGGTCGGTGGGGACCGGTTAACCA
- GlyCysThrTrpMetAsnSerThrGlyPheThrLysValCysGlyAlaProProCysVal
 TCGGTTGTACCTGGATGAACTCAACTGGATTCACCAAAGTGTGCGGAGGCCTCCTTGTG
 AGCCAACATGAACTGATTCACTTAACTGTTTAACTGCACCAACGAACAC
- IleGlyGlyAlaGlyAsnAsnThrLeuHisCysProThrAspCysPheArgLysHisPro
 181 TCATCGGAGGGGGGCAACACCCTGCACTGCCCACTGATTGCTTCCGCAAGCATC
 AGTAGCTTCCCCCGTTGTTTGTGGAGGTGTGCTAGCAGGGGGTACTAATGCAAGGGGTGCTACTA
- TyrProTyrArgLeuTrpHisTyrProCysThrileAsnTyrThrilePhelysIleArg
 301 ACTACCCGTATAGGCTTTGGCATTATCCATCACTACTACACCACTATTTALAHTCA
 TGATGGGCATATCCGAACCGTAATAGGAACATTGGTAGTTGTATGTGTATTTAGT
- MetTyrvalGlyGlyValGluHisArgLeuGluAlaAlaCysAsnTrpThrArgGlyGlu 361 GGATGTACGTGGAGGGGGGAGCACAGGGTGGAGGCGCGTGCACCGGGAGGTGAGCCGGGGG CCTACATGACACCGCCCCCAGCTGGTGCGACCTTGACGGAGGTTACCTGACCGCCCGG
- GlnTrpGlnVelleuProCysSerPheThrThrleuProAleLeuSerThrGlyLeu
 481 AcAGTGGCAGGTCCTCCCTGTTCCTTCACACCCTGCCAGCCTTGTCCACCGGCCTA
 GTGTCACCGTCAGGAGGGCACAAGGAGTGTTGGGACGGTGGAACAGGTGGCCGGAGT

【図6】

DNA 26jの翻訳

- ProLeuThrAspPheAspGlnGlyTrpGlyProIleSerTyrAlaAsnGlySerGlyPro
 61 ACCCCTTACCGATTTTGACCAGGGTTGGGGCCCTATCAGTTATGCCAAGGGAAGCGGCCC
 TGGGGAATGGCTAAAACTGGTCCCGACCCCGGGATAGTCAATACGGTTGCCTTCGCCGGG
- ASPGInArgProTyrCysTrpHisTyrProProLysProCysGlyIleValProAlaLys 121 CGACCAGCGCCCCTACTGCTGGCACTACCCCCCAAAACCTTGCGGTATTGTGCCCGCGAA GCTGGTCSCGGGGATAACGACGGTTTTTGGAAACCACTAACACGGGCGTT
- --- 13;Lの重複部分 --SerValCysGlyProValTyrCysPhethrProSerProValValVal
 181 GAGTGTGTGGGCCGGTATATTGCTTCACTCCCAGCCCCGTGGTGGTGGG
 CTCACACACACCACGCCATATAACGAAGTGAGGTCGGGCACCACCACCA

【図8】

DNA CAP4aの翻訳

- GlnGlyCysAsnCysSerileTyrProGlyHisIleThrGlyHisArgHetAlaTrpAsp

 CGCAAGGTTGCAATGGTCTATCTATCCGGCCATATAACGGGTCACCGCATGGCATGGG
 GCGTTCCAACGTTAACGAGATAGATAGGGCCGGTATATTGCCCAGTGGCGTACCCTACCC
- MetHetNetAsnTrpSerProThrThrAlaLeuValHetAlaGlnLeuLeuArgIlePro
 61 ATATGATGATGACTGGTCCCCTACGACGGGTTGGTAATGGTCAGGTGCTCGGAACC
 TATACTACTACTTGACCAGGGGTTGCTGCCCCAACCATTACCGAGTCGACGAGGCCTAGG
- GlnAlaileLeuaspMetlleAlaGlyAlaHisTrpGlyValLeuAlaGlyIleAlaTyr 121 CACAAGCCATCTTGGACATGATCGCTGGTGCTCACTGGGAGGTCCTGGGGCATAGCGT GTGTTCGGTGGAACCTTACTAGCGACCACGAGTAACCCCTCAGGACCGCCCGTATTGCA
- AspalaGluThrHisValThrGly
 TCGACGCGGAAACCCACGTCACCGGGGAGCTGCCCCTTTGGGTGCAGTGGCCCC

【図9】

DNA CA156eの翻訳

- GlyAspLeuCysGlySerValPheLeuValGlyGlnLeuPheThrPheSerProArgArg
 121 GGGGGACCTATGCGGGTTCTTTCTTGTCGGCCAACTGTTCACCTTCTCTCCAGGCC
 CCCCCTGGATACGCCCAGACAGAAAGAACAGCCGGTTGACAAGTGGAAGAGAGGGGTCCGC
- HisTrpThrThrGlnGlyCysAsnCysSerIleTyrProGlyHisIleThrGlyHisArg
 181 CCACTGGACGACGCAAGGTTGCAATTGTTTATCTATCCCGGCCATATAAACGGGTCACCG
 GGTGACCTGCTGCGTTCCAACGTTAACGAGATAGATAGGCCCGGTATATTGCCCAGTGGC
- LeuArglleProGlnala
 301 GCTCCGGATCCCACAAGCC
 CGAGGCCTAGGGTGTTCGG

【図7】

DNA CA59aの翻訳

- LeuValNetAlaGinLeuLeuArgileProGinAlaTleLeuAspMetIleAlaGiyAla 1 TTGGTAATGGCTCAGCTGCTCCGGATCCCACAGCCATCTTGGACATGATGGCTGGTGT AACCATTACCGAGTGCGAGAGGCTTAGGGTGTTGGTTAGATGACTAACCATGA
- HisTrpGlyValLeuAlaGlyIleAlaTyrPheSerMetValGlyAsnTrpAlaLysVal
 61 CACTGGGGAGTCCTGGGGGGATAGCGTATGTCTCATGGTGGGGAACTGGGCGAAGGTC
 GTGACCCCTCAGGACCGCCCGTATCGCATAAAGAGGTACCACCCCTTGACCCGCTTCCAG
- LeuvalvalLeuLeuLeuPheAlaGlyValAspAlaGluThrHisValThrGlyGlySer 121 CTGGTAGTGCTGCTGTTATTTGCCGGGGTGCAGCGGGAACCCAGTACCGGGGAACC GACCATCACGAGGAGATAAACGGCCGCAGCTGGGCCTTTGGGTGAAGTGGCCCCCTTCA
- AlaGlyHisthrvalSerGlyPheValSerLeuLeuAlaProGlyAlaLysGlnAsnVal 181 GCCGGCACACTGTGTCTGGATTTGTTAGCTCTCTGGCCACGAGCCGAAGCAGAACGAC CGGCCGGTGTGACAGACCTAACCAATGGAGGAGGTGGTCCGGGGTTCGTGCAG
- GlnLeuileAsnthrasnGlySerTrpHisLeuAsnSerThrAlaLeuAsnCysAsnAsp 241 CAGCTBATCALACGCAACGGCAGTTGGCACCTCAATAGCAGGCCCTGAACTGCAATGG GTGGACTAGTTGTGGTTGCCCTCAACCGTGGAGTTATGCTGCGGGGACTTGACTTACTA
- SerleuAsnThrGlyTrpLeuAlaGlyLeuPheTyrHisHisLysPheAsnSerSerGly
 101 AGCCTCAACACCGGCTGGTTGGCAGGGCTTTTCTATCACCACAGTTCAACCTTCAGGC
 TCGGAGTTGTGGCCGACCAACCGTCCCGAALAGATGGTGTGTAAAGTTCGAAGTCGA
- ----- K9-/との重視部分 -----CysproGluArgLeuAlaSerCysArgFro
 361 TGTCCTGGAGGGTAGCCAGCTGCGGACCCC
 ACAGGACTCTCCGATCGGTCGACGGCTGGGC

【図10】

DNA CA /67bの翻訳

- SerThrolyLeuTyrHisvalThrAsnAspCysProAsnSerSerIleValTyrGluAle
 CTCCACGGGGCTTTACCACGTCACCAATGATTGCCTAACTCGACTATTGTGTACGAGG
 GAGGTGCCCCGAAATGGTGCAGTGGTTACTAACGGGATTGACCTCATAACACATGCTCCG
- ArgcystrpValAlaMetThrProThrValAlaThrArgAspGlyLysLeuProAlaTh
 121 GAGGTGTTGGGTGGCGATGACCCCTACGGTGGCCACAGGGATGGCAAACTCCCGGGA
 CTCCACAACCCACCGCTACTGGGGATGCCACCGGTGGTCCCTACCGTTTGAGGGGGCGCTG
- GlnieuargargiisīleaspleuleuvalGlySeralethrieucySSeralatueury 18日 GCAGCTTCGACGTCACATCGATCGCCTCTCGGGGAGCCTACCCTCGTCTGCGCCCTCTA CGTCGAGCTGCAGTGTAGCTAGACGACAGCCCCGCGATGGGAGACAAGCCGGGAGAT
- ValGlyAspLeuCysGlySerValPheLeu 241 CGTGGGGGACTTGTGCGGGTCTGTCTTTCTTG GCACCCCCTGAACACGCCCAGACAGAAAGAAC

【図11】

DNA SSCA 2/6aの翻訳

- ArgargargserargasnleuglylysvalileaspthrleuthrcysglyPhealaasp 1 CCCGGCGTAGGTCGCGCAATTTGGGTAAGGTCATCGATACCCTTACGTGCGGCTTTGGCG GGGCCGCATCCAGCGCGTTAAACCCATTCCAGTAGCTATGGGAATGCACGCCGAAGCGGC
- LeuMetGlyTyrIleProLeuValGlyAlaProLeuGlyGlyAlaAlaArgAlaLeuAla

 ACCTCATGGGGTACATACCGCTCGTCGGCGCCCCTCTTGGAGGCGCTGCCAGGGCCCTGG
 TGGAGTACCCCATGTATGGCGAGCAGCGGGGGGAGAACCTCCGGGACGGTCCCGGGACC
- HisGlyValArgValLeuGluAspGlyValAsnTyrAlaThrGlyAsnLeuProGlyCy 121 CGCATGGCGTCCGGGTTCTGGAGACGCGTGAACTATGCAACAGGGAACCTTCCTGGTT GCGTACCGCAGGCCCAAGACCTTCTGCCGCACTTGATACGTTGTCCCTTGGAAGGACCAA
- Glnvalargasnserthrolyleutyrhisvalthrashaspcysproasnserserile 241 ACCAAGTGCGCAACTCCACGGGGCTTTACCACGTCACTACATGATTGCCCTAACTCGAGTA TGGTTCACGCGTTGAGGTGCCCCGAAATGGTGCAGTGGTTACTAACGGGATTGAGCTCAT
- GlyAsnAlaSerArgCysTrpValAlaMetThrProThrValAla
 361 AGGGCAACGCCTCGAGGTGTTGGGTGGCGATGACCCCTACGGTGCCC
 TCCCGTTGCGGAGCTCCACAACCCACCGCTACTGGGGATGCCACCGG

【図12】

DNA SS CA 290aの翻訳

- ThrarglysThrserGluArgSerGlnProArgGlyArgArgGlnProIleProLysAla CGACGAGAAAGACTTCCGAGCGGTCGCAACCTCGAGGTAGACGCCAGCCTATCCCCAAGG GCTGCTCTTTCTGAAGGCTCGCCAGCGTTGGAGCTCCATCTGCGGTCGGATAGGGGTTCC 121
- Argargprosluglyargthrtrpalaglnproslytyrprotrpproleutyrglyasn rcstcgccccaaggccagaccragacrcagcccgggracccttgccccccccatagca gcagccgggctcccgtcctggacccgagtcgggcccatgggaaccggggagataccgt 181
- ProThrAspProArgArgArgSerArgAsnLeuGlyLysVallleAspThrLeuThrCys GCCCCACAGACCCGGGGTAGGTCGCGCAATTTGGGTAAGGTCATCGATACCCTTACGT GGGGGTGTCTGGGGGCCCGATCCAGGGGTTAAACCCATTCCAGTAGCTATTGGAATGCA 301
- GlyPheAlaAspLeuMetGlyTyrileProLeuValGlyAlaProLeuGlyGlyAlaAla GGCTTCGCCGACCTCATGGGGTACATACCGCTCCTCGGCGCCCCTCTTGGAGGGGTG CCGAAGCGGCTGGAGTACCCCATGTATGGCGAGCAGCCGCGGGGAGAACCTCCGCGAC
- CA2/14との 重複部分
 ArgAlaLeuAlaHisGlyValArgValLeuGluAspGlyValAsnTyrAlaThrGlyAsn
 GestCCCGGGCATGGGGTCGGGTTCTGGGAAGAGGGGGTGAACTATGCAACAGGGA
 GGTCCGGGGACCGCTACCGCAAGGACTTCTGCGCACTATATACGTTGTCCCT
- LeuProGlyCysSerPheSerThrPhe ACCTTCCTGGTTGCTCTTTCTCTACCTTC TGGAAGGACCAACGAGAAAGAGATGGAAG

【図14】

601 CCACAGACCCCGGCGTAGGTCGCGCAATTTGGGTAAGGTCATCGATACCCTTACGTGCG GGTGTCTGGGGGCCGCATCCAGCGCGTTAAACCCATTCCAGTAGCTATGGGAATGCACGC

661 GCTTC

. 長ぃ HCV ORFの 間始点。 * 大きぃ.HCVポリタンパクの推定される第1 Pミ) 酸

! ** 大きい HCVポリケンベクの 非文 > 1 ** 大きい HCVポリケンベクの 非文 > 1 ** (翻訳 調節の役割を果た(得る) コードされた小さい 推定 ヤプチド

【図15】

DNA CA205aの翻訳

- ValleuGlyArgGluArgProCysGlyThrAlaOP AM GlyAlaCysGluCysProGlyGrotTaGGTCGGAAAGGCCTTGTGGTACGCTGATAGGGTCCTCACGAGTCCCCGGGCAGACCCACGACGACCACCACGAGGCTCACGAGGACCACA
- 61
- ASNTHRASNATGATGPTOGINASPValLysPheProGlyGlyGlyGlyGlnIleValGlyGly AACACCAACCATCACCAGGACGTCAAGTTCCGGGTGGCGGTCAGATCGTTGGTGGA TTGTGGTTGGCAGCGGGTTCTCTCACTTTCAAGGCCCACCGCCAGTCTTAGCAACCACCT 121
- ValTyrLeuLeuProArgArgGlyProArgLeuGlyValArgAlaThrArgLysThrSer GTTTACTTGTTGCCGGCAGGGGCCTAGATTGGGTTGGCGGCGGAGGAAAAGACTTCC CAAATGAAACGGCGGTCCCGGGATCTAACCCACACGGGGTGCTCTTTCTGAAG 181
- CA 2904 との重複部分
 GluargSerGlnProArgGlyArgArgGlnProTleProLysAlaArgArgProGluGly
 GAGCGGTGCCAACCTCGAGGTAGACGTCAGCTATCCCCAAGGCTCGTCGGCCCGAGGGC
 CTGGCCAGCCTTGGAGGTCACTCTGAGTTGGGTTAGGGGTTCCGAGCAGCGGGTTCCG 241
- 301
 - * = 推定の開示メチオニンコドン

【図13】

DNA ag30aの翻訳

#MetSerValValGlnProProGlyProProLeu

#MetalaleuValOP CGCAGAAAGCGTCTAGCCATGGGGTTAGTATGAGTGTGGTGCAGCCTCCAGGACCCCCC GCGTCTTTCGCAGATCGGTACCGCAATCATACTCACAGCACGTCGGAGGTCCTGGGGGGG ProGlyGluProAM

61 TCCCGGGAGAGCCATAGTGGTCTGCGGAACCGGTGAGTACACCGGAATTGCCAGGACGAC AGGGCCCTCTCGGTATCACCAGACGCCTTGGCCACTCATGTGGCCTTAACGGTCCTGCTG

#MetProGlyAspLeuGlyValProProGlnAsp

 $\tt CGGGTCCTTTCTTGGATCAACCCGCTCAATGCCTGGAGATTTGGGCGTGCCCCCGCAAGAGCCCAGGAAAGAACCTAGTTGGGCGAGTTACGGACCTCTAAACCCGCACGGGGGCGTTCT$

OP AM GlyAlaCys CysAM

GluCysProGlyArgSerArgArgProCysThrMetSerThrAsnProLysProGlnLys

241 GCGAGTGCCCCGGGAGGTCTCGTAGACCGTGCACCATGAGCACGAATCCTAAACCTCAAA CCGCTCACGGGGCCCTCCAGAGCATCTGGCACGTGGTACTCGTGCTTAGGATTTGGAGTTT

LysAsnLysArgAsnThrAsnArgArgProGlnAspValLysPheProGlyGlyGlyGln

AAAAAACAACGTAACACCAACCGTCGCCCACAGGACGTCAAGTTCCCGGGTGGCGGTC IleValGlyGlyValTyrLeuLeuProArgArgGlyProArgLeuGlyValArgAlaThr

361 AGATCGTTGGTGGAGTTTACTTGTTGCCGCGCAGGGGCCCTAGATTGGGTGTGCGCGCGA TCTAGCAACCACCTCAAATGAACAACGGCGCGTCCCCGGGATCTAACCCACACGCGCGCT

 ${\tt ArgLysThrSerGluArgSerGlnProArgGlyArgArgGlnProIleProLysAlaArg}$

CGAGAAAGACTTCCGAGCGGTCGCAACCTCGAGGTAGACGTCAGCCTATCCCCAAGGCTC
GCTCTTTCTGAAGGCTCGCCAGCGTTGGAGCTCCATCTGCAGTCGGATAGGGGTTCCGAG ArgProGluGlyArgThrTrpAlaGlnProGlyTyrProTrpProLeuTyrGlyAsnGlu

:__ CA 290a to 重複部分 __

GTCGGCCCGAGGGCAGGACCTGGGCTCAGCCCGGGTACCCTTGGCCCCTCTATGGCAATGCAATGCAGCCGGGCTCCCGTCCTGGACCCGAGTCGGGCCCATGGGAACCGGGGAGATACCGTTAC GlyCysGlyTrpAlaGlyTrpLeuLeuSerProArgGlySerArgProSerTrpGlyPro

541 AGGCTGCGGGTGGCCGGATGGCTCCTGTCTCCCCGTGGCTCTCGGCCTAGCTGGGGCC TCCCGACGCCCACCCGCCCTACCGAGGACAGAGGGGCACCGAGAGCCGGATCGACCCGG

 ${\tt ThrAspProArgArgArgSerArgAsnLeuGlyLysValIleAspThrLeuThrCysGly}$

【図16】

DNA 1gの翻訳

#ProProOP
#SerThrWetAsnHisSerProValArgAsnTyrCysLeuHisAlaGluSerValAM Pro
LeuHisHisGluSerLeuProCysGluGluLeuLeuSerSerArgArgLysArgLeuAla CTCCACCATGAATCACTCCCCTGTGAGGAACTACTGTCTTCACGCAGAAAGCGTCTAGCCGAGGTGGTACTTAGTGAGGGGACACTCCTTGATGACAGAAGTGCGTCTTTCGCAGATCGG

#MetSerValValGlnProProGlvProProLeuProGlvGluProAM

121 GGTCTGCGGAACCGGTGAGTACACCGGAATTGCCAGGACGACCGGGTCCTTTCTTGGATCCCAGACGCCTTGGCCATCATGTGGCCTTAACGGTCCTGCTGGCCCAGGAAAGAACCTAG

---- ag 30a kg 重複部分 ------#MetProGlyAspLeuGlyValProProGlnAspCysAM

OP AM GlyAlaCysGluCysProGlyArgSer

TGGGTCGCGAAAGGCCTTGTGGTACTGCCTGATAGGGTGCTTGCGAGTGCCCCGGGAGGTACCCAGCGCTTTCCGGAACACCATGACGGACTATCCCACGAACGCTCACGGGGCCCTCCA

ArgArg 301 CTCGTAGA GAGCATCT

* - 長い HCV ORFの 開始点: = (翻訳調節の役割を果た(得3)コードされた小さい推定へ・794ド

【図17】

DNA 16jhの翻訳

150との重複部分 ---

- TUPFOLEUASPLEUPFOPFOILEILEGLNAFGLEUHISGLY
 AACCACTGGATCTACCTCCAATCATTCAAAGACTCCATGGC
 TTGGTGACCTAGATGAGGTTAGTAAGTTCTGAGGTACCG
- LeuSerAlaPheSerLeuHisSerTyrSerProGlyGluIleAsnArgValAlaAlaCys CTCAGGGGATTTCACTCCACAGTTACTCTCCAGGTGAAATTAATAGGGTGGCCGCATGC GAGTCGCGTAAAAGTGAGGGTGTCAATGAGAGGTCCACTTTAATTATCCCACCGGCGTACG 61

- 181
- 241

* - 又りしれがの異質性

【図19】

- ThryalserGlyPheValSerLeuLeuAlaProGlyAlaLysGlnAsnValGlnLeuIlACTGGTCTGGATTTGTTAGCCTCCTCGCACCAGCCGCCAACCAGACGTCCAGCTCAGCTGATCTGAAACATCGGAGGAGCGTGGTCCGCGGTTCGTCTTGCAGGTCGACTAC
- 961
- 1021
- 1081
- 1141
- 1201
- 1261
- 1321

- 1501
- 1561
- 1621
- 1681
- 1741
- LysTrpGluTyrValValLeuLeuPheLeuLeuLeuAlaAspAlaArgValCysSerCys AAGTGGGAGTACGTCGTTTCCTGTTCCTTGCTTGCAGACGCGGGGTTTGCTCTGCTGC

【図18】

DNA pil4aから DNA 15eの併合 DRF

(pil4a/CAl67b/CAl56e/CA84a/CA59a/K9-1/12f/14i/11b/7f/7e/ 8h/33c/40b/37b/35/36/81/32/33b/25c/14c/8f/33f/33g/39c/ 35f/19g/26g & 15e)

- ArgSerArgAsnLeuGlyLysVallleAspThrLeuThrCysGlyPheAlaAspLeuMet AGGTCGCCAATTTGGGTAAGGTCATCGATACCCTTACGTGCGGCTTCGCCGACCTCATC TCCAGCGGTTAAACCCATTCCAGTACGTATGGAATACCACCCGAAGGGGCTGGAGTAC
- 121
- 181
- 241
- lualaalaaspalatleleuhisthipioglycysvalpiocysvalaiggluglyasn AGGGGGCGATGCCATCCTGCACACTCCGGGGTGCGTCCCTTGCGTTGGGTAGGGCAAC TCCGCCGGCTACGGTAGGACGTGTGAGGCCCCACGCAGGGAACGCAAGCACTCCCGTTG 301
- 361
- lathrGlnLeuArgArgHisIleAspLeuLeuValGlySerAlathrLeuCysSerAla CSACGCACCTTCGACGTCACATCGATTTGTCGGGAGCGCCACCTCTGTTCGGCG GSTGGGTGGAAGCTCACATGTAGGTAACACAACAGCCGCTGCGGGAGCAAGCCG
- 481
- 541
- 601
- 661
- ValleualaglyilealatyrpheSermetValGlyasntrpalalysValleuValVal GTCCTGGCGGGGCATAGCGTATTTCTCCATGGTGGGGAACTGGGGGAAGGTCCTGGTAGTG CAGGACCGCCCGTATCGCATAAAGAGGTACCACCCCTTGACCCGCTTCCAGGACCATCAC 721
- LeuLeuLeuPheAlaGlyValAspAlaGluThrHisValThrGlyGlySerAlaGlyHis CTGCTGCTATTTGCCGGGGTGGAGGGGAAACCCACGTCACGGGGGAAGTGCGGCCAC GACGACGATAAACGGCCGCAGCTGCGCCTTTGGGTGCAGTGGCCCCTTCACGGCCGGTG 781

【図20】

- 1921
- oleuleuleuleuleuleualaleuProGlnargalatyralaleuaspThrGluVal TCTCCTCCTCCTCCTCTTGGGGTTGGCCCAGGGGGGTACGCGGGGGAGACACGGAGGGG
- 2101
- 2161
- laginleuHisvaltrpileProProLeuAsnValArgglyGlyArgAspAlaValli SGCAACTGCACGTGTGGATTCCCCCCCTCAACGTCCGAGGGGGGGCGGACGCCGTCAT SGGTTGACGTGCACACCTAAGGGGGGGAGTTGCAGGCTCCCCCCGCGGCTGCGGCAGTAC
- 2281
- 2341
- 2401
- 2461

- AspllelleAspGlyLeuProValSerAlaArgArgGlyArgGluTleLeuLeuGlyProGACATCAACGGCTTGCCTGTTTCCGCCCGGAGGGGCCGGAGATACTGCTCGGGCCA

【図21】

- ValGluGlyGluValGlnIleValSerThrAlaAlaGlnThrPheLeuAlaTh GTGGAGGGTGAGGTCAGATTGTGTCAACTGCTGCCAAACCTTCCTGGCAAC CACCTCCCACTCCAGGTCTAACACAGTTGACGACGGGTTTGGAAGGACCGTTG
- GlyProValIleGlnMetTyrThrAsnValAspGlnAspLeuValGlyTrpProAlaPro GGTCCTGTCARCCAGATGTATACCAATGTAGACCAAGACCTTGTGGGTGGCCGGCTCC CCAGGACAGTAGGTCTACAATATGGTTACATACTGGTTGTGAACACCGACGGGGGAGG 2941
- 3061
- 3121
- 3181
- 3241
- 3361

- 3601
- 3661
- ValThrValProHisProAssileGluGluValAlaLeuSerThrThrGlyGluIlePro GTCACTGTGCCCACTCCAACATCAAGAAGTAGTTGTTCTGTCACCACCGGAAGAATCCCT CAGTGACACGGGGTAGGGTTTAGGTCTCTCAAGGAAGAAGGTGTGGCCTTCTTGGGA 3721
- PheTyrGlyLysAlaIleProLeuGluValIleLysGlyGlyArgHisLeuIlePheCys
 TTTTACGGCAAGGCTATCCCCCTCGAAGTAATCAAGGGGGGGAGACATCTCATCTTCTGT

【図22】

- 4081
- 4141
- 4201
- 4321
- GlnThrLysGlnSerGlyGluAsnLeuProTyrLeuValAlaTyrGlnAlaThrValCys CAGACAAAGCAGAGTGGGAGAACCTTCCTTACCTGGTAGCGTACCAAGCCACCGTGTGC GTCTGTTTCGTCTCACCCCTCTTGGAAGGAATGGACCATCGCATGGTTCGGTGGCACACG 4381

- ValValThrSerThrTrpValLeuValGlyGlyValLeuAlaAlaLeuAlaAlaTyrCy: grcgrcAcgAgcAccroggrgcTcgrragcggGgrcTrgcTrTgGcCGCGTATGGC AgcAgTgcTggTgGACCAgGAGCAACcCGCGCAGGACGAGGAACACGGGCGTAACG
- LeuSerThrGlyCysValVallleValGlyArgValValLeuSerGlyLysProAlaile CTGTCAACAGGCTGGTGGTCATAGTGGGCAGGGTCGTCTTGTCGGGAACCGGGCAATC GACAGTTGTCGGAACCAGTAGACCGTCCAGGAACAGGCCTTGGGCGTTAG

【図23】

- LeuLeuGlnThrAlaSerArgGlnAlaGluValIleAlaProAlaValGlnThrAsnTrp CTCCTGCAGACCGCGTCCCGTCAGGCAGAGGTTATCGCCCCTGCTGTCCAGACCAACTGG
- 4921
- 4981
- Alaalavalthrserproleuthrthrserginthrleuleupheasnileleuglygly GCTGCTGTGACCAGCCCACTAGCACTAGCAAACCCTCCTCTTGAACAATATTGGGGGG CGACGACAGTGGTCGGGTGATTGGTGATCGGTTTGGGAGGAGAAGTTGTATAACCCCCCC
- 5101
- 5161
- 5221
- 5341
- 5401

- IleThrGlyHisValLysAsnGlyThrMetArgTleValGlyProArgThrCysArgAsn ATCACTGGACATGTCAAAAACGGGACGATGAGGATCGTCGTCCTAGGACCTGCAGGAAC

【図24】

- TAGIGACCTGTACAGTTTTTGCCCTGCTACTCCTAGCAGCCAGGATCCTGGACGTCCTTG
- 5881

- roprocyslysproleuleuargGluGluValSerpheargValGlyleuhisGluTyr CCCCCTGCAAGCCCTTGCTGCGGAGGAGTATCATTCAGAGTAGACTCCACGAATAC GGGGGACGTTCGGGAACGACGCCCTCCTCATAGTAAGTCTCATCCTGAGGTGCTTATG
- 6181
- ProproSerValAlaSerSerSerAlaSerGlnLeuSerAlaProSerLeuLysAlaThr CCCCCCTCTGTGGCAGCTCCTGGCTAGCAGCTATCGGTCCATCTTCAAGGCAAG GGGGGGAGACACGGTGAGGAGCCAGTTGGTGGATAGGGAGGTAGAGATTCGTTG 6241
- 6361
- rpheasproleuvalalaglugluaspgluarggluileServalproalagluile Cttcgatcccttgtgcgcagcagcagcagcagtgcactccctacccgcagaatc Gaagctaggcgaacaccgcctcctcctgctcscctctagaggcatgggcgtctttag
- 6481

- Leuthrgluserthrleuserthralaleualagluleualathrargserpheglyser CTCACTGAATCAACCCTATCTACTGCCTTGGCCGAGCTGGCCACAGAACCTTTGGCAG GAGTGACTTAGTTGGGATAGATGACGGAACCGGCTCGAGCGGTGGTCTTCGAAACCGTCG

【図25】

- 6781 GGYCYSPTOPTOASSDERASPALBGLUSETTYTSETSETMETPTOPTOLEUGluGlyGly 6781 GGTGGCCCCCGGGACTCGAGGGTGAGTCCTATTCCTCATGCCCCCCCTCTGAGGGGAG CCGACGGGGGGGCTGAGGCTGCGACTCAGGATAAGGAGGTACGGGGGGACCTCCCCCTC
- ProdiyAsprroAspLeuSerAspdiySerTrpSerThrValSerSerGluAlaAshAla
 6841 CCTGGGGATCCGGGATCTTAGCGACGGGTCATGGTCAACGGTCAGTAGTAGTGAGCCAACGG
 GGACCCCTAGGGCTAGAATGGCTGCCAGTAGCAGTTGCCAGTTATCACTTCAGTTCAG
- GluAspValValCysCysSerMetSerTyrSerTrpThrGlyAlaLeuValThrProCys 5901 GAGGATGTGGTGTGCTCAATGTCTTACTCTTGGACAGGGGCACTGTCACCCGGTGC CTCCTACAGGCACAGACGATGAGAATGAGACTGTCGGGTAGAGAGTGGGGACG
- ASTLEUVALTYTSETTHTTHTSETATGSETALGCYSGINATGGINLYSLYSVALTHTPHE
 AATTTGGTGTATTCCACCACCTCACGCAGTGCTTGCCAAAGGCAGAAGAAGTCACATTT
 TTAAACCACATTAGGTGGTGGAGTGGGTCACGAACGGTTTCCGTCTTTTCAGTGTALA
- AspArgLeuGlnValLeuAspSerHisTyTGlnAspValLeuLysGluValLysAlaAla 081 GACAGCTGCAAGTTCTGGCAGCGCATTACCAGGAGTTACTAAGGAGGT CTGTCTGAGGTCAAGACCTGTGATGTCGTGAATGTTCCTCCTCAATTTCGTCGG
- AlaserlysvallysalaasnLeuLeuServalGluGluAlaCysSerLeuThrPToPrr 7141 GCOTCAAAGTGAAGCTGCAATCGTGAAGGAAGCTTGCAGCCTGAGCGCCCC CGCACTTTCACTTCCGATGAAGGATGGCATCCCTTCGAACTGGGACTGCGGGGG
- #13SeralalysSerLysPheGlyTyrGlyAlaLysAspValArgCysHisAlaArgLy
 7201 CACTCAGCCAAATCCAAGTTTGGTTATGGGGCAAAAGACGTCCGTTGCCATGCCAGAAA
 GTGAGTCGGTTTAGGTTCAAACCAATACCCGTTTTCTGCAGGCAACGGCAAACGATTTT
- 7261 GCCGTAACCACTAACTCCGTGTGGAAGACCTTCTGGAAGACATGTAACACCAATA
 CGGCATTGGGTTAGTTGAGGCACACCTTTCTGGAGACACTCTCTTTACATTGTGTTAT
 CGGCATTGGTTTAGTTGAGGCACACCTTTCTGGAGACACTCTCTTTACATTGTGTTAT
- AspThrThrIleMetAlaLysAsnGluValPheCysValGinProGluLysGlyGlyArg GACACTACCATCATGGCTAGAACGAGGTTTTCTGCGTTCAGCCTGAGAAGGGGGTCT CTGGATGGTAGTACCAATCTCTCAAAAGAAGGAAGTGGATCTCCCCAACA
- LysProAlaArgLeuIleValPheProAspLeuGlyValArgValCysGluLysMetAle
 7381 AAGCCAGCTCGTCTCATCGTGTTCCCCGATCTGGGCGTGCGCGTGTGCGAAAAGATGGC
- LeuTyrAspValValThrLysLeuProLeuAlaValMetGlySerSerTyrGlyPheGlr
 7441 TTGTACGACGTGGTTACAAAGCTCCCCTTGGCGTGATGGGAAGCTCCTACGGATTCCA
- TyrSerProGlyGlnArgValGluPheLeuValGlnAlaTrpLysSerLysLysThrProTACTCACCAGGACAGGGGTTGAATTCCTCGTGCAAGCGTGGAAGTCCAAGAAAACCCC
- MetGlyPheSerTyrAspThrArgCysPheAspSerThrYalThrGluSerAspTleArg 7561 ATGGGTTCTTGTATGATACGGTGTCTTGACTCGACGTACTGAGGGGACATCGT TACCCCAAGAGCATACTATGGGGACGAACTGAGGTGTCAGTGACTTAGGCA
- ThrGluGluAlaIleTyrGlnCysCysAspLeuAspProGlnAlaArgValAlaIleLy.
 7621 ACGGAGGAGCAATCTACCAATCTTGTGACCTCGACCCCCAAGCCCGCGTGGCCATCAA
- 7681 SerLeuthrGluArgLeutyrValGlyGlyFroLeuthrAsnSerArgGlyGluAsnCys 7681 TCCCTCACCAGAGGCTTTATATTGGGGCCCTCTTACCAATTCAAGGGGAGAACTCA AGGGAGTGGCTTCCGAAATACAACCCCGGGAGAATGGTAAGTTCACCCCCTTTGACG
- GlyTyrArgArgCysArgAlaSerGlyValLeuThrThrSerCysGlyAsnThrLeuThr
 7741 GGCTATCGCAGGTGCCGCGAGCGGCGTACTGACACTAGCTGTGGTAACACCCTCACT

【図26】

- CCGATAGCGTCCACGGCGCGCTCGCCGCATGACTGTTGATCGACACCATTGTGGGAGTGA

- SerLeuArgAlaPheThrGluAlaMetThrArgTyrSerAlaProProGlyAspProPr 7921 AGCCTGAGAGCCTTCACGAGGCTATGACCAGGTACTCCGCCCCCCTGGGGACCCCCC TCGGACTCTCGGAAGTGCCTCGGATACTGGTCATGAGGCGGGGGGACCCCTTGGGGGG
- GlnProGluTyrAspLeuGluLeuIleThrSerCysSerSerAsnValSerValAlaKis CAACCAGAATAGGACTTGGAGCTCATAACATCAGCTCTCCAACGTGTGAGTGGCCCAC GTGGTCTTATCCTGAACCTGGAGTATGTAGAGGAGGGTGCAAGGTAACGGGGT

- AlaArgAspGlnLeuGluGlnAlaLeuAspCysGluIleTyrGlyAlaCysTyrSerIle E221 GCCAGGGACCAGCTTGAACAGGCCCTCGATTGCGAGATCTACGGGGGCCTGCTACTCCATX
- E281 GAACCACTTGATCTACCTCCAATCATTCAAGACTC

【図27】

61

- -319 CACTCCACCATGAATCACTCCCCTGTGAGGAACTACTGTCTTCACGCAGAAAGCGTCTAG GTGAGGTGGTACTTAGTGAGGGGACACTCCTTGATGACAGAAGTGCGTCTTTCGCAGATC
- -259 CCATGGGGTTAGTATGAGTGTCGTGCAGCCTCCAGGACCCCCCCTCCCGGGAGAGCCATA
- GIGGICIGCGGACCGGTGAGTACACCGGAATTGCCAGGACCGGGTCCTTTCTTGG CACCAGACGCCTTGGCCACTCATGTGGCCTTAACGGTCCTGCTGGCCCAGGAAAGAACC
- -139 TCAACCGGCTCAATGCCTGGAGATTTGGGCGTGCCCCCGCAAGACTGCTAGCCGAGTAGT
- 79 GTTGGGTCGCGAAAGGCCTTGTGGTACTGCCTGATAGGGTGCTTGCGAGTGCCCCGGGACCACCATGACGCTCACGGACCACTATCCCACGAACGCTCACGGGCCCCT
- 19 GTCTCGTAGACCGTGCACC
 - Arg Thr MetSerThrAsnProLvsProGlnivsLvsAsn
 - 1 ATGAGCACGAATCCTAAACCTCAAAAAAAAACAACGGTAACACCACACGCCCCACAI
 TACTCGTGCTTAGGATTTTGGAGTTTTTTTTTTTTTTCATTGTGGCAGCGGCTGT
- GIVPTOATGLEUGIVVALATGALATGARGUS VETBYGGYCIVANGGYCINDYSCOCINDYS
- 121 GCCCTAGATTGGGTGTGCGCGCAGCGAAAAGACTTCGGAGGGTCCAACCTCGAGC CCGGGATCTAACCCACACGCGCGCTGCTCTTTCTGAAGGCTCGCCAGCGTTGGAGCTCCC
- TCTGCAGTCGGATAGGGGTTCCGAGCAGCCGGGCTCCCGTCCTGGACCCGAGTCGGGCCC
- 241 TACCOTTGGCCCCTCTATGGCAATGAGGCCTGCGGCGCGGAGGCCTGCTCTCCCCCATGGGAACCGGGGGAGGATGCCTGTCTCCCCAATGGGAACCGGGGGAGGATGACCGTTACTCCCGACGCCCACCCGCCTACCGAGGACAGAGGG
- ArgGlySerArgProSerTrpGlyProThrAspProArgArgArgAsgSerArgAsnLeuGly
 CCTGGCTCTCGGCCTAGCTGGGGCCCCACAGACCCCCGGGGTAGGTCGCCCAAATTTGGG
 GCACGAGAGCCGGATGATGACCCCGGGGTTATGGGCGCGAAACCCC
- GIYAIaProLeuGlyGlyAlaAlaArgAlaLeuAlaHisGlyValArgValLeuGluAsp
 421 GGCGCCCCTCTTGGAGGCGCTGCCAGGGCCCTGGCGCATGGCGTTCTGGAAGAC
 - Thr
- LeuLeuSerCysLeuThrValProAlaSerAlaTyrGlnValArgAsnSerThrGlyLeu 541 CRCTETCTTGGTTGACTGTGCCGGTGCGCTACCAAGTGGGCAACTCCAGGGGCTT GACGAGAGAAGGAGTGACAGGGGGAAGTGGAGTTCAGGCTGTTGAGGTGCCCGGAA
- TyrHisValThrAsnAspCysProAsnSerSerIleValTyrGluAlaAlaAspAlaIle
 601 TACCACGTCACCAATGATTGCCCTAACTCGAGTATTGTGTACGAGGCGGCCGATGCCATC
- LeuHisThrProGlyCysValProCysValArgGluGlyAsnAlaSerArgCysTrpVal
 661 CTSCACACTCCGGGGTGCGTCCCTTGCGTTCGTGAGGGCAACGCCTCGAGGTGTTGGGTG

【図28】

- AlaMetThProThrvalAlaThrArgAspGlyLysLeuProAlaThrGlnLeuArgAr 721 GCGATGACCCTACGGGGCACCACGGGATGCAAACTCCCCGCGACGCACCTTCGACG CCCTACTGGGGATGCCACCGGTGTCCCCTTACACGTTTAGAGGGCCCTCGCGTGAAGCTCC
- HislleAspLeuLeuValGlySerAlaThrLeuCysSerAlaLeuTyrValGlyAspLeu
 781 CACATCGATCTGCTTGTGGGGAGCGCCACCCTCTTTTGGGCCCTCTAGGTGGGGGACCTAG
 CACATCGATCTGCTTTGTGGTGGTGGAGACAGCCGGGGAGCTAGCCGGCGGGGACCAGCCCGGGGAGCAGACAGCCGGGGAGCAGACAGCT
- ThrGlnGlyCysAsnCysSerlleTyrProGlyHis1leThrGlyHisArgMetAlaTrp
 901 ACCCAAGGTTGCAATGCTCTATCTATCTCGGGCCATATAACGGGTCACCGCATGGCATGC
 TGCGTTCCAACGTTAACGAGATAGATAGGGCCGGTATATTGCCCAGTGGCGTACCGTACC
- Val
 AspMetMetMetAsnTrpSerProThrThrAlaLeuValMetAlaGlnLeuLeuArgIl
 961 GATATGATGAACTGGTCCCCTACGACGGCGTTGGTAATGGCTCAGCTGCTACTACTGCTCCGAT
- ProGlnAlaTleLeuAspMetIleAlaGlyAlaHisTrpGlyValLeuAlaGlyIleAla 1021 CCACAAGCCATCTTGGACATGATCGCTGGTGCTCACTGGGGGGCATACCG GGTGTTGGGTGAAGCCTGTATCGCGCACCAGGGTGCCCCTCAGGACCGCCCTATACCG
- ValAspAlaGluThrHisValThrGlyGlySerAlaGlyHisThrValSerGlyPheVal
 1141 GTCGACGGAAACCCACGTACCCGGGGAAGTCCGGCCAACTTGGTTTGGATTTGT
 CAGTTGGGTTTTGGGTTCAGTTGGGTTGTGAAACAA
- HisLeuksnSerThrAlaLeuksnCysAsnAspSerLeuksnThrGlyTrpLeuklaGl CACCTCAATAGCACGGCCCTGAACTGCAATGATAGCCTCAACACCGGCTGGTTGGCAGG GTGGAGTTATCGTGCCGGGACTTGACGTTACTATCGGAGTTGTGGCCGACCAACCGTCC
- ProLeuthraspPheAspGlnGlyTrpGlyProIleSerTyrAlaAsnGlySerGlyPro
 1381 CCCCTTACCGATTTTACCAGGGGTGGGGCCCTATCGGTATGCCAACGGAAGGGGCCCG
 GGGGATGGCTAAACTGCTCCAGCACCCGGGATAGTCAATAGGTTACCTTGCCTTGCCGGGG
- ASPGINATGPTOTYTCYSTTPHISTYTPTOFTOLYSFTOCYSGLYIleValProAlaLy GACCAGGGCCCTACTGCTGGCACTACCCCCAAAACCTTGGGATGTGCCCCCGAA CTGGTGGGGGGATTAGGAGGGGGTTTTGGAAGGCATAAACGGGGCTT
- ArgSerGlyAlaProThrTyrSerTrpGlyGluAsnAspThrAspValPheValLeuAst
 1561 AGGTCGGGCGCCCACCTACAGCTGGGGTGAAAATGATACGGACGTCTTCGTCCTTAA
- AsnThrArgProProLeuGlyAsnTrpPheGlyCysThrTrpMetAsnSerThrLJYFN
 1621 AATACCAGGCCACCGCTGGGCAATTGGTTCGGTTGTACCTGGATGAACTCAACTGGATT

【図29】

- ThrileAsnTyrThrilePheLysIleArgMetTyrValGlyGlyValGluHisArgL ACCATCAACTACACCATATTTAAAATCAGGATGTAGGTGGAGGGTGGAACACAGGG TGGTAGTTGATGTGGTATAAATTTTAGTCCTACATGCACCCTCCCCAGCTTGTGTCCG

- .pCysleuttpttpleugintyfpheleuthratgvalglualaginleuhisvalttp igtgcttgttgttgtggtgttcagtattttctgaccagatggaagggaactscacgststg cacgaaacaccaccaagtatataaagatggttcaccttcgcgttgacgtgaccaca

【図30】

- Argalaalavalcysthrargglyvalalalysalavalaspphelleprovalgluasr AGGGCCGCGGTGTGCACCCGTGGAGTGGCTAAGGCGGTGACTTTATCCCTGTGGAGAAC TCCCGGCCCACACGTGGGCACCTCACCGATTCCGCCACCTGAAATAGGGACACCTCTTC

【図31】

【図32】

- rothpproleuleutyrargleuglyalavalginasngluflethrleuthrhispro caacacccctgctatacagactggggggttttaggaatgaaatgacccctgagggaccca gttgtgggacgatatgtctgaccgggacaagtcttactttagtgggactgcgggg
- ValLeuValGlyGlyValLeuAlaAlaLeuAlaAlaTyrCysLeuSerThrGlyCysVal GTGCTCGTTGGCGGCGTCCTGGCTGCTTTGGCGGGGTBTTGCCTGTCAACAGGCTGCGTG

- ArgGlnAlaGluValIleAlaFroAlaValGlnThrAsnTrpGlnLysLeuGluThrPhe CGTLAGGCAGAGGTTATCGCCCTSGTGTCAGACCAACTGGAAAACTTGAGACCTT GCAGTCGTCTCCAATAGGGGGAGAGAGGTTTGGTTGACCGTTTTAGGCTTGAGTGGAAG
- ProGlyAsnProAlaIleAlaSerLeuwetAlaPheThrAlaAlaValThrSerPro SCCTGGTAACCCCGCCATTGCTTCATTGATGCTTTTACAGCTGCTGTCACCAGCCC LGGACCATTGGGGCGTAACGAAGTAACTACCGAAAATGTCGACGACAGTGGTCGGG

- - ${\tt SerValGlyLeuGlyLysValLeuIleAspIleLeuAlaGlyTyrGlyAlaGlyValAlagly} \\$

【図33】

3321	AG TO TIGGACTOGGGAAGG ICC TCATAGACATCCTTGCAGGG TATGGCGCGGGCGTGGCG
	TCACAACCTGACCCCTTCCAGGAGTATCTGTAGGAACGTCCCATACCGCGCCCGCACCGC

- asnleuleuproalaileleuserproglyalaleuvalvalglyvalvalcysalaala aarctactscccgccarcctctcgcccggagccctggragtggggggggtctggcagca rtagargacggggggggagagggggctcgggagcarcagccgcaccagacaccgc
- IleLeuArgArgHisValGlyProGlyGluGlyAlaValGlnTrpMetAsnArgLeuIle ATACTRCGCCGGCACCTTGGCCGGCGAGGGGCATGCAGTGGATGAACGGGCTGATT TATGAGGGGCCGTGAACCGGGCCGCTCCCCCGTCACTTCACCTACTTGGCCGACTA

- ProlleAsnAlaTyrThrThrGlyProCysThrProLeuProAlaProAsnTyrThrPheCCCATTAGTGCCAACTACAGGTCCGGCCCTGTACCCCTCCTGGCCGAACTACAGGTTCGGGGGAAGTACGGGTATATGCAAGGTTCATTGCAAGGTTCATTGCAAGGTTGTTGCAAGGTTGTTGCAAGGTTGTTGCAAGGTTGTTGCAAGGTTGTTGCAAG

【図34】

- spalagiusertyrsersermetproproleugiugiygiuproglyasproaspleu CGCTGAGTCCTATTCCTCATGCCCCCCTGSGAGGGGGAGCCTGGGATCCGGATCT FGCGACTCAGATAAGGAGTACGGGGGACCTCCCCTTGGACCCTTAGGCCTTAGA

- LeuProlleAsnAlaLeuSerAsnSerLeuLeuArgHisHisAsnLeuValTyrSerThr CTGCCCATCAATGCACTAAGCACTGATGCTAGGTCACCACAATTTGGTGTATTCCACC GACGGGTGGTTAGCTGATTCGTTGAGCAACGATGCATTGGTGTTAAACCACAAAAGGTG

【図35】

- eglytyrglyalalysaspvalargCyshisalaarglysalavalthihisileasn Gettategegcaaaagacstccettgccategcagaaaggccetaacccacatcaac GCaataccccettttctgcaggcaacggtacggtctttccggcattgggtgtagttg

- valPheProAspLeuGlyValArgValCysGluLysMetAlaLeuTyrAspValValThr STGTTCCCGGATCTGGGCGTGGGGGTGTGGGAAAGATGGCTTTGTACGACGTGGTTACA CACAAGGGGCTAGACCCGCACGCGCACACGCTTTTCTACCGAAACATGCTGCACCAATGT

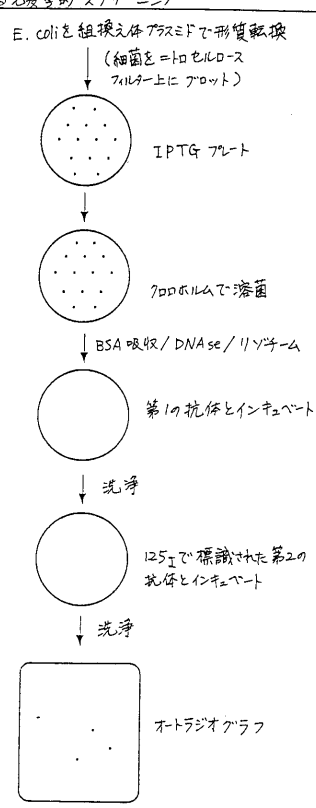
- irargCysPheaspSerThrValThrGluSerAspIleArgThrGluGluAlaIleTyr CCGCTGCTTTGACTCCACAGTCACTGAGAGCGACATCCGTACGGAGGAGGCAATCTAC GGCGACGAAACTGAGGTGTCAGTGACTCTCGCTGTAGGCATGCCTCCCGTTAGATG

【図36】

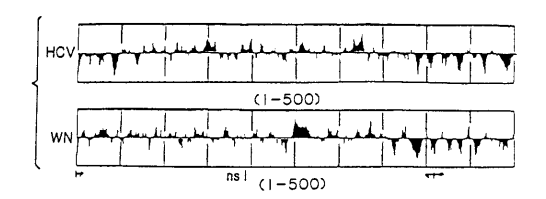
- IlTyrTyrleuThrArgAspProThrThrFroleumiam; ymlaniai policiae CCTACTACCTCACCCGTGACCCTACAACCCCCCTGGGAAGGTGGGGAGAACAGCA GATGATGGAGTGGGCACTGGGATGTTGGGGGGAGCGCTCTCGACGCACCCTCTGTCGT
- ArgHisThrProValAsnSerTrpLeuGlyAsnIleIleMetPheAlaProThrLeu AGACACACTCCAGTCAATTCCTGGCTAGGCAACATAATCATGTTTGCCCCCACACTT TCTGTGTGAGGTCAGTTAAGGACCGATCCGTTGTATTAGTACAAACGGGGGTGTGAC
- rgMetIleLeuMetThrHisPhePheSerValLeuIleAlaArgAspGlnLeuGlu
- GlnAlaLeuAspCysGluIleTyrGlyAlaCysTyrSerIleGluProLeuAspLeuPro CAGGCCCTCGATTGGGAGATCTACGGGGCCTGCTACTCCATAGAACCACTTGATCTACCT GTCCGGGAGCTAACGCTCTAGATGCCCCGGACGATGAGGTATCTTGGTGAACTAGATGGA
- Glulleasnargvalalaalacysleuarglysleuglyvalproproleuargalatrp GAAATTAATAGGGTGGCCGCATGCCTCAGAAAACTTGGGGTACCGCCCTTGCGAGCTTGG CTTTAATTATCCCACCGGGGTACGGAGTCTTTTGAACCCCATGGCGGGAACGCTCGAACC
- CysGlyLystyrLeuPheAsntrpAlaValArgThrLysLeuLys TGTGGCAAGTACCTCTTCAACTGGGCAGTAAGAACAAAGCTCAAAC ACACCGTTCATGGAGAAGTTGACCCGTCATTCTTGTTTCGAGTTTG

【図37】

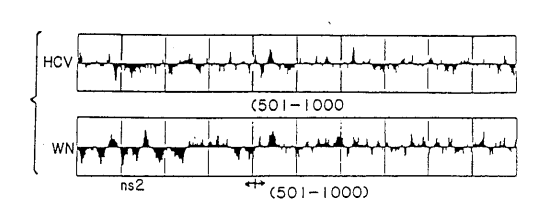
細菌における免疫学的 スクリーニング



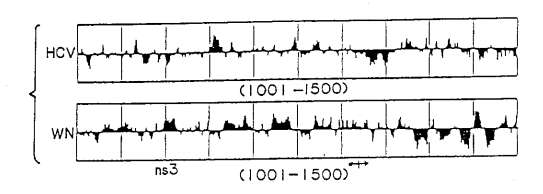
【図38】



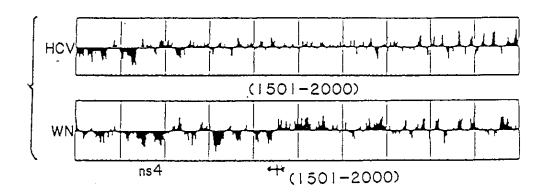
【図39】



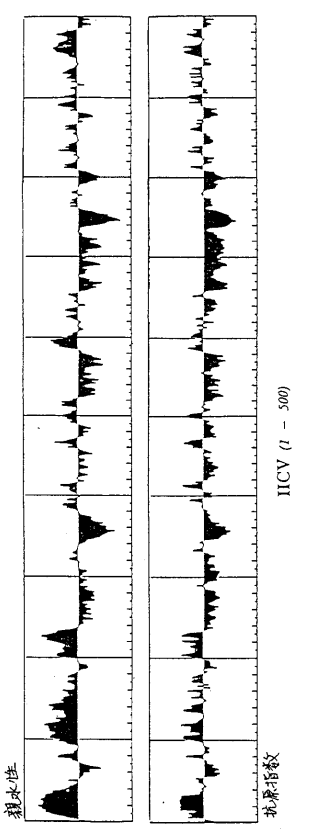
【図40】



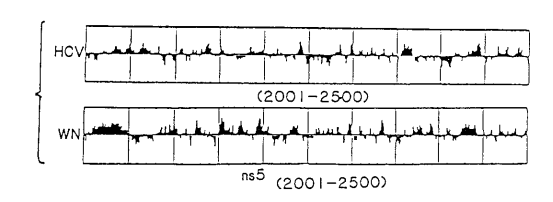
【図41】



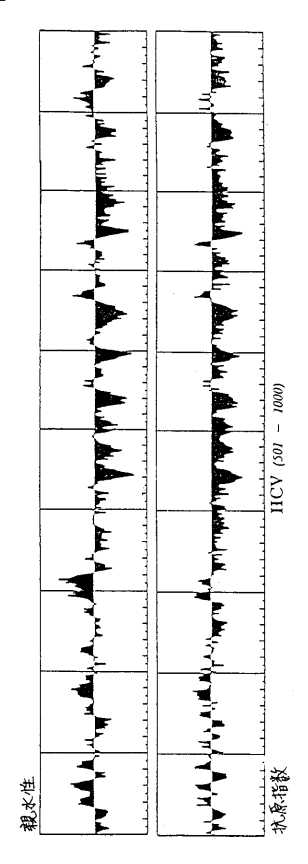
【図43】



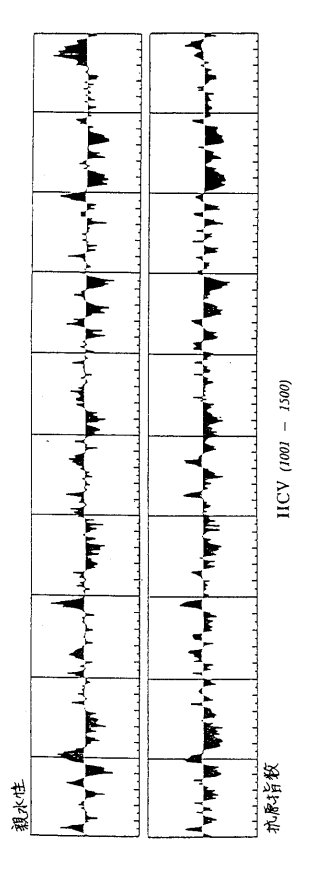
【図42】



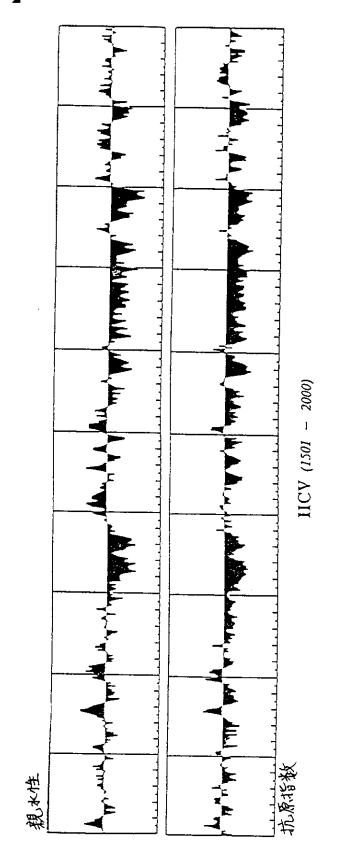
【図44】



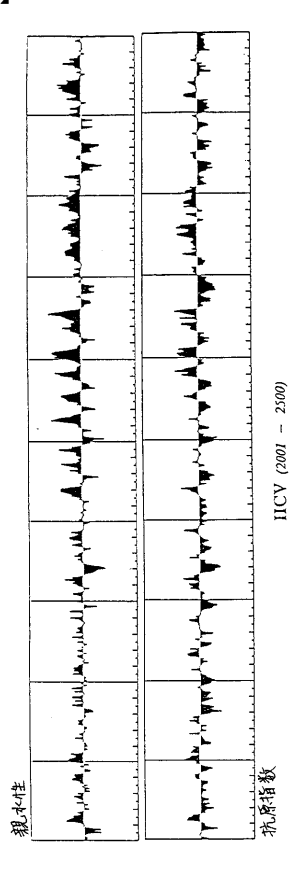
【図45】



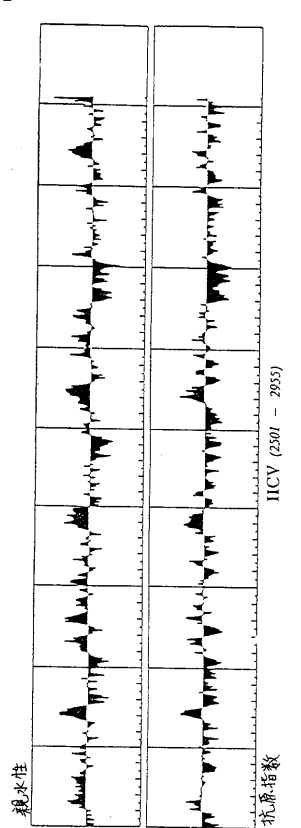
【図46】



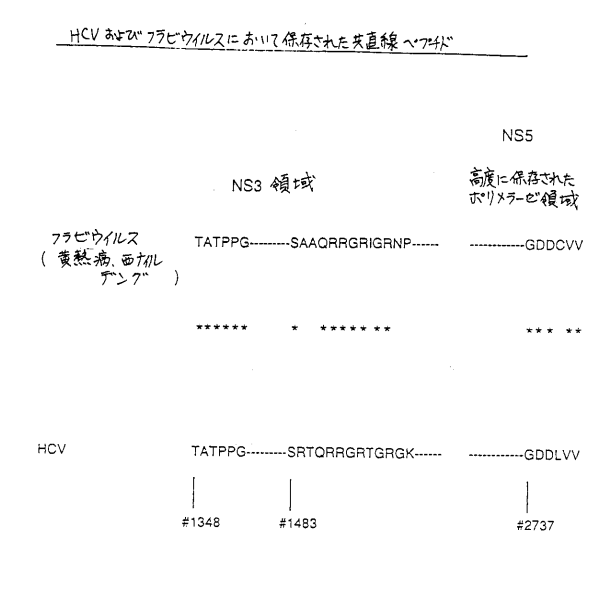
【図47】



【図48】



【図49】



フロントページの続き

(51) Int .CI .			FΙ			テーマコード(参考)
A 6 1 P	31/14	(2006.01)	A 6 1 P	31/14		
G 0 1 N	33/576	(2006.01)	G 0 1 N	33/576	Z	
G 0 1 N	33/50	(2006.01)	G 0 1 N	33/50	Z	
G 0 1 N	33/15	(2006.01)	G 0 1 N	33/15	Z	

(72)発明者 クイ・リム チョー

アメリカ合衆国 カリフォルニア 94530 エル セリット,フェーン ストリート 570 0

(72)発明者 ジョージ クオ

アメリカ合衆国 カリフォルニア 94122 サンフランシスコ,シックスス アベニュー 1370

F ターム(参考) 2G045 AA25 CB21 FB03

4B024 AA01 BA41 BA61 CA04 CA09 CA11 CA20 DA06 DA12 EA04 GA11 HA01 C085 AA03 AA04 BA92 BB11 CC08 CC21 DD62 EE01 EE03 FF02 FF13 FF19 GG03 GG04

4H045 AA10 AA11 AA20 AA30 BA10 CA02 DA75 EA20 FA74



专利名称(译)	NANBV的诊断剂和疫苗			
公开(公告)号	<u>JP2006169233A</u>	公开(公告)日	2006-06-29	
申请号	JP2005325485	申请日	2005-11-09	
[标]申请(专利权)人(译)	希龙公司			
申请(专利权)人(译)	Chiron公司			
[标]发明人	マイケルホートン クイリムチョー ジョージクオ			
发明人	マイケル ホートン クイ-リム チョー ジョージ クオ			
IPC分类号	/15 A61K31/70 A61K39/395 A61K4 C07K14/02 C07K14/10 C07K14/18	48/00 A61P31/12 C07H21/04 C 3 C07K16/00 C07K16/08 C07K 1 C12P21/02 C12P21/08 C12Q	1/14 G01N33/576 G01N33/50 G01N33 c07K7/06 C07K7/08 C07K14/00 19/00 C12N1/19 C12N5/10 C12N7/00 11/68 C12Q1/70 C12R1/865 C12R1	
CPC分类号	A61K39/00 A61P1/16 C07K14/005 /6853 C12Q1/6858 C12Q1/701 C1		07K2319/40 C12N2770/24222 C12Q1	
FI分类号	C07K16/10.ZNA C12N15/00.A A61K39/00.H A61K39/29 A61P1/16 A61P31/14 G01N33/576.Z G01N33 /50.Z G01N33/15.Z C12N15/09.P C12N15/09.Z C12Q1/6853.C C12Q1/6853.Z C12Q1/6858.C C12Q1 /6858.Z			
F-TERM分类号	2G045/AA25 2G045/CB21 2G045/FB03 4B024/AA01 4B024/BA41 4B024/BA61 4B024/CA04 4B024 /CA09 4B024/CA11 4B024/CA20 4B024/DA06 4B024/DA12 4B024/EA04 4B024/GA11 4B024/HA01 4C085/AA03 4C085/AA04 4C085/BA92 4C085/BB11 4C085/CC08 4C085/CC21 4C085/DD62 4C085 /EE01 4C085/EE03 4C085/FF02 4C085/FF13 4C085/FF19 4C085/GG03 4C085/GG04 4H045/AA10 4H045/AA11 4H045/AA20 4H045/AA30 4H045/BA10 4H045/CA02 4H045/DA75 4H045/EA20 4H045 /FA74			
代理人(译)	夏木森下			
优先权	07/325338 1989-03-17 US 07/341334 1989-04-20 US 07/355002 1989-05-18 US			
外部链接	Espacenet			

摘要(译)

要解决的问题:提供用于治疗非A非B非乙型肝炎病毒(NANBV)传播的流行病的材料和方法。 抗丙型肝炎病毒(HCV)抗体,可与多肽中的一个位点免疫结合,该位点由至少8个氨基酸的连续序列组成,其中该位点针对HCV。 可以与抗体结合的抗体,其中所述至少8个氨基酸的连续序列是从在氨基酸序列中具有一个或几个缺失,插入或取代的氨基酸序列获得的。 [选择图]无

(P2006-169 (43) 公開日 平成18年6月29日(2006.

(51) Int. Cl.			FI		テーマコード((参考)
C07K 1	16/10	(2006, 01)	CO7K 16/10	ZNA	2G045	
C12N 1	15/09	(2006.01)	C12N 15/00	A	4BO24	
A61K 3	39/00	(2006.01)	A 6 1 K 39/00	н	4C085	
A61K 3	39/29	(2006.01)	A 6 1 K 39/29		4HO45	
A61P	1/16	(2006.01)	A 6 1 P 1/16			
			審査請求 有 部	# おままま おまままま おままま おままま おままま おままま おまままま おまままま おまままま おまままま おまままま おまままま おまままま おままままままま おままままままま おまままままままま	レ (全 73 頁) 昴	終頁

	一	水 有 메小	貝の数 1 〇L (主 13 貝) 教育員
(21) 出願番号 (22) 出願日 (62) 分割の表示 原出願日 (31) 優先權主張番号 (32) 優先日	特願2005-325485 (P2005-325485) 平成17年11月9日 (2005.11.9) 特額平10-93767の分割 平成2年3月15日 (1990.3.15) 325,388 平成1年3月17日 (1989.3.17)	(71) 出願人	カイロン コーポレイション アメリカ合衆国、カリフォルニア 9 08、エミリービル、ホートン スト ト 4560
(33) 優先權主張国 (31) 優先權主張番号 (32) 優先日 (33) 優先權主張国 (31) 優先權主張番号 (32) 優先日 (33) 優先權主張国	米国 (US) 341,334 平成1年4月20日 (1989.4.20) 米国 (US) 355,002 平成1年5月18日 (1989.5.18) 米国 (US)	(74)代理人	弁理士 山本 秀策 100052409 弁理士 安村 高明 100113413 弁理士 森下 夏樹 マイケル ホートン アメリカ台衆国 カリフォルニア 9
			26 ダンビル, ローズミード コー 53